

Le Laser à électrons libres (LEL) : une aventure au fil de ses développements Prix Charpak-Ritz

M. E. Couprie,

Synchrotron SOLEIL



Avec J. M. J. Madey,
l'inventeur du LEL, Suède,
2015, Nobel Symposium

Remerciements :

Société Française de Physique et Société Suisse
de Physique

J. Daillant, J. M. Filhol, A. Nadji, A. Taleb-Ibrahimi, P.
Morin, M. Van der Rest, D. Raoux

Équipes « GMI » et « COXINEL / LUNEX5 »

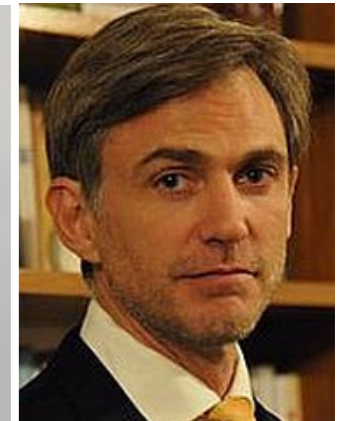
Mes anciens collaborateurs

Ma vie scientifique centrée sur les sources de lumière sur accélérateur:

- Les sources de rayonnement synchrotron sur anneau de stockage (actuellement à SOLEIL)
 - Des développements technologiques (mirrors, onduleurs- collaboration PSI -, aimants ...)
- Laser à Électrons libres (Free Electron lasers)



Thomas Schmidt,
DELTA/PSI



Marco Calvi, PSI

Free Electron Laser (FEL):

«simple and elegant gain medium»: an electron beam in a magnetic field

- broad wavelength tunability (vibration frequency can be adjusted by changing the magnetic field or the speed of the electrons), free electrons \neq bound electrons in atoms and molecules : vibrate at specific frequencies
- excellent optical beam quality
- high power

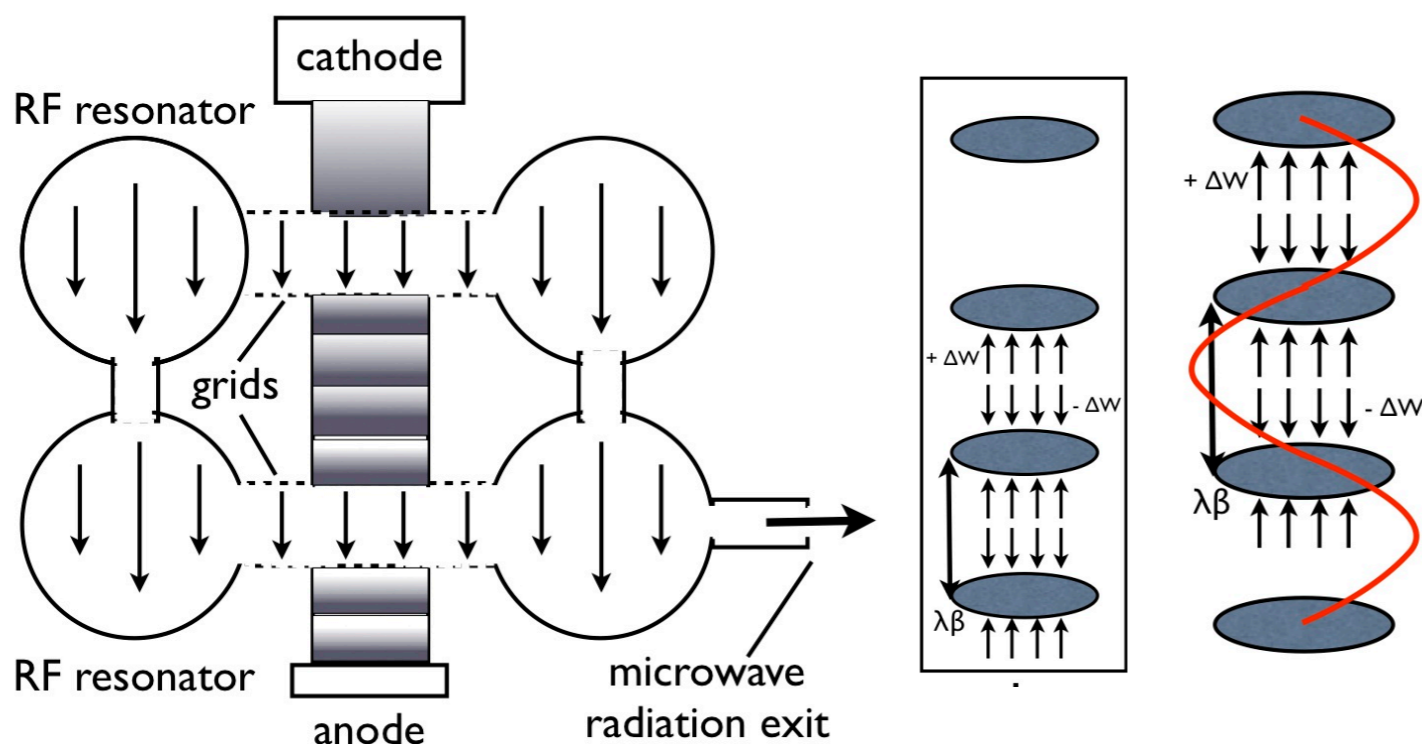
C. Brau, Free Electron Lasers, Advanced in electronics and electron physics, edited by P.W. Hawkes, B. Kazan, supplement 22, Academic press (1990)

Les origines du LEL: le développement des tubes à vide

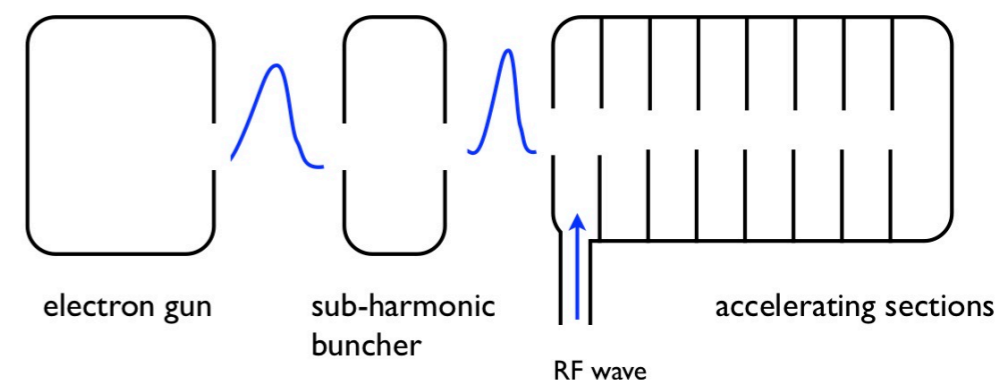
Klystrons, magnétrons, accélérateurs, voire le début de l' électronique
 Découverts à la fin des années 1930, largement développés après la seconde guerre mondiale.
 Applications : radiodiffusion, détection radar detection, nécessitant des oscillateurs haute fréquence.

Ces sources utilisent en général un faisceau d'électrons soumis à un champ électrique ou magnétique, avec le "bunching" concept clef pour l'amplification de l'onde.

Emploi de cavités résonnantes à la fréquence de l'onde émise => rétroaction efficace pour la production de needed de l'onde cohérente => amplification.
 Boucle sur un amplificateur large bande => oscillateur avec production de rayonnement monochromatique.



K. Landecker, *hys. Rev.* 36 (6) (1952) 852-855J.
 Schneider, *Phys. Rev. Lett.* 2(12) (1959) 504-505
 R. H. Pantell, G. Soncini, H. E. Puthoff, 4 (11) 906-908 (1968)
 R. B. Palmer, *Appl. Phys.* 43(7)(1972)3014-3023
 K.W. Robinson , *Nucl. Instr. Meth.*A239 (1985), Csonka (1976)



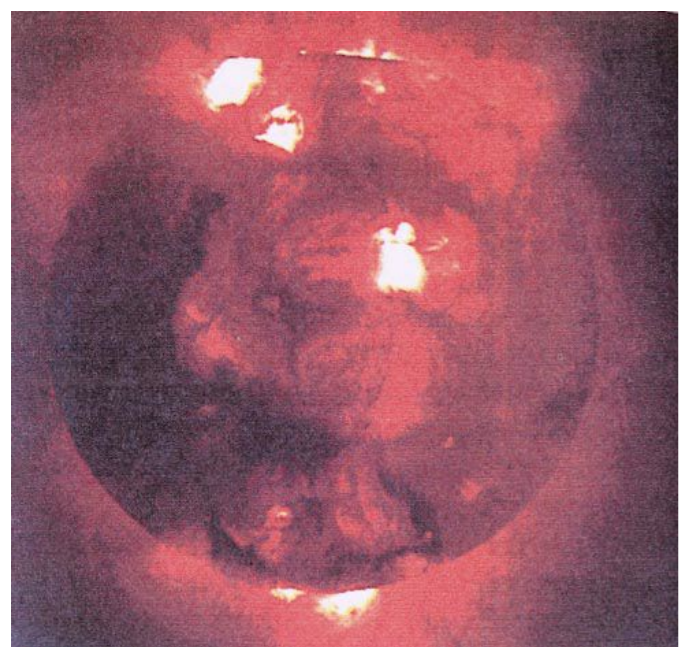
R. H. Varian, S. F. Varian *J. Appl. Phys.* 10(5), 321-327 (1939)

Les origines du LEL: le Rayonnement Synchrotron

Rayonnement électromagnétique produit par des particules chargées et accélérées

Naturellement (astrophysique)

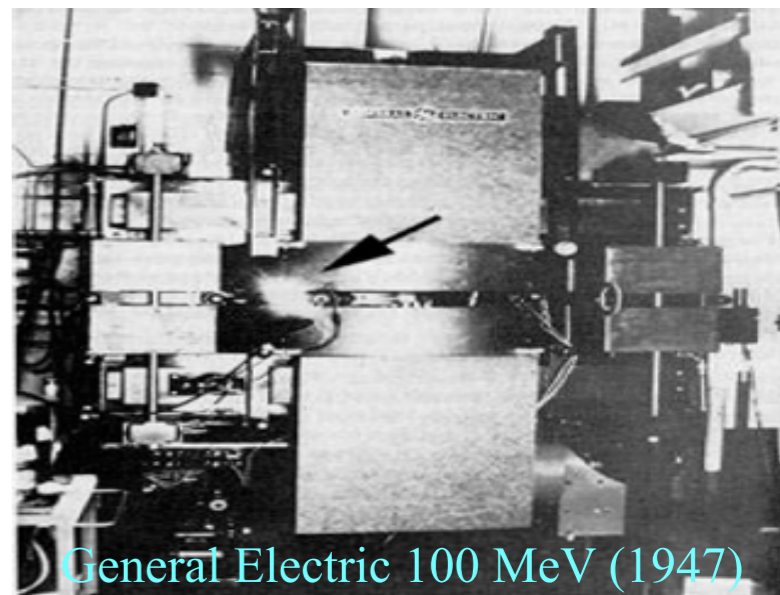
Artificiellement (accélérateurs de particules)



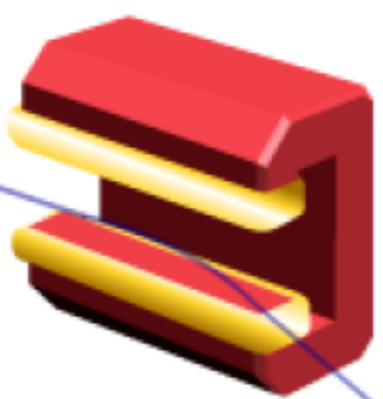
Le soleil :
Hydrogène, boucles de champ magnétique émettant du rayonnement synchrotron visible (centre) X (bords)

1947 : première observation

F. R. Elder et al., *Physical Review*, 71, 11, (1947), 829-830
J. P. Blewett, *50 years of synchrotron radiation*, *J. Synchrotron Rad.*, 5, 135-139 (1998)



General Electric 100 MeV (1947)



Aimant de courbure

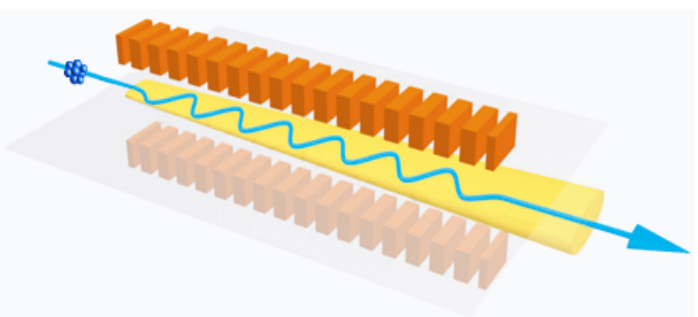
Collimaté

$$\frac{1}{\gamma} \quad \gamma = \frac{E}{m_0 c^2}$$

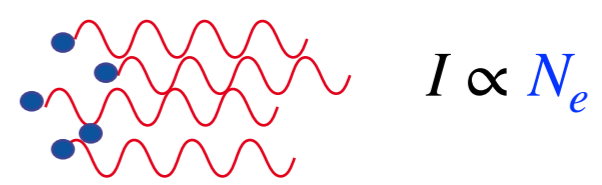
Facteur de Lorentz

Onduleur:
Champ magnétique périodique permanent

V.L. Ginzburg, *Bull. Acad. Sci. USSR*. 11 (1947) 165–182.
Motz H. *Journ. Appl. Phys.* 22, 527–535 (1951)
Motz H. Et al., *Journ. Appl. Phys.* 24, 826–833 (1953)
Combes R., Frelot T., presented by L. de Broglie, *CRH. Scéance Acad. Sci. Paris*, 241, 1559 (1955)



e bunch of N_e electrons

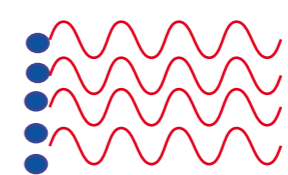


$$I \propto N_e$$

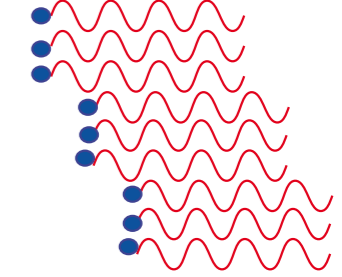
Coherent Synchrotron Radiation

$$I \propto N_e^2$$

Short bunch

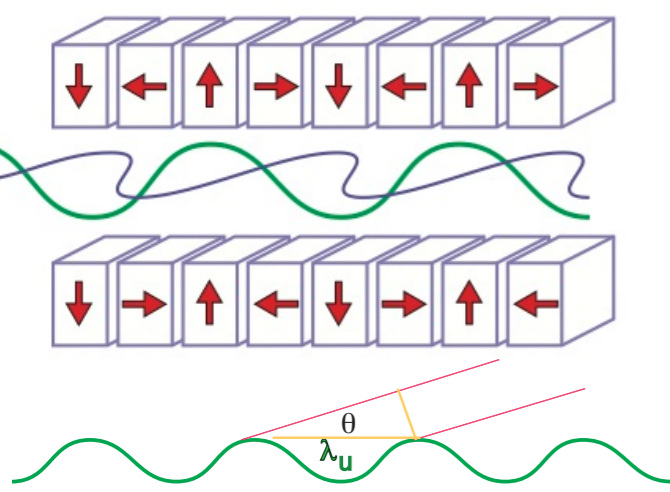


Bunched beam



Les origines du LEL: propriétés du rayonnement synchrotron

Onduleur plan (champ crête B_u , nombre d'onde k_u , période λ_u , nombre de période N_u)

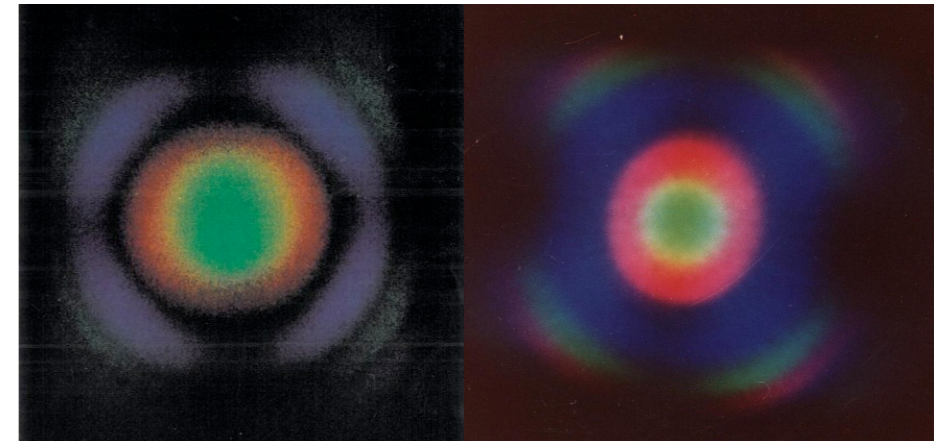


$$\lambda_n = \frac{\lambda_u}{2\gamma^2 n} \left(1 + \frac{K_u^2}{2} + \gamma^2 \theta^2 \right)$$

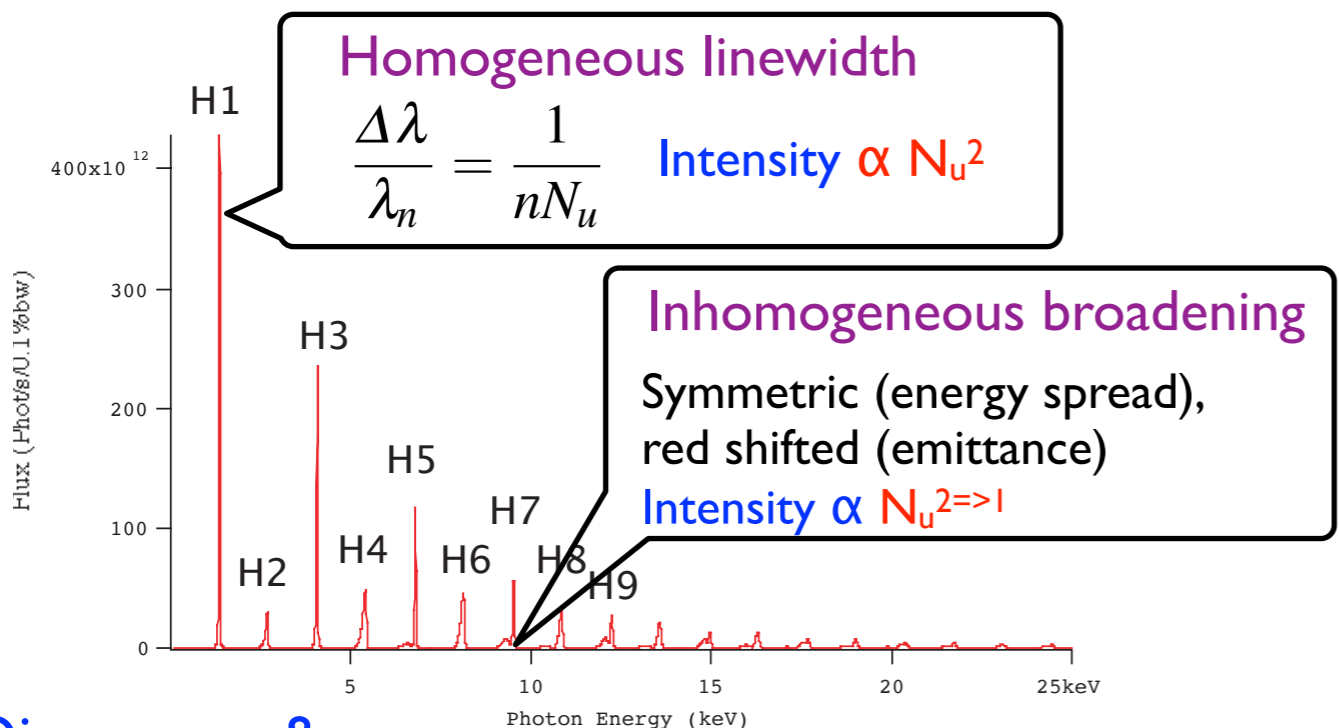
$$K_u = \frac{eB_u \lambda_u}{2\pi m_0 c^2} \quad \text{Deflection parameter}$$

$$K_u = 0.934 B_u (T) \lambda_u (cm)$$

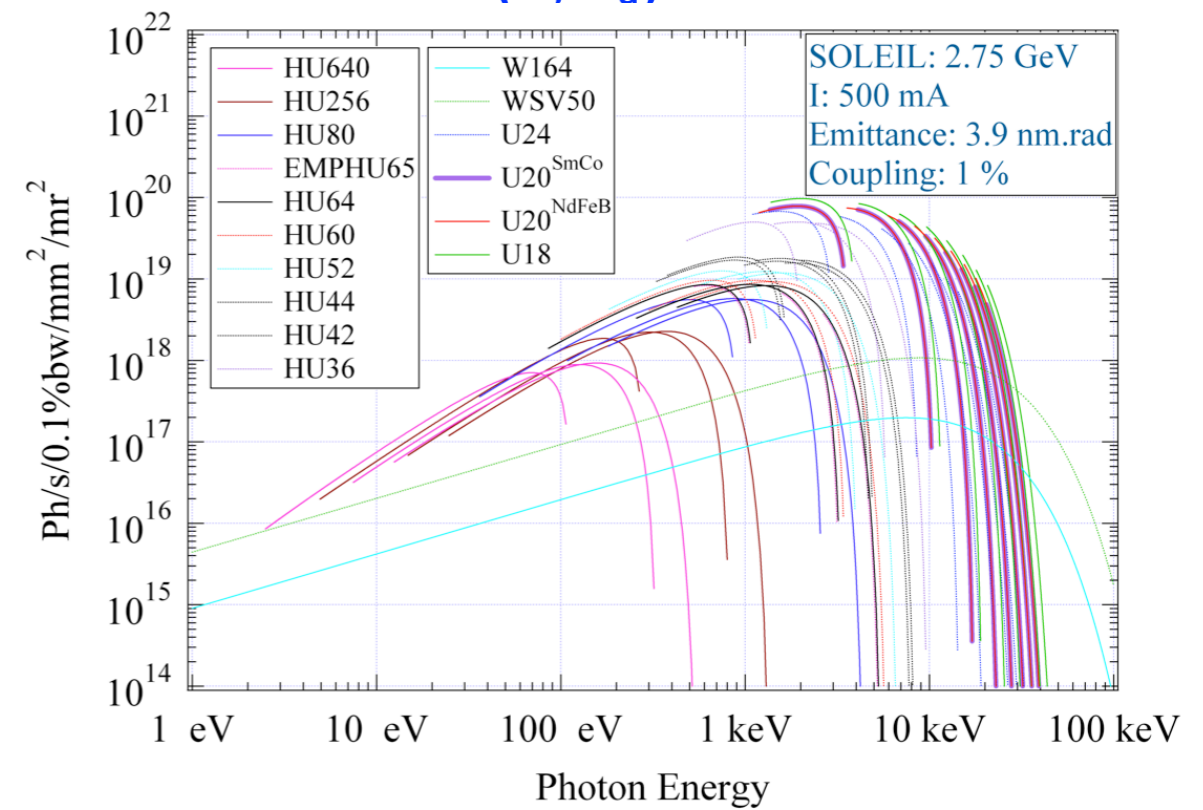
n harmonic number



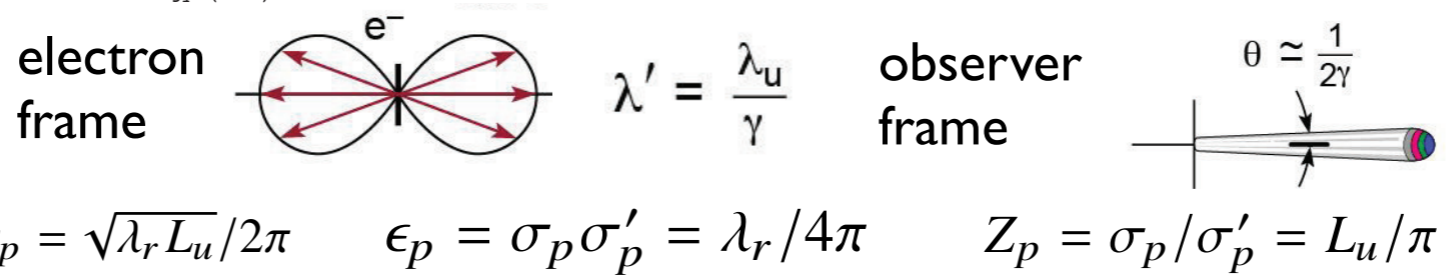
Spectre de raies



Tunable (E, B_u)

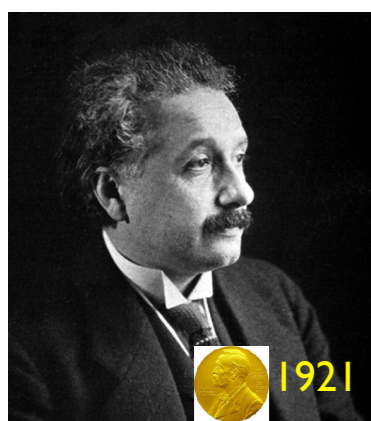


Divergence & taille faibles



$$\lambda = \lambda' \gamma (1 - \beta \cos \theta) = \lambda_u (1 - \beta \cos \theta)$$

Les origines du LEL: l'invention du laser au XX^{ème} siècle

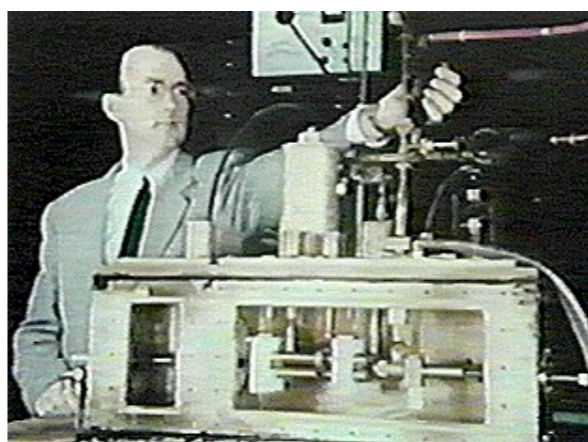


1917: analyse du corps noir, prédiction de l'émission stimulée

A. Einstein (1879-1955)

A. Einstein, *Physikalische Zeitschrift* 18 (1917)

1954 : first MASER in the micro-waves (NH₃ molecule).



Columbia University

Source micro-onde «quantique» (C.Townes, N. G. Basov, A. M. Prokhorov): Molécule excitée placée à la place du faisceau d' e dans une cavité micro-onde résonante à la fréquence de transition de la molécule.

J.P. Gordon, H. J. Zeiger and C.H.Townes, *Phys. Rev.*, 95 (1954) 282.
J. P. Gordon, H. J. Zeiger and C. H. Townes, *Phys. Rev.*, 99 (1955) 1264.

1958 : Laser concept (optical maser)

« Extension of maser techniques to the infrared and optical region : For wavelengths much shorter than those of the ultraviolet region, maser-type amplification appears to be quite impractical. Single mode may be selected by making only the end walls highly reflecting, and defining a suitably small angular aperture. => extremely monochromatic and coherent light. »

A. L. Schawlow C. H. Townes, *Infra-red and optical masers*, *Phys. Rev. Lett.* 1940-1948 (1958)
Patent, *Optical Masers and Communication*, by Bell Labs.



Charles Townes (1905-2015)

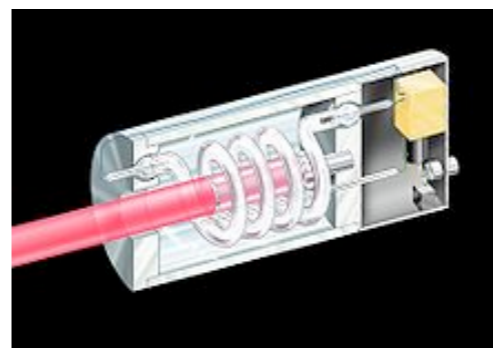


Arthur Leonard Schawlow (1905-1999)

1960 : First Ruby laser (Ion CR3+ in ruby)

Hughes Research Laboratories

T.H. Maiman, *Nature*, 187 *Nature* 187, 493-494 (1960)
T. H. Maiman, Hoskins, D'Haenens, Asawa and Evtuhov, *Phys. Rev.*, 123 (1961) 1151.



Theodore Harold Maiman (1927-2007)



L'émergence du concept de LEL

«As one attempts to **extend maser operation towards very short wavelengths**, a number of new aspects and problems arise, which require a quantitative reorientation of theoretical discussions and considerable modification of the experimental techniques used.»

«These figures show that maser systems can be expected to operate successfully in the infrared, optical, and perhaps in the ultraviolet regions, but that, **unless some radically new approach is found, they cannot be pushed to wavelengths much shorter than those in the ultraviolet region.**»

A. L. Schawlow and C. Townes, Infra-red and Optical masers», Phys. Rev. 112 1940 (1958)

«Schawlow and Townes' descriptions of masers and lasers coupled with the new understanding of the Gaussian eigenmodes of free space offered a new approach to high frequency operation that was not constrained by the established limits to the capabilities of electron tubes»

Was there a Free Electron Radiation Mechanism that Could Fulfill these Conditions?

J. M. J. Madey, Nobel Symposium, Sigtuna, Sweden, June 2015

J. M. J. Madey, Wilson Prize article: From vacuum tubes to lasers and back again, Phys. Rev. ST Accel. Beams 17, 074901 (2014)

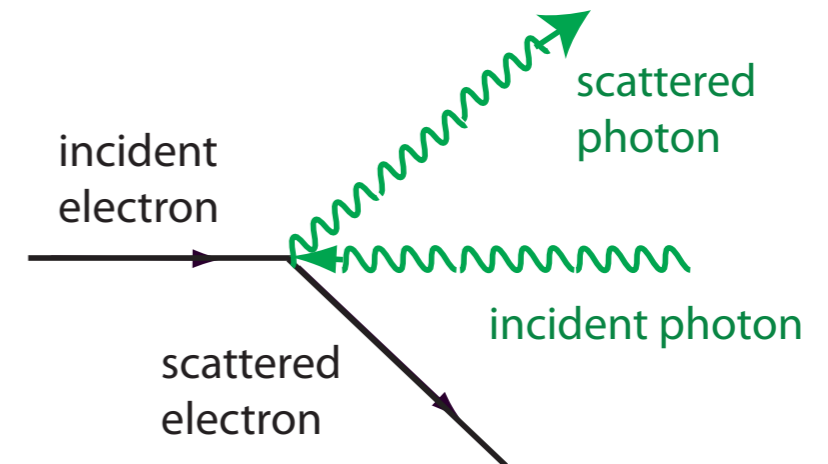


J. M. J. Madey (1943-2016)

Emploi de faisceaux d'électrons relativistes:

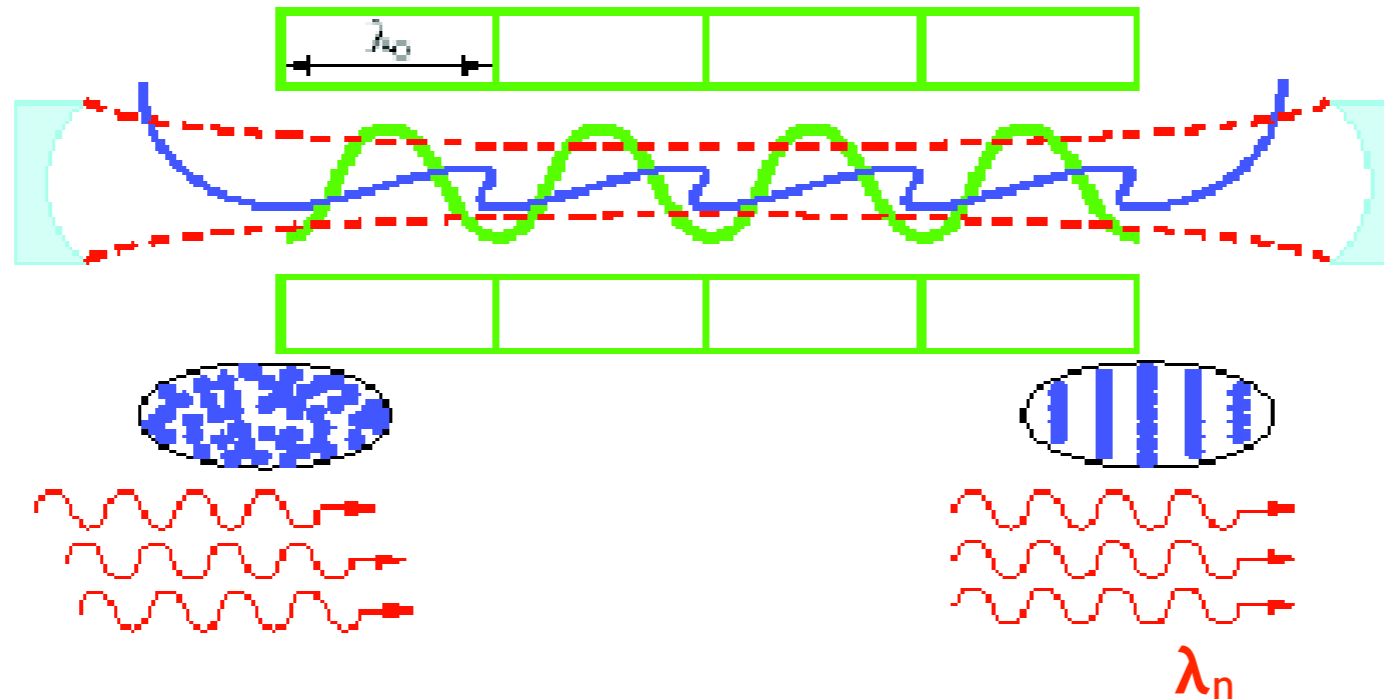
- Compton Scattering
- Champ périodique intense : Onduleur => accordabilité
- Fort courant crête => source de faisceau d'électrons

=> **Concept du LEL**



J. M. J. Madey, Stimulated emission of Bremmstrahlung in a periodic magnetic field; J. Appl. Phys., 42, 1906–1913 (1971)

L' émergence du concept de LEL oscillateur



- interaction faisceau d'électrons-onde optique
- échange d'énergie entre l'onde optique et les électrons
- microbunching (separation par λ)
- émission cohérente and amplification de l'onde optique
- saturation (augmentation de dispersion en énergie, condition de résonance non satisfaite)

$$\lambda_n = \frac{\lambda_u}{2\gamma^2 n} \left(1 + \frac{K_u^2}{2} \right)$$

$$\text{Gain} \propto \frac{\rho_e L_{und}^3}{\gamma^3}$$

Courte longueur d'onde=> grande E=> haute qualité d'électrons
Début des LELs dans le domaine infra-rouge

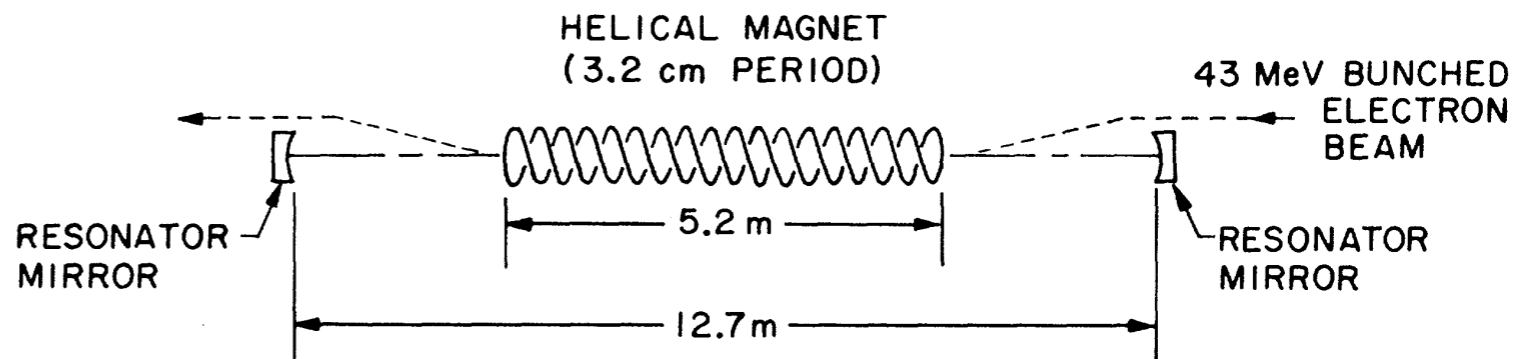
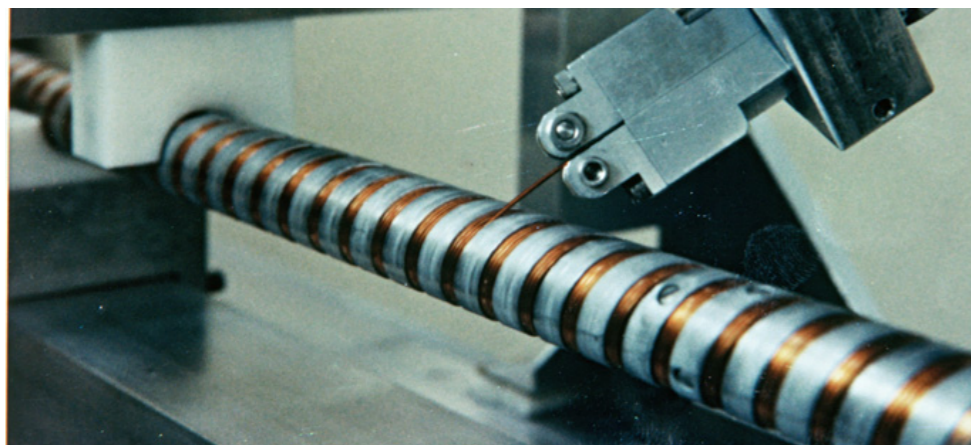
J. M. J. Madey, *Stimulated emission of Bremsstrahlung in a periodic magnetic field*; J. Appl. Phys., 42, 1906–1913 (1971)

La première démonstration de FEL

Linac supra, Stanford, infra-red, J. M. J. Madey

1976 : First FEL amplification

1977 : First Free Electron Laser



L. Elias et al., Observation of the stimulated emission of radiation by relativistic electrons in a spatially periodic transverse magnetic field, Phys. Rev. Lett. 36, 717-720 (1976)

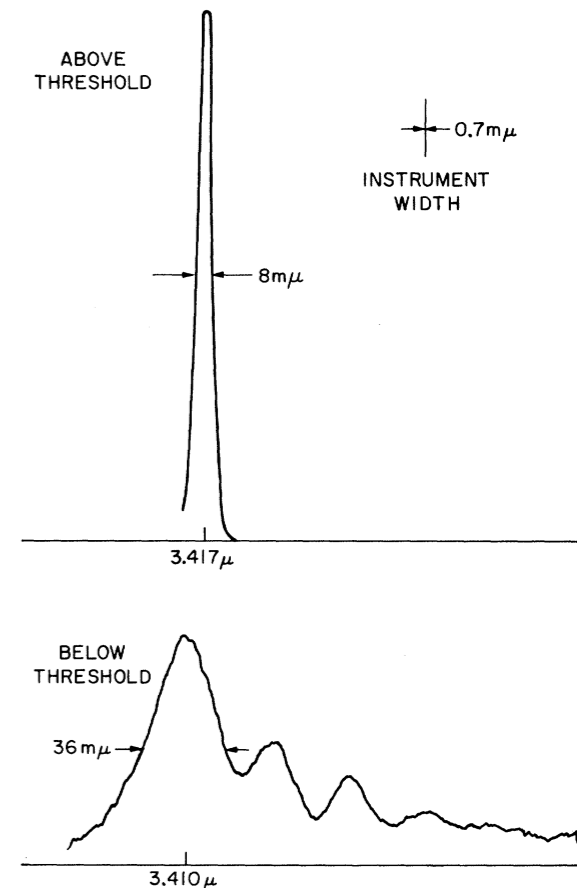
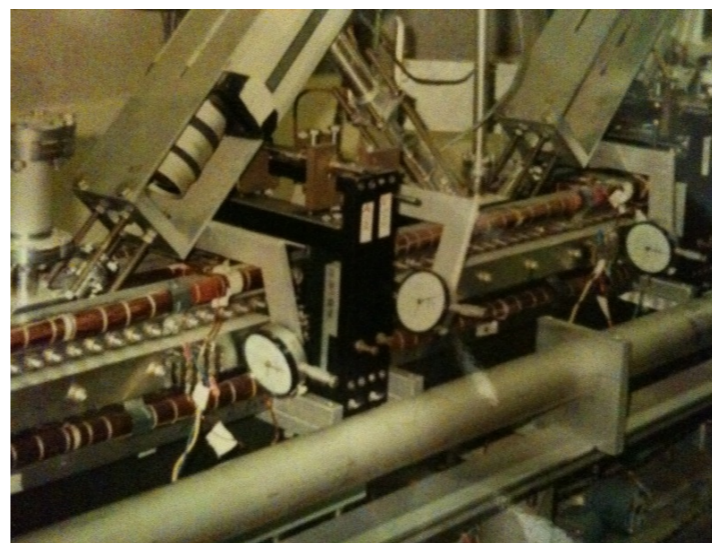
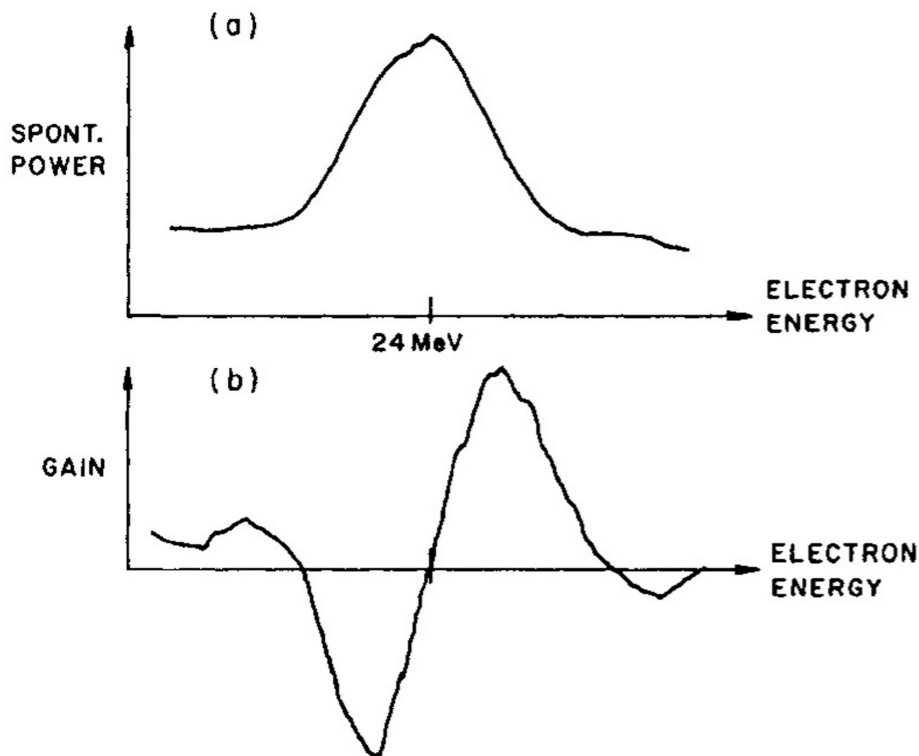


FIG. 2. Emission spectrum of the laser oscillator above threshold (top) and of the spontaneous radiation emitted by the electron beam (bottom).



D.A. G. Deacon et al, First Operation of a FEL. PRL 38, 16, 1977, 892

Saturation- Hope in storage ring FELs

Use of a storage ring would be particularly attractive because the rf accelerating field for the ring would have to supply only the energy actually transformed to radiation in the periodic field. The

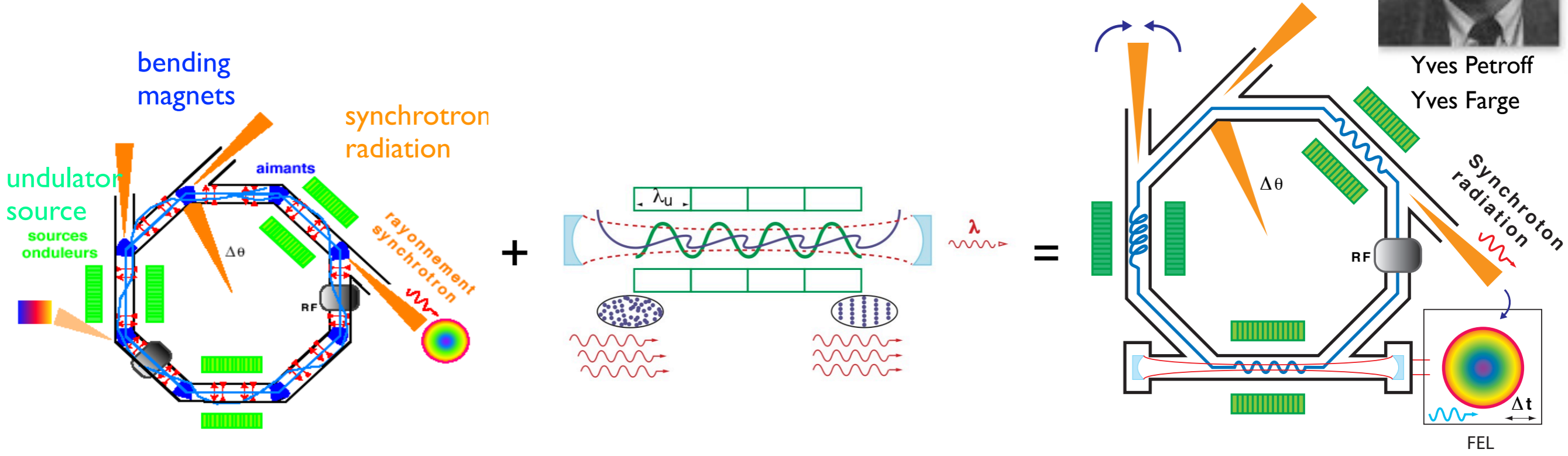
overall efficiency of such a system thus would not be limited to the fraction of the electrons' energy convertible to radiation in a single pass through the interaction region. The feasibility of the idea hinges on the form of the electrons' phase-space distribution after passage through the periodic field, a subject currently under study.

L. Elias et al., Observation of the stimulated emission of radiation by relativistic electrons in a spatially periodic transverse magnetic field, Phys. Rev. Lett. 36, 717-720 (1976)

Collaboration avec l'équipe de J. M. J. Madey (Stanford) et celle d' ACO (France pour une demo LEL à Orsay)



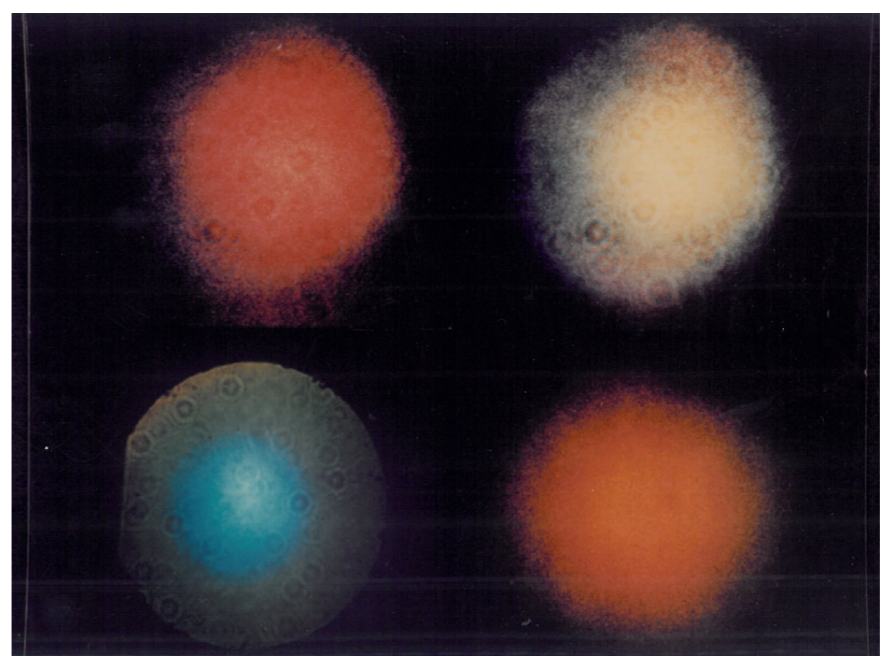
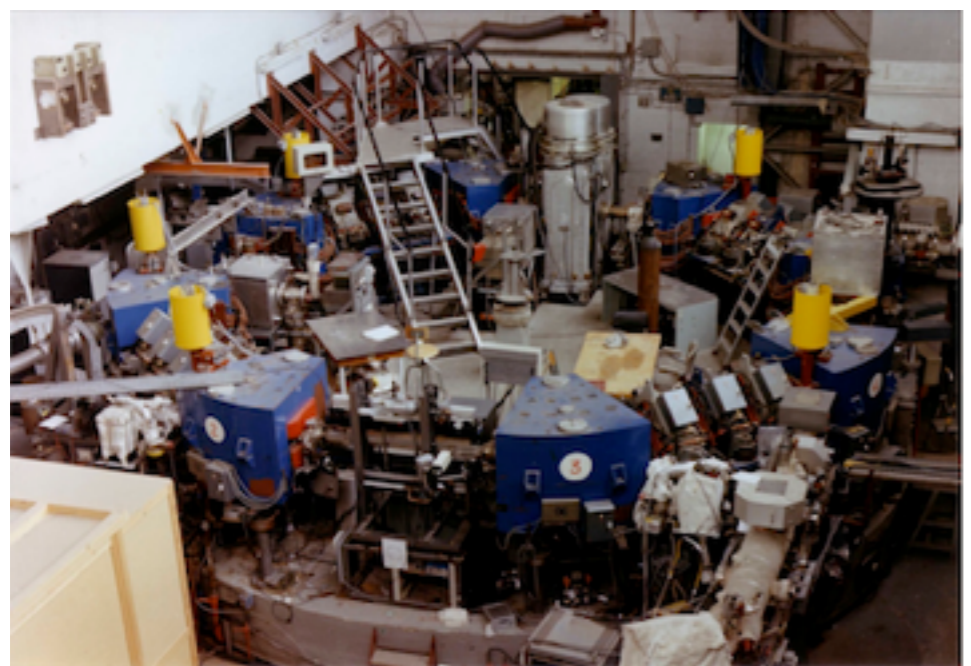
Yves Petroff
Yves Farge



Renieri, A. (1979). Storage ring operation of the free-electron laser: The amplifier. *Il Nuovo Cimento B Series 11*, 53(1), 160-178.
 Dattoli, G., & Renieri, A. (1980). Storage ring operation of the free-electron laser: the oscillator. *Il Nuovo Cimento B Series 11*, 59(1), 1-39.

Le second FEL en 1983, six ans après !

Sur l'anneau de stockage ACO (Orsay, France) dans le visible



M. Billardon et al., Phys. Rev. Lett. 51, 1652, (1983)

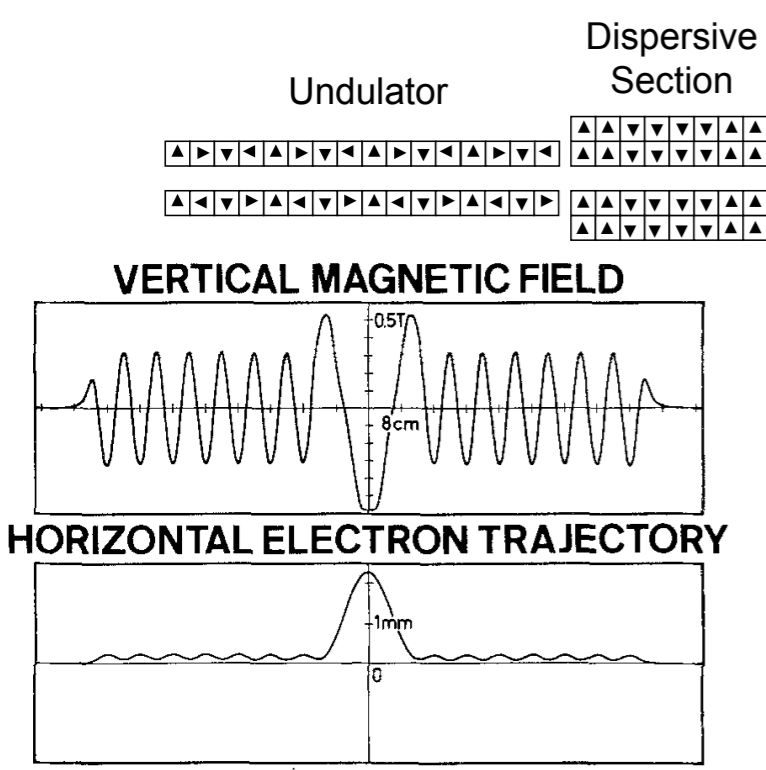


Fig. 1. Vertical magnetic field calculated for the Orsay optical klystron (gap: 33 mm) and the corresponding calculated horizontal electron trajectory at an energy of 240 MeV

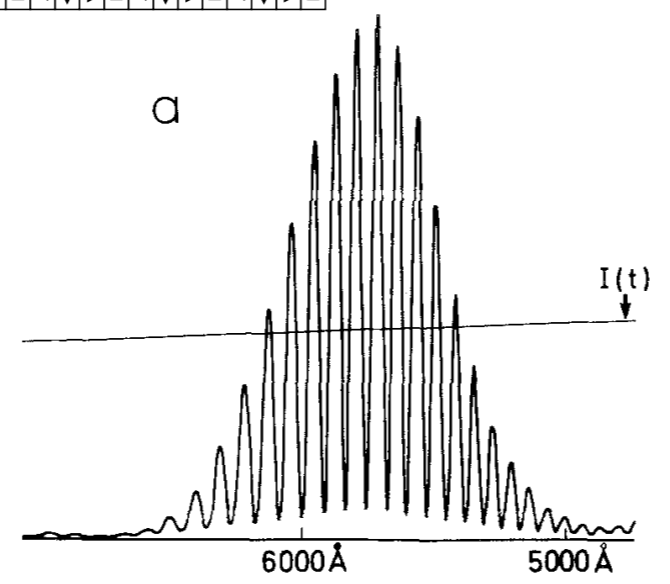


Fig. 3. Spontaneous emission spectrum $dI/d\lambda d\Omega$ measured for an electron energy of 238 MeV and a magnetic field parameter of $K=2.09$ at low current where the modulation is almost total. The current decay $I(t)$ is superimposed

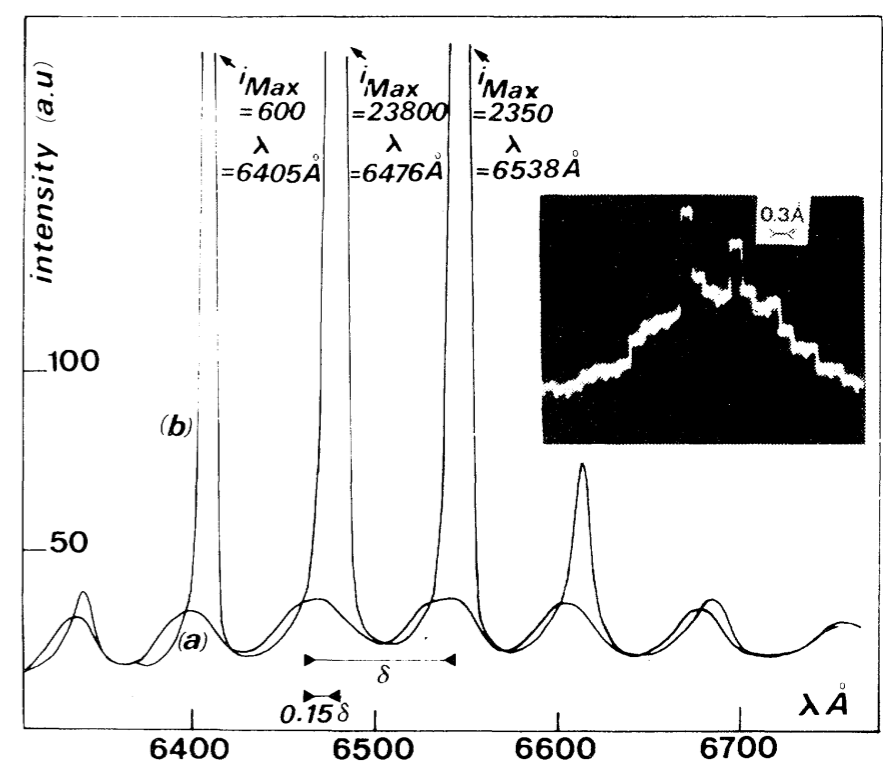
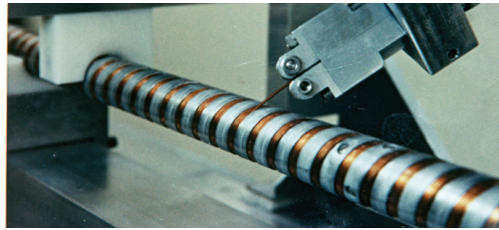
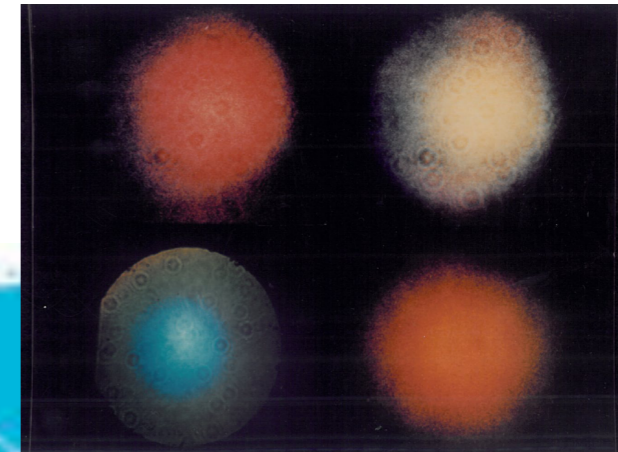


FIG. 4. Spectra of the cavity output radiation under two conditions: curve a, cavity detuned (no amplification) and curve b, cavity tuned (laser on).

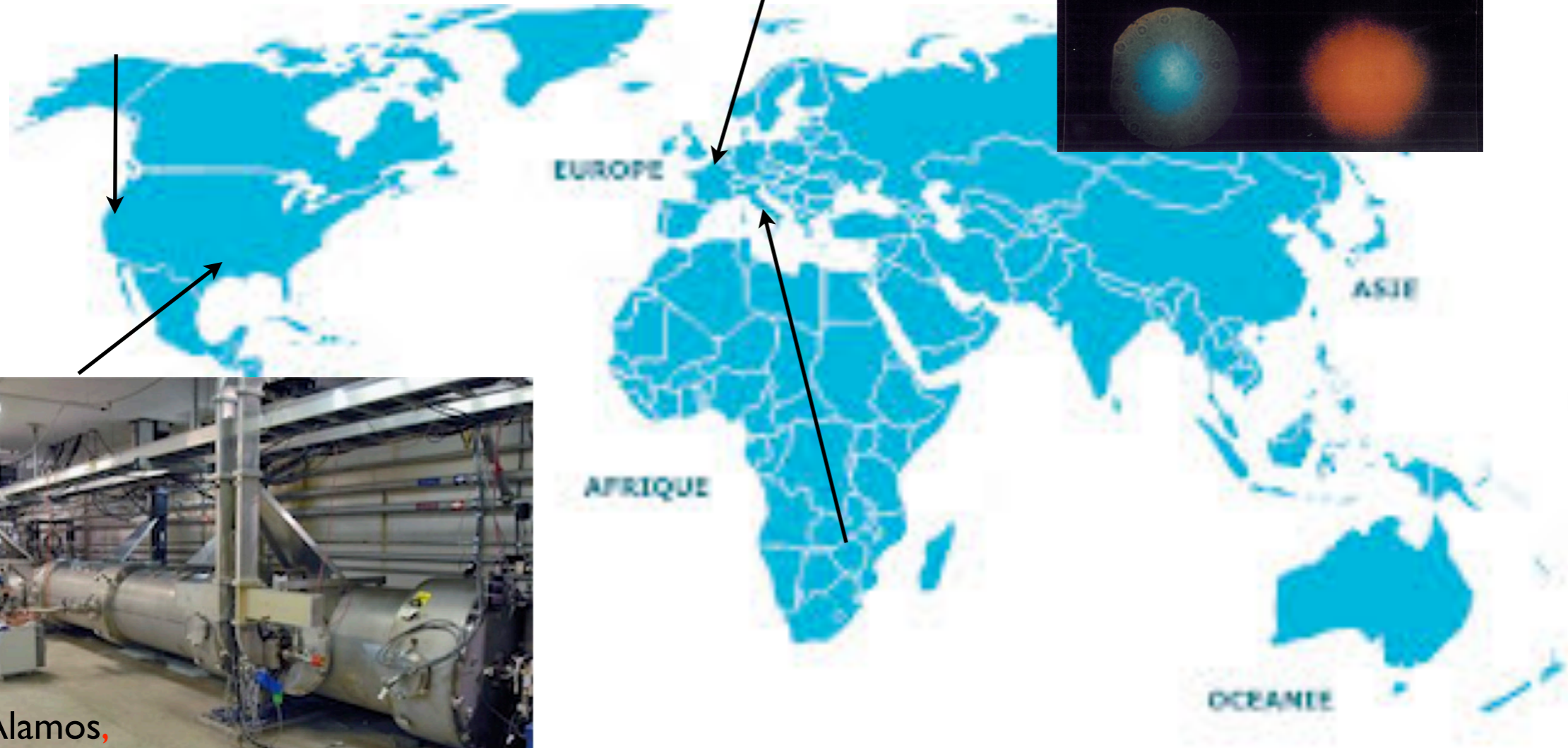
Les LEL oscillateurs suivants en 1983



Stanford,
Linear acc
IR



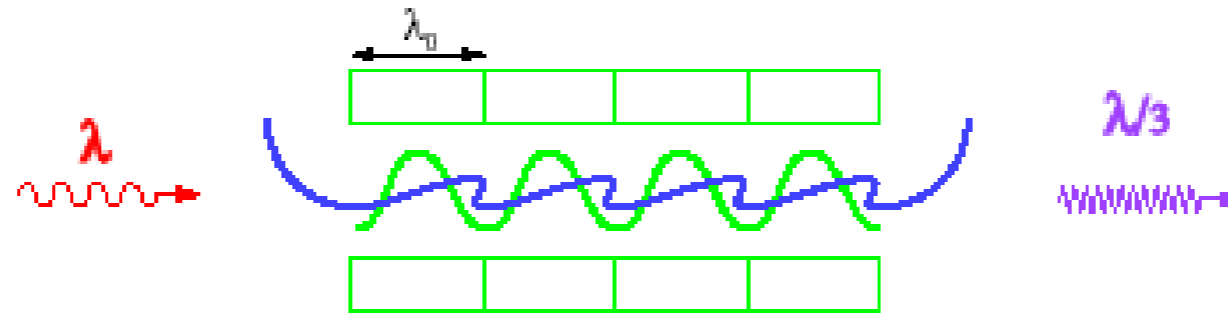
ACO, SR, vis, UV, VUV



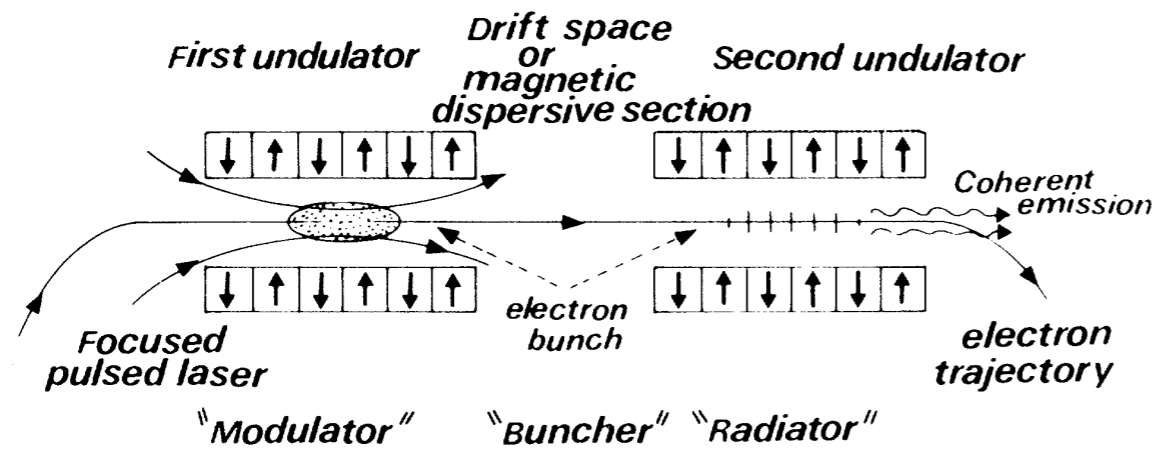
Los Alamos,
RF Linac, IR

R. Warren et al., Society for Optical and Quantum Electronics, 425, 042016 (1983)

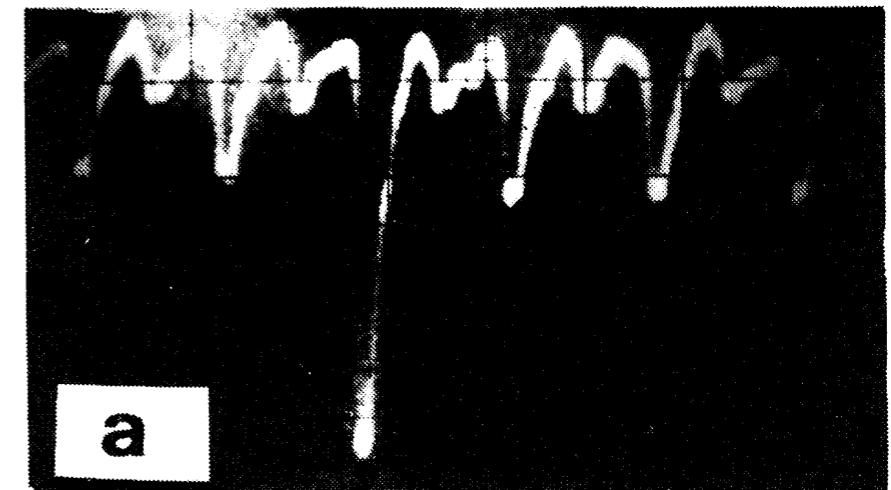
Génération d'Harmoniques Cohérentes sur ACO



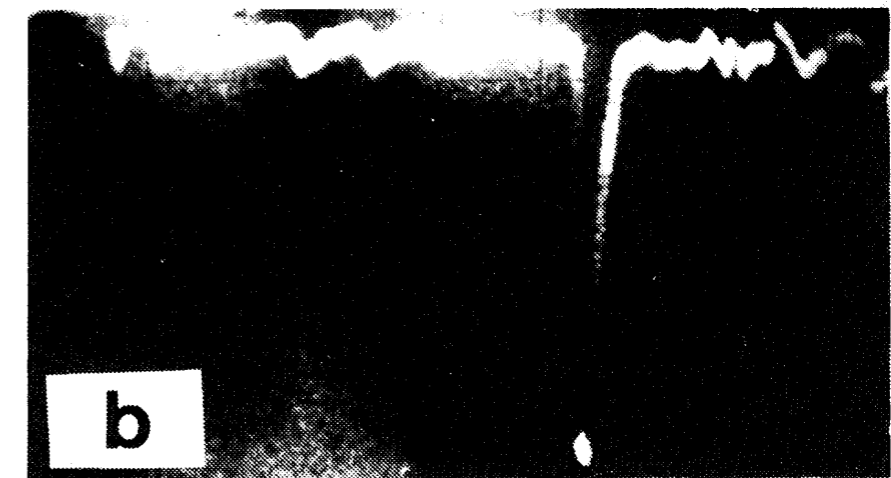
ACO (Orsay, France), 166 MeV
 Nd-Yag at 1.06 μm , 20 Hz, 15 MW, 12 ns
 => CHG at 352 nm



352 nm
 $R_3 = 3$



352 nm
 $R_3 > 100$



100 ns

B. Girard, Y. Lapierre, J. M. Ortéga, C. Bazin, M. Billardon, P. Elleaume, M. Bergher, M. Velghe, Y. Petroff, Optical frequency multiplication by an optical klystron, *Phys. Rev. Lett.* 53 (25) 2405-2408 (1984)

1985: Comment j'en suis venue au FEL...

1984-1985 M2 physique atomique et moléculaire à Paris VI, ENS



C. Cohen-Tannoudji

COHEN

Particules identiques. Seconde quantification. Étude quantique du rayonnement (absorption, émission, diffusion de photons) de la cas des particules non-relativistes

PARTICULES

A. Introduction. Dégénérescence d'échange

Les postulats sont insuffisants qd on a affaire à des particules identiques (m, masse, m, charge, m, spin) ex: les e^- de l'univers, e^- et e^+ ne sont pas identiques

difficulté: à un m état ψ correspondent plusieurs def mathématiques d'où une ambiguïté. On peut avoir des prévisions ψ différentes

En M. Classique, on numérote les particules arbitrairement. Les équations du mot sont invariantes par échange des indices; la particule en \vec{r}_0 est venue en \vec{r}_1 , et celle en \vec{r}_1 en \vec{r}_0 ; on a typé le m état ψ . On a typé des trajectoires bien définies pb en MQ; car il y a des paquets d'onde qui s'entrecroisent \rightarrow ambiguïté fondamentale

En Mécanique quantique

ex 1: $t = -\infty$ collision de 2 paquets d'onde

Deux paquets d'ondes $|10, 20\rangle$ collision

Détecteur consensus de l'impulsion des ψ (une particule B l'autre $\pi-\theta$)

ou $|10, 2(\pi-\theta)\rangle$ ou $|20, 1(\pi-\theta)\rangle$

ici, les amplitudes de collision sont différentes. On a affaire à une ambiguïté fondamentale

ex 2: deux spins $1/2$ identiques

état physique: $\left\{ \begin{array}{l} \text{un spin } \uparrow \\ \text{l'autre } \downarrow \end{array} \right.$ def mathématique $|1+, 2-\rangle$ ou $|1-, 2+\rangle$

Toute superpos linéaire de ces deux états décrit l'état physique

$|\psi\rangle = \alpha |1+, 2-\rangle + \beta |1-, 2+\rangle$ est tt aussi valable



S. Haroche

S. HAROCHE

ÉTUDE DES METHODES D'APPROXIMATION

Pourquoi des méthodes d'approximation?

$H = \frac{-\hbar^2 \nabla^2}{2m} + V$

Il n'y a que peu de cas où l'on peut résoudre directement (oscillateur harmonique...); l'atome d'hydrogène faisait déjà de l'approximation du champ central

ψ peut émettre un photon et le reabsorber. Il peut y avoir création de paires, la nb de particules n'est pas cons.

En MQ, les phénomènes physiques ne sont pas décrits par la conjonction des lois de la MQ et de la relativité. Il s'agit donc d'un hamiltonien effectif

autre ex: fot d'onde d'12 de un solide. On a éliminé les autres variables du pb à partir d'arguments ψ .

2 catégories de méthodes d'approximation

statique: recherche des états propres et les énergies propres. Spectre discret correspondant aux états liés. Spectre continu décrivant les états stationnaires de diffusion du système ($E > 0$ pour l'atome d'hydrogène)

pour le spectre discret = méthode des perturbations stationnaires

$H = H_0 + V$

dével' en puissance des perturbations cas du système ψ perturbé

mais ça ne marche pas pour un assemblé de 2 atomes, pour le mot d'12 de un solide

→ méthode des variations

Soit $|\psi\rangle$ la fot d'onde du système physique

$E(\psi) = \langle \psi | H | \psi \rangle$ fonctionnelle physique

les énergies propres sont les extrema de cette fot.

On détermine $|\psi\rangle$ de un sous espace de H. l'etat ψ est au 1^{er} ordre, E est du 2nd ordre. Utiliser méthodes des calcul (ordinateur) essentiel en ψ des solides, ψ moléculaire (approximé de Born Oppenheimer)

→ méthode B.K.W.

états propres de un puits de potentiel

les dim de puits $\gg \lambda_B$ (longueur d'onde de Braggie) ψ optique géométrique



Pascal Elleaume (1956-2011)

Eduquée en mécanique quantique et en lasers, j'étais fascinée par la production de lumière avec des électrons relativistes dans un champ magnétique, ce nouveau type de milieu de gain.

LEL : multi-disciplinaire (accélérateur, laser, magnétisme, optics ...),

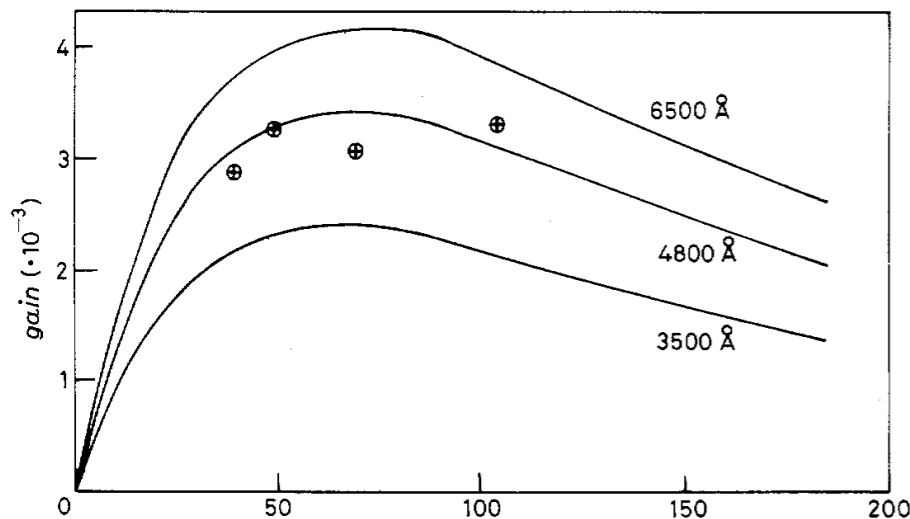
LEL : nouveau type de laser, Domaine très exploratoire en 1985

Stage sur ACO en 1983 en physique des surfaces

=> j'ai rejoint le groupe LEL d'ACO qui préparait aussi celui de Super-ACO

Nouveaux résultats sur le LEL sur ACO

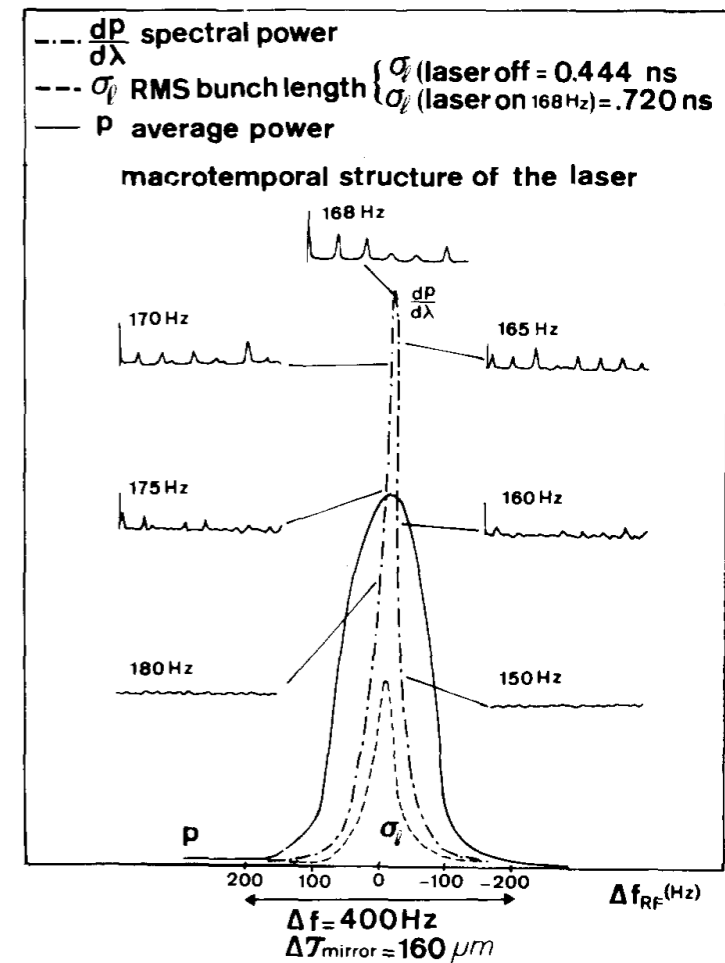
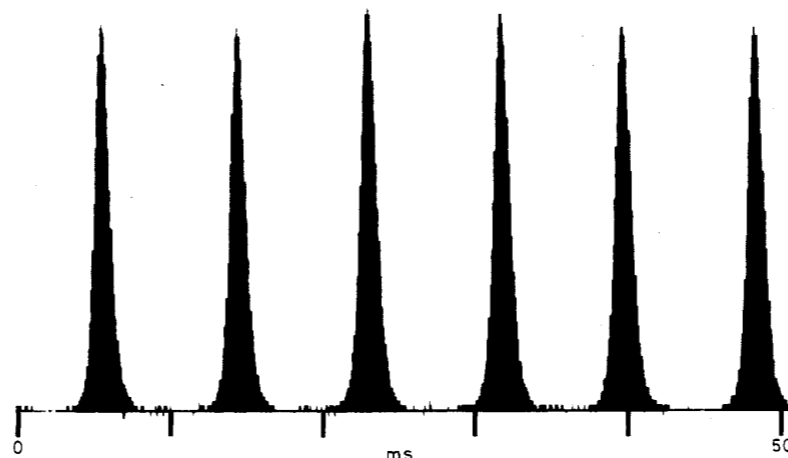
Gain



M. Billardon et al, *Europhys. Lett.*, EPL 3 689 (1987)
 M. E. Couprie et al., *NIMA* A259, 77-82 (1987)

FEL oscillator

Structure macrotemporelle
 => Q-switch



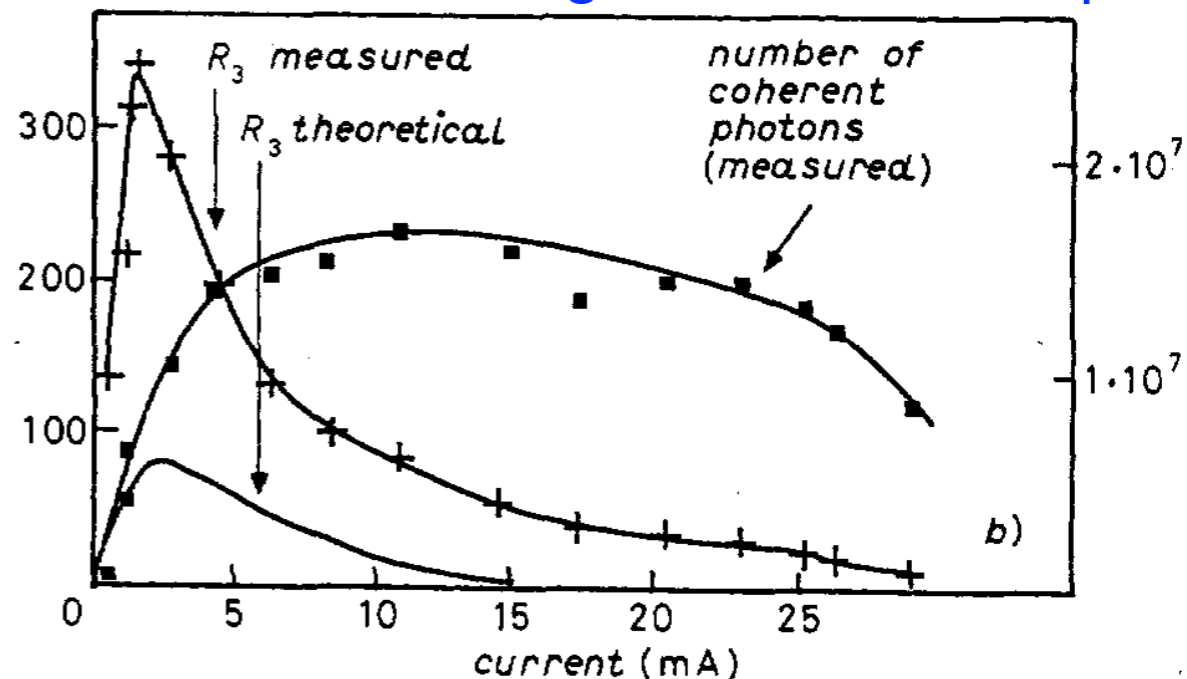
CHG à 355 nm, 177 et 106.4 nm

Aplatissement de la dist.
 longitudinale électronique

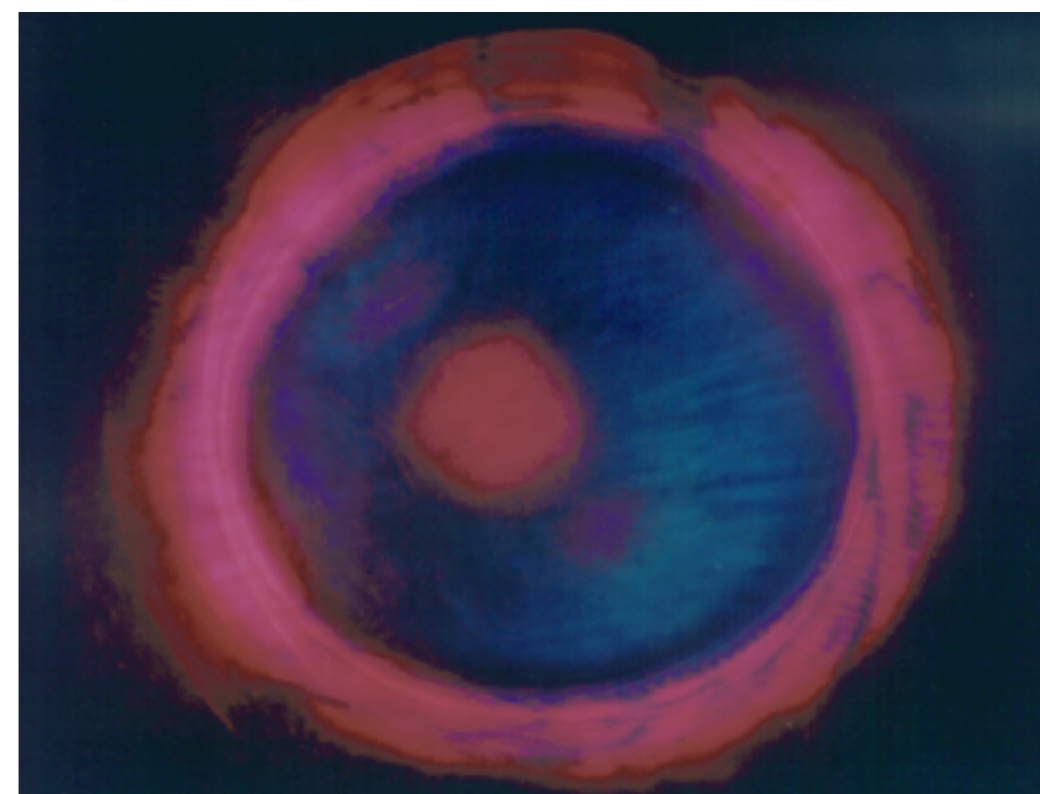
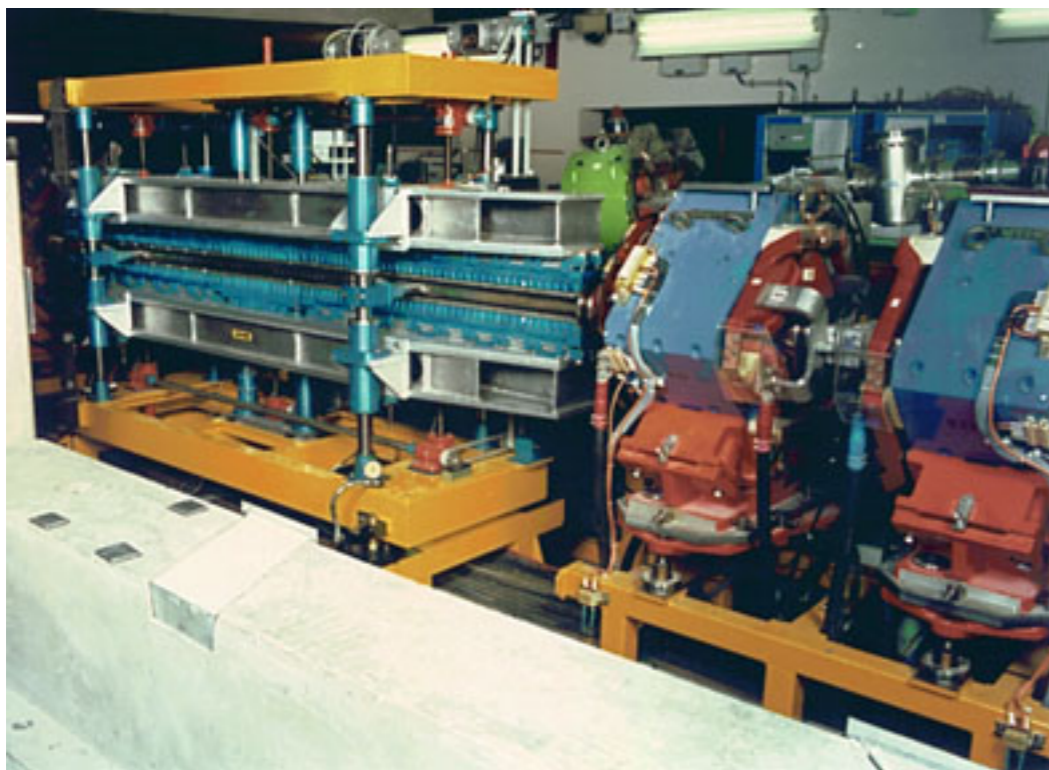
R. Prazeres et al., *Nucl. Instr. Meth.* A272 (1988), 68-72
 R. Prazeres et al, *Europhys. Lett.*, 4 (7), 817-822 (1987)

Experimental results on ACO (1987)

Observed harmonic	3	5
Corresponding wavelength [Å]	1773	1064
Integrated ratio R_n^{int}	350	3-4
monochromator bandwidth [Å]	2	2
monochromator angular aperture [mrad ²]	1.4	3
Spectral ratio $R_n(\lambda, \Omega)$	6000	100
Number of coherent photons/pulse	1.5×10^7	10^5
in spectral width [Å]	0.1	0.07
in angular aperture [mrad]	0.2	0.1



Super-ACO FEL developments (1989-2003)

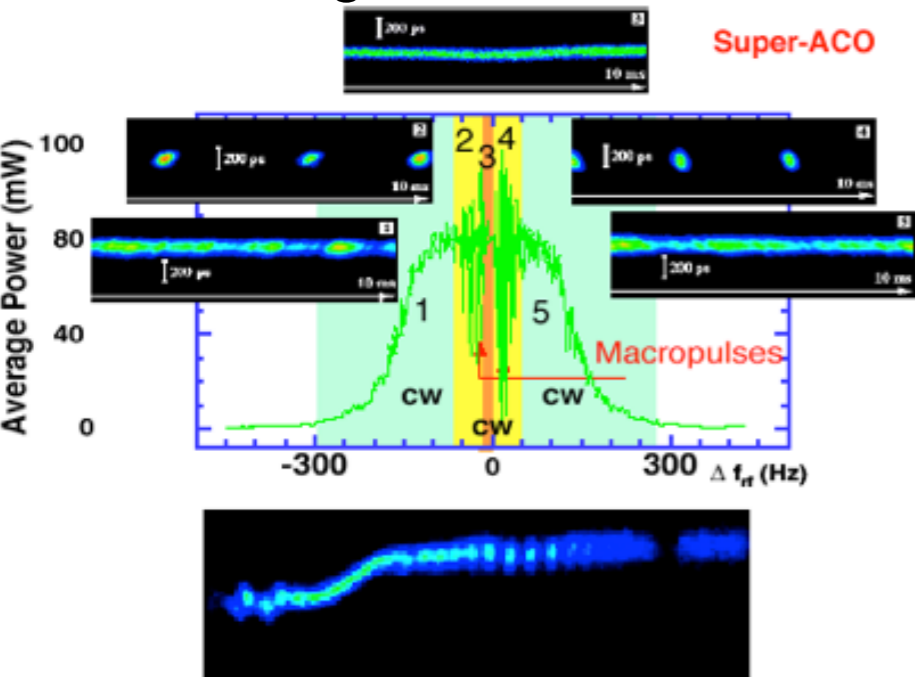


Construction du klystron optique
Etude de dégradation de miroirs
Fonctionnement à plus courte longueur
d'onde et stabilité
Première expériences d'utilisation
Chaos
Compton scattering

Collaborations:
CLIO (France) : linac based FEL in the infrared
VEPP3 (URSS) : SRFEL, linewidth narrowing
UVSOR (Japon) : SRFEL, longitudinal dynamics,
polarisation control, CHG
ELETTRA (Italie) : SRFEL, short wavelength
operation

Dynamique d'un LEL sur anneau de stockage

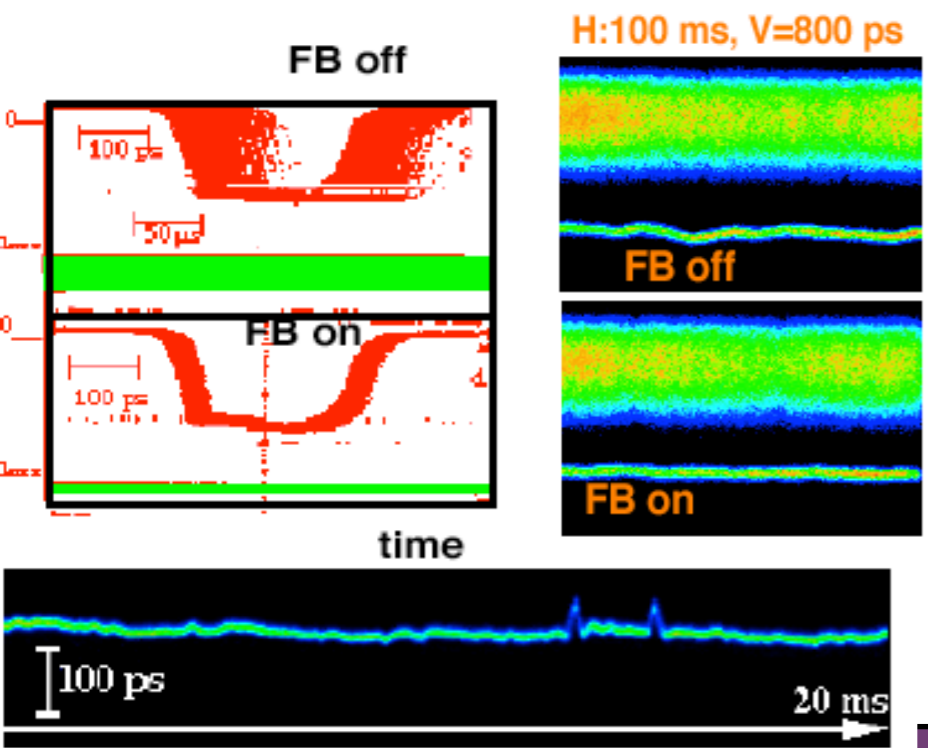
Detuning curve



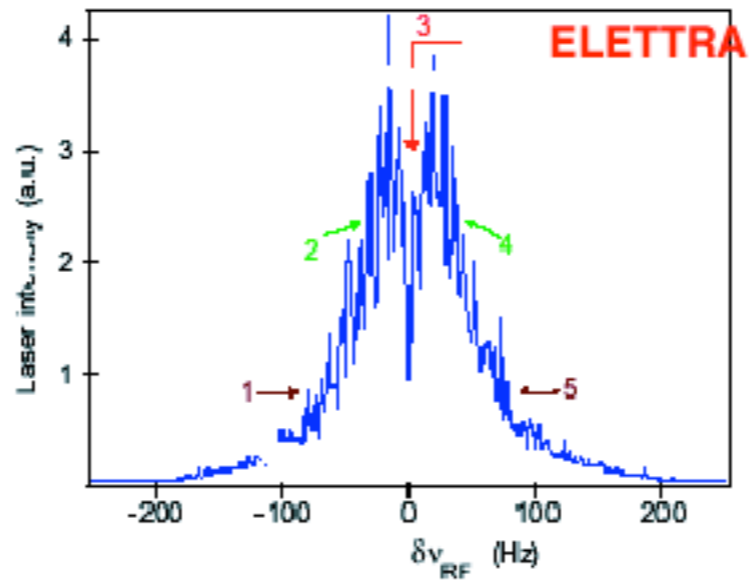
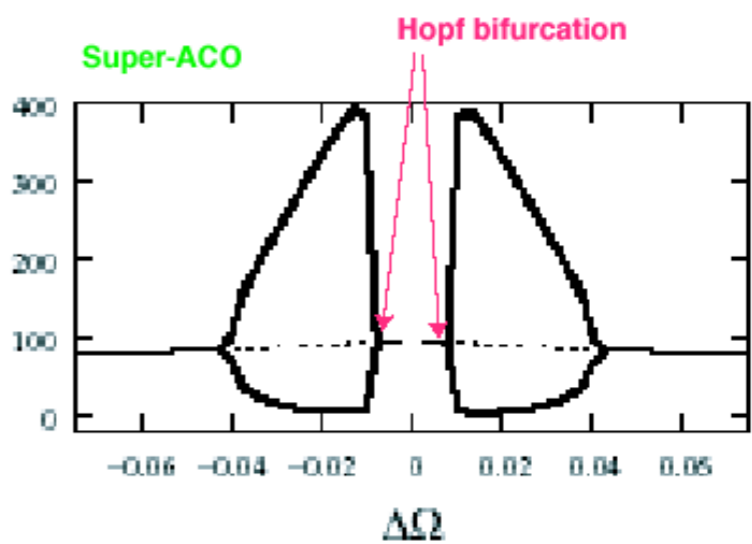
M. Billardon et al., Phys. Rev.A 44 (2), 15, 1301-1315 (1991)

Longitudinal feedback for improved stability (Super-ACO)

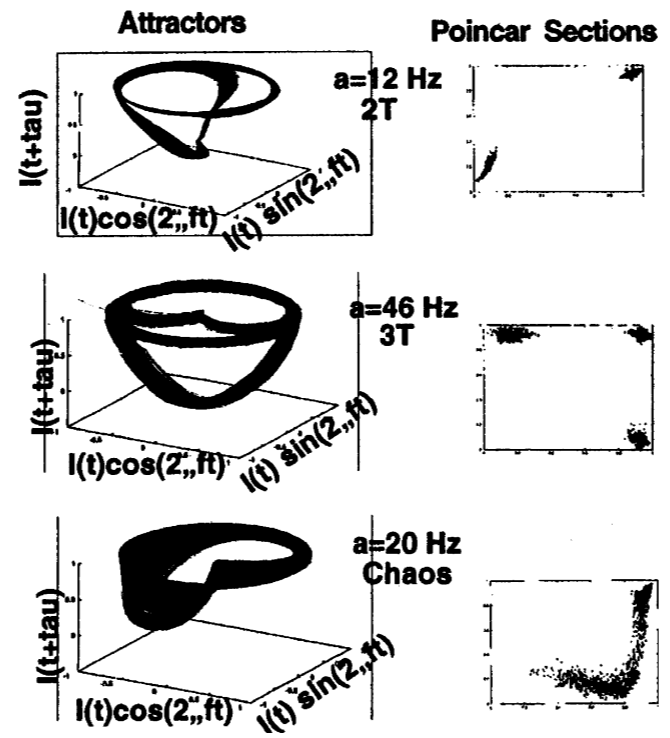
M. E. Couprie, NIMA A 358-374 (1995)



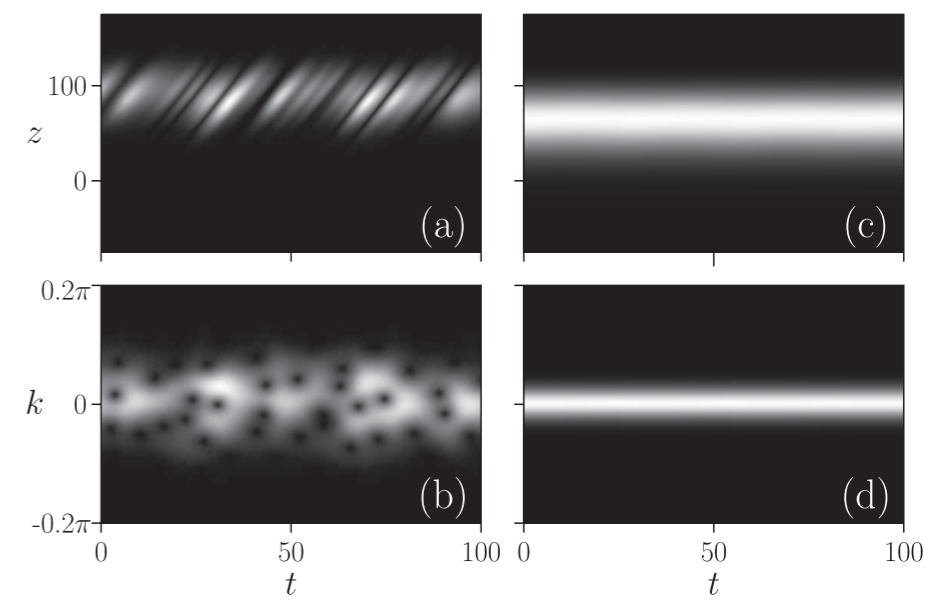
Control of the pulsed regimes on Super-ACO



Chaos



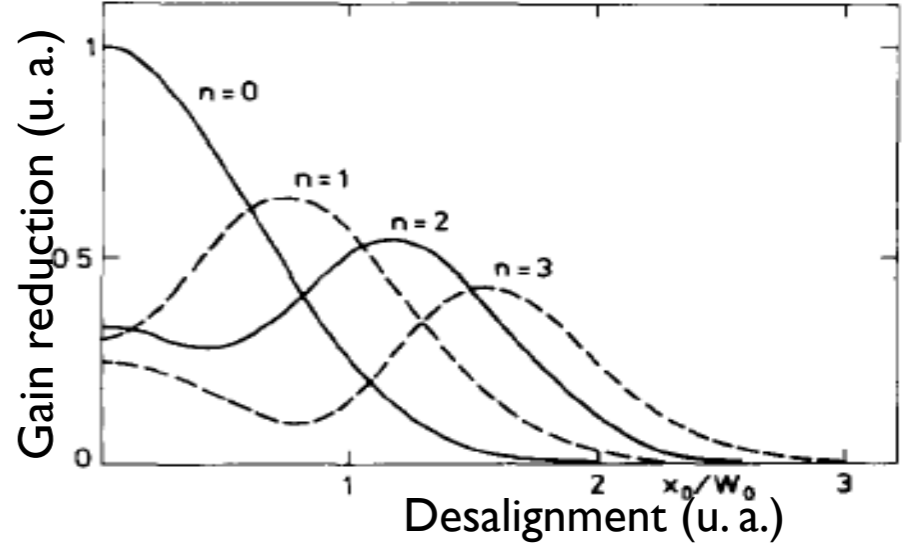
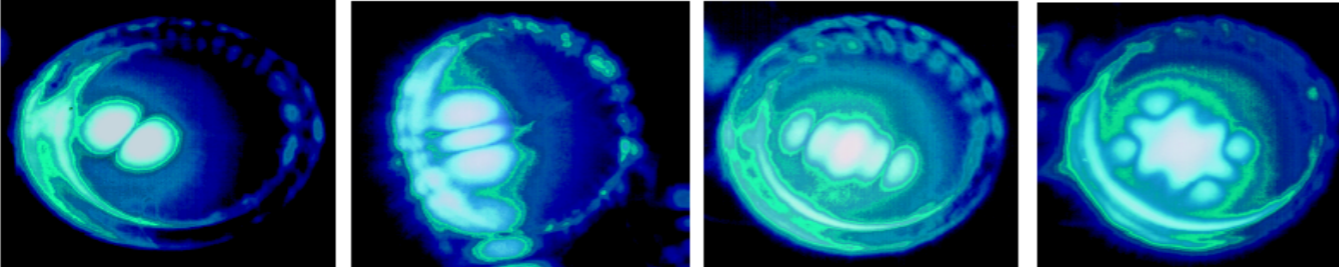
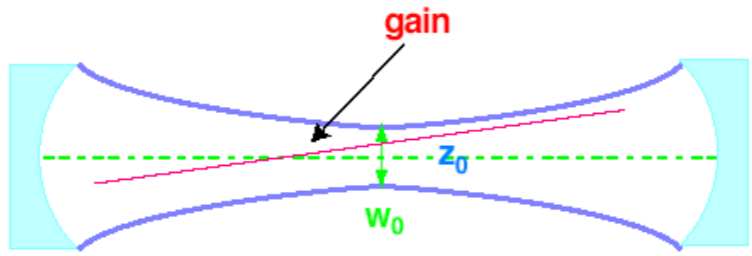
M. E. Couprie, NIMA A 483(1-2) 167-171 (2002)



S. Bielawski et al., Phys. Rev. E 69, R045502 (2004)

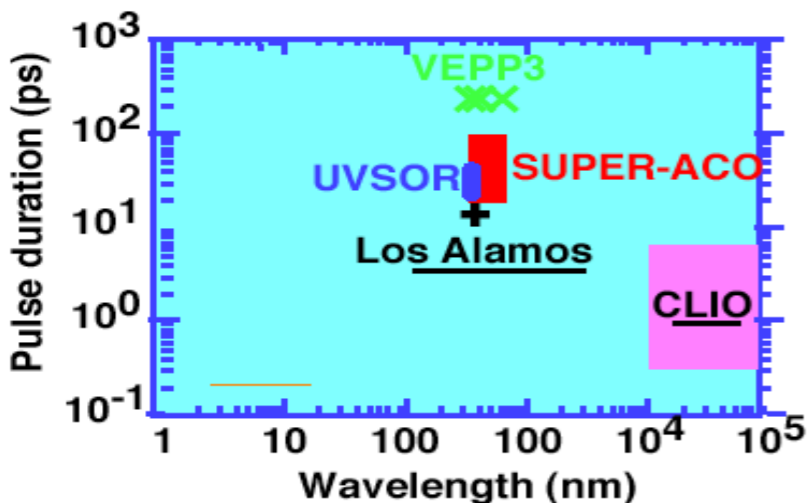
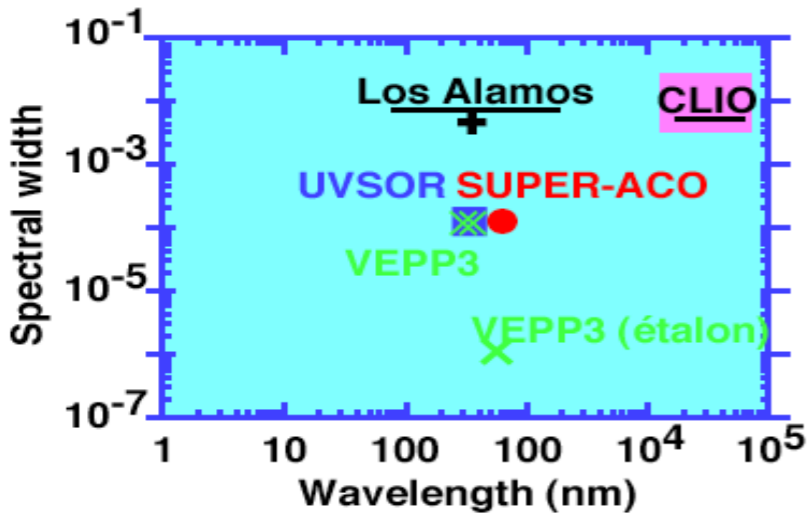
Propriétés des LELs oscillateurs

Transverse modes

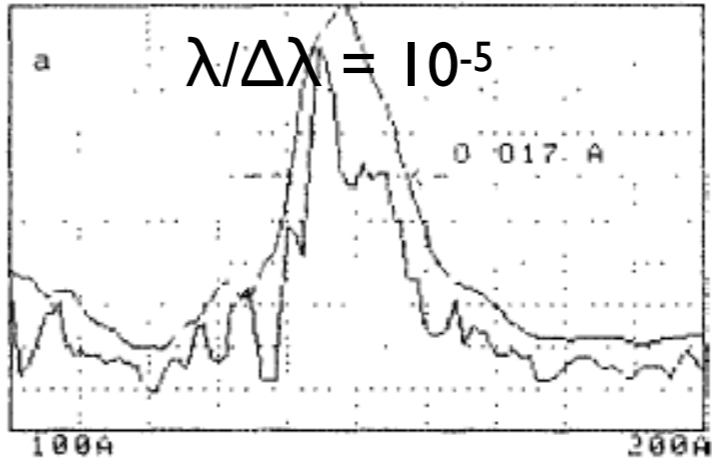
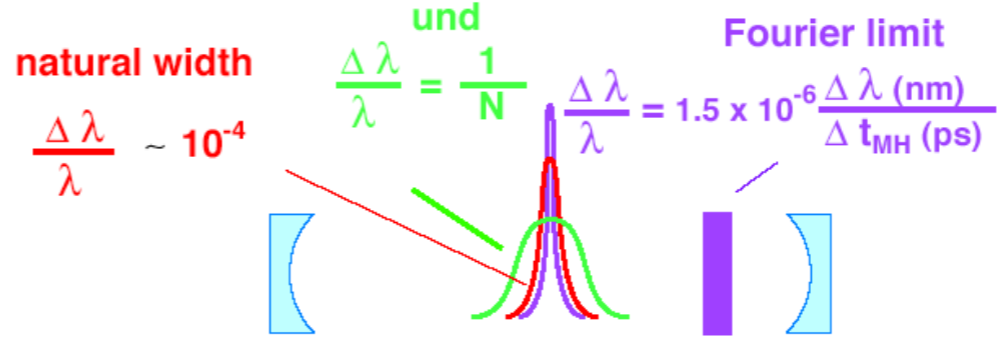


M.E. Couprie, D. Garzella, M. Billardon, Nucl. Inst. Meth.A 358, 382-386 (1995)

Temporal properties



M. E. Couprie, NIMA A393, 13-17 (1997)



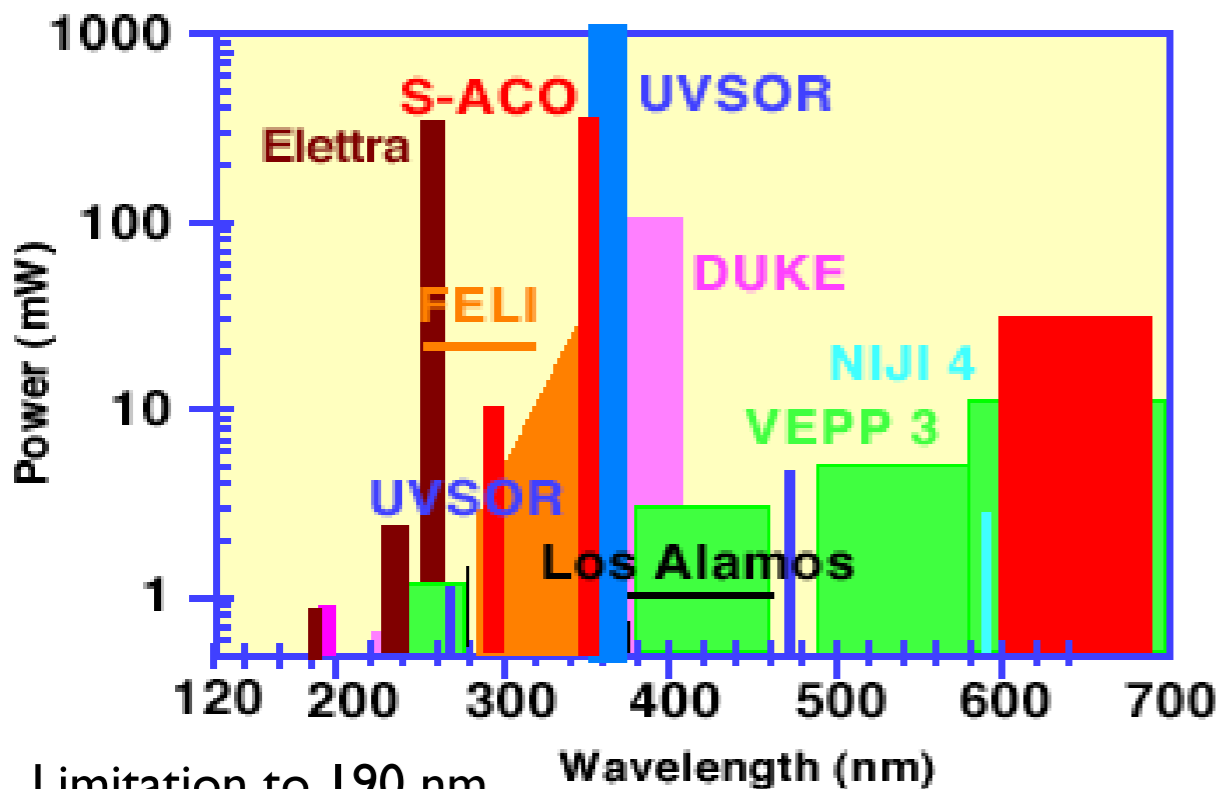
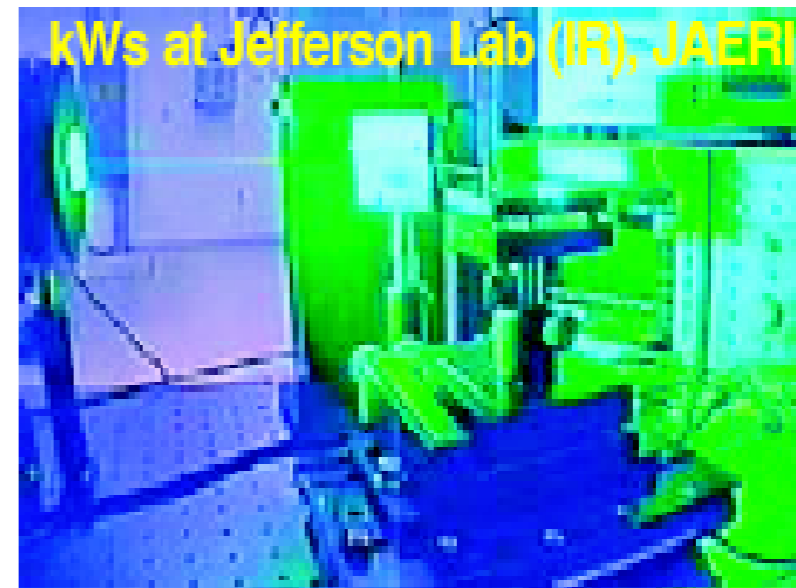
VEPP3 (Russia)

M. E. Couprie et al., NIMA 304 (1991) 47-52

Limite en longueur d'onde des LEL oscillateurs

- anneau de stockage : longueur de section droite limitée
- onduleur plan : harmoniques élevées reçues par les miroirs => dégradation des optiques

- Linacs
- ERLs



Limitation to 190 nm
M. Marsi, et al., 80 (16): 2851-2853 (2002).

Augmentation de l'efficacité par tapering d'onduleur sur LEL sur linac

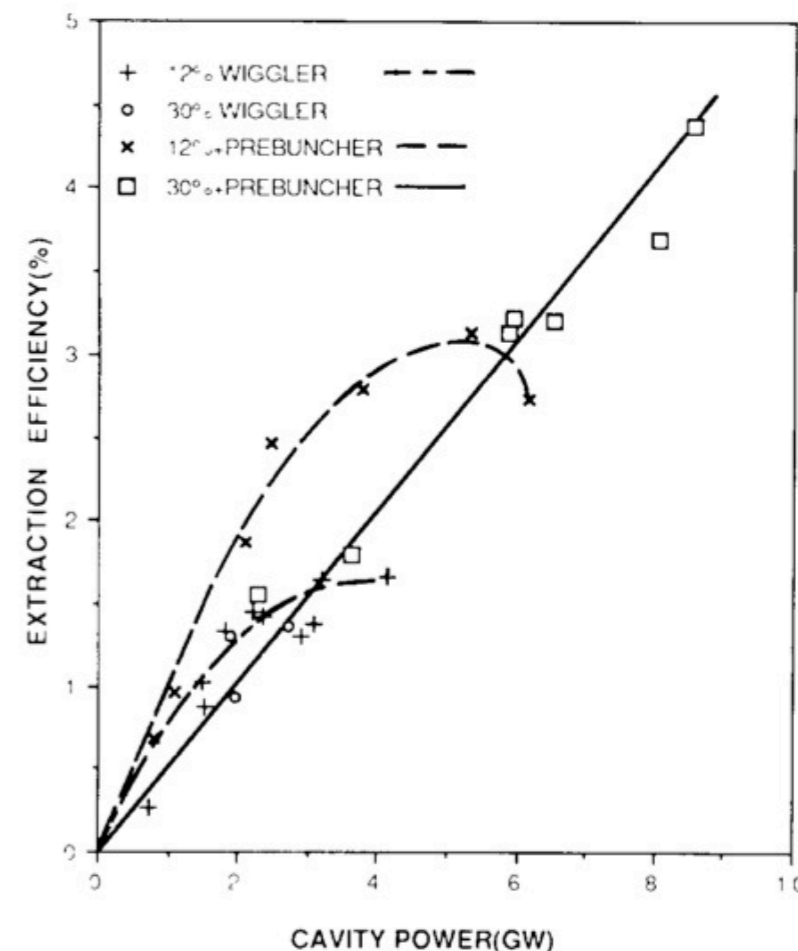
$$\lambda = \frac{\lambda_u}{2\gamma_s^2} \left[1 + \frac{1}{2} \left[\frac{eB_z(s)\lambda_u(s)}{2\pi m_0 c^2} \right]^2 \right]$$

$$r = \frac{1}{4N_u}$$

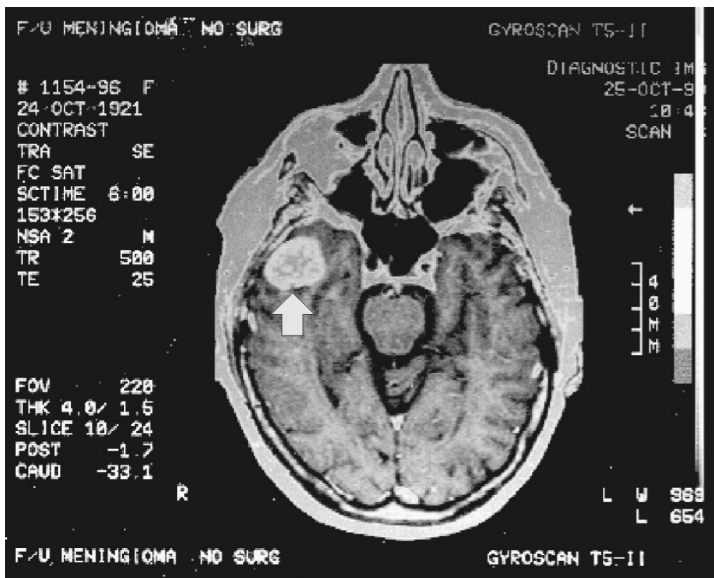
$$n\lambda_n = \frac{\lambda_u}{2\gamma^2} \left(1 + \frac{K_u^2}{2} + \gamma^2 \theta^2 \right)$$

Livermore : 40 % efficiency, operated as amplifier

Warren, et al, IEEE Journal of Quantum Electronics,, 19(3), 391-401.



Premières utilisations des LELs oscillateurs



Human surgery

Vanderbilt IR FEL

Edwards, G. et al. Review of scientific instruments, 74(7), 3207-3245 (2003)

Photon echo

Stanford IR FEL

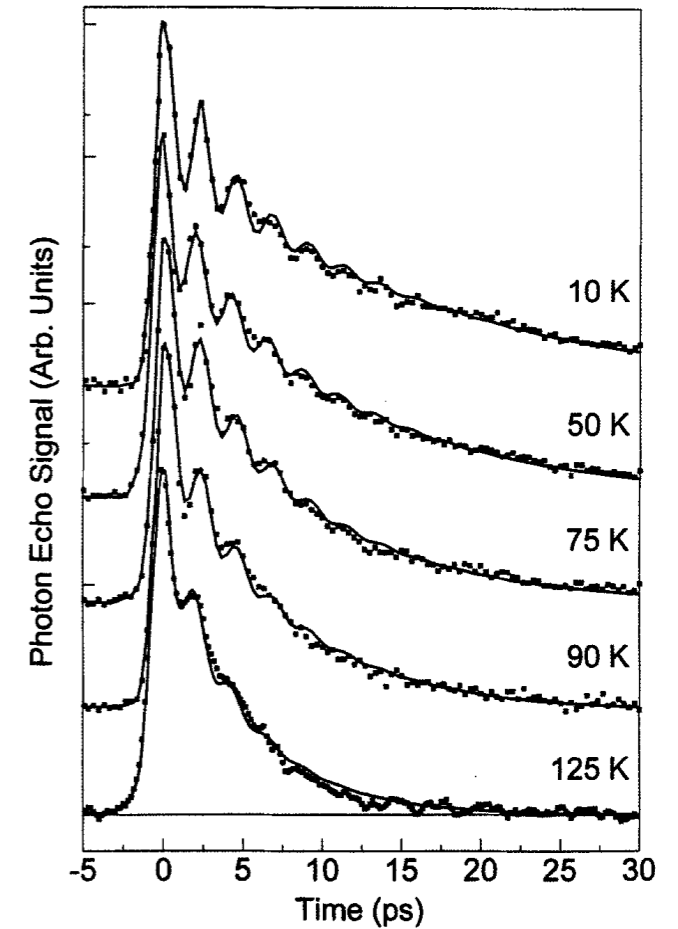
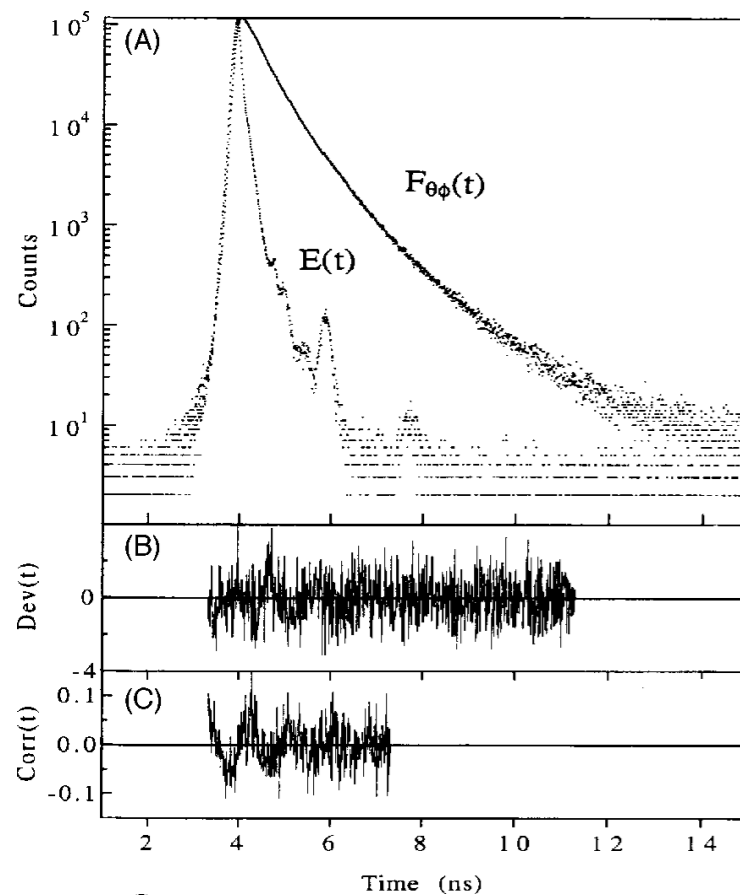


Figure 11. Beating evident in photon echo decays and fits for the asymmetric CO-stretching mode for $W(CO)_6$ in DBP as a function of temperature. Reprinted with permission from reference 37.

fluorescence résolue en temps:
Décroissance et dynamique rotationnelle du
cofacteur enzymatique NADH

Super-ACO UV FEL

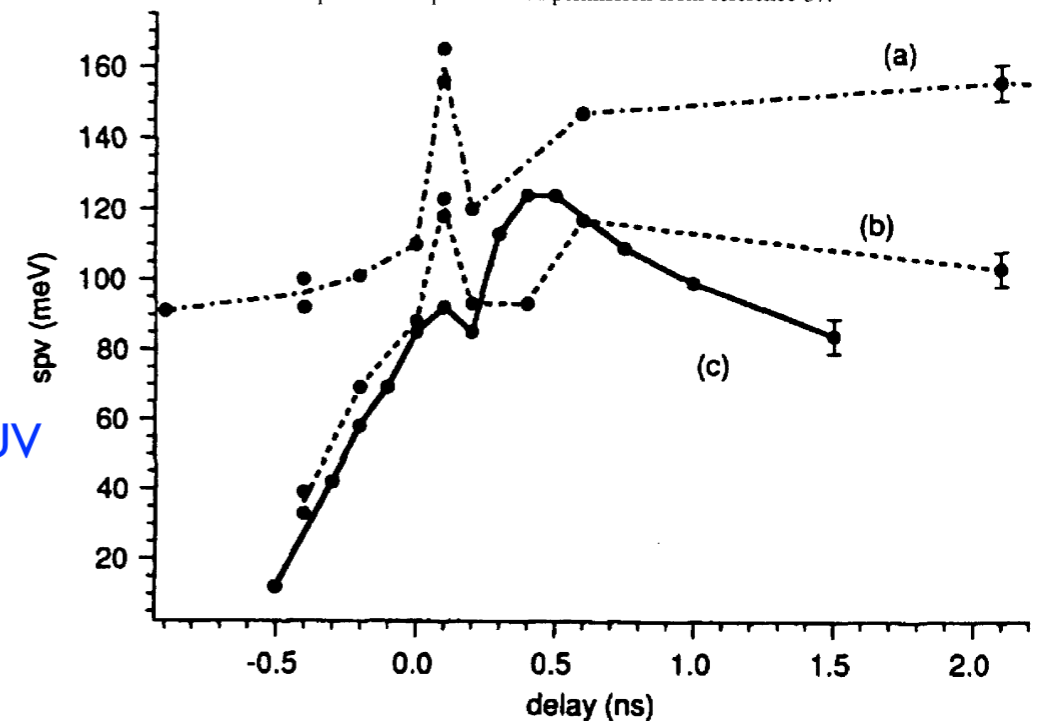
M. E. Couprie et al. Rev. of Scient. Inst., 65(5) May 1994, 1485-1495



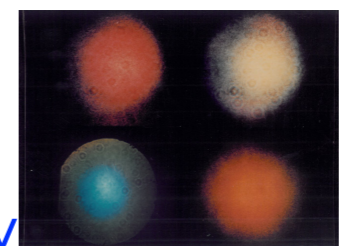
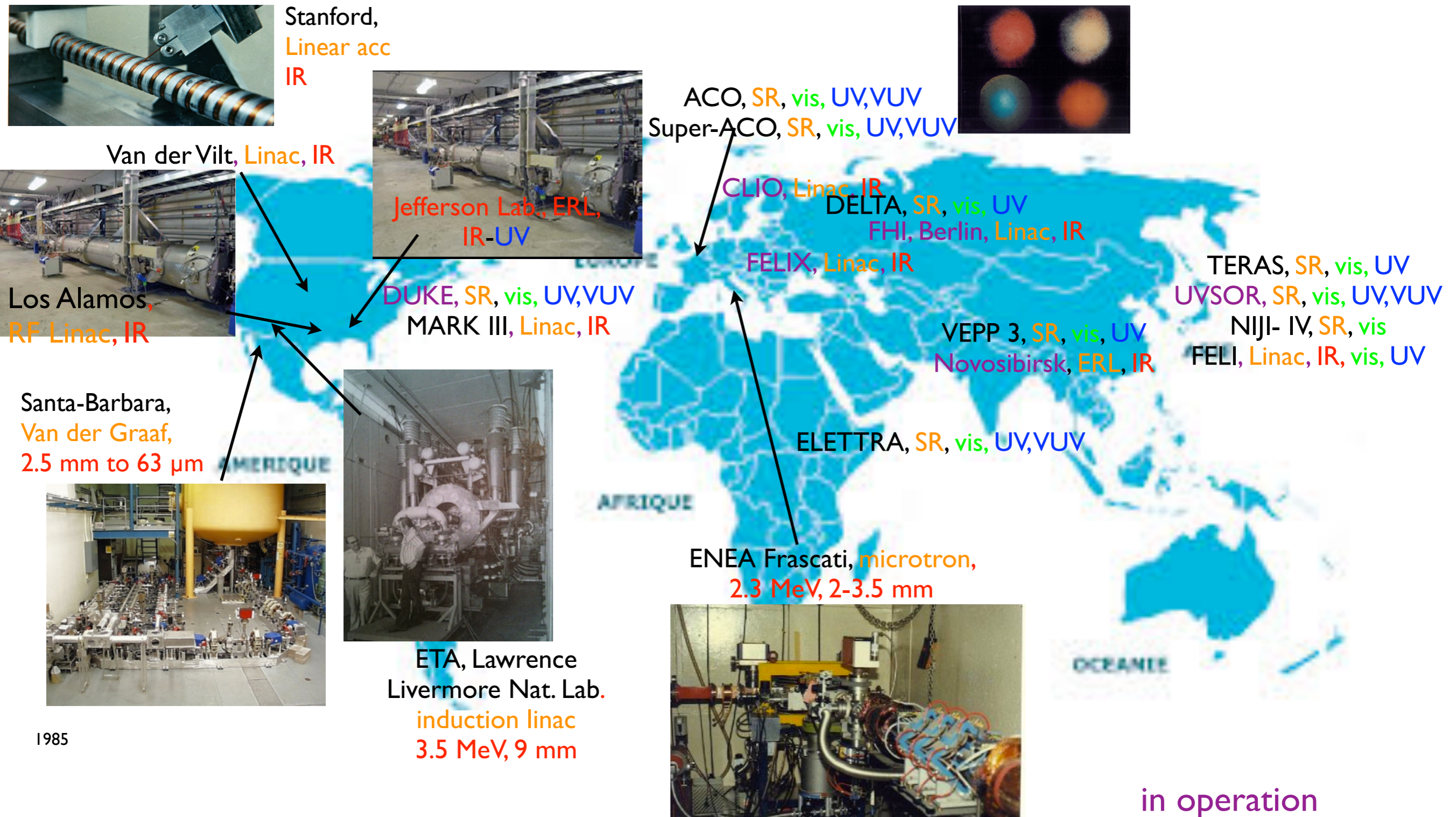
Effet de photovoltage de surface:
 $Si(111)2 \times 1$
pompe sonde LEL +
Rayonnement Synchrotron VUV

Super-ACO UV FEL

M. Marsi et al., Appl. Phys. Lett. 70(7) (1997) 895-897



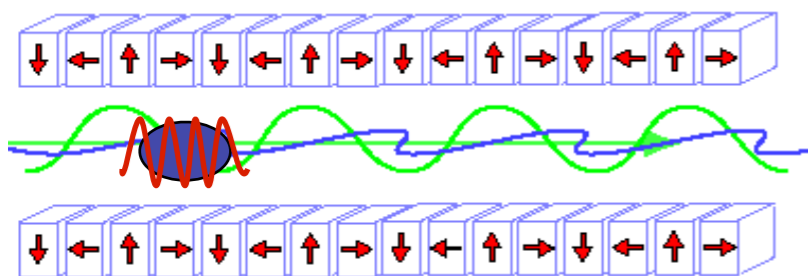
Panorama des LEL oscillateurs



1985

in operation
shut down

Self Amplified Spontaneous Emission (SASE)



Démarrage à partir du bruit de l'émission spontanée auto-organisation via le rayonnement et le champ de charge d'espace => électrons «self bunch» à l'échelle de la longueur d'onde rayonnée.

Emission collective des électrons ayant une phase similaire de rayonnement synchrotron cohérent.

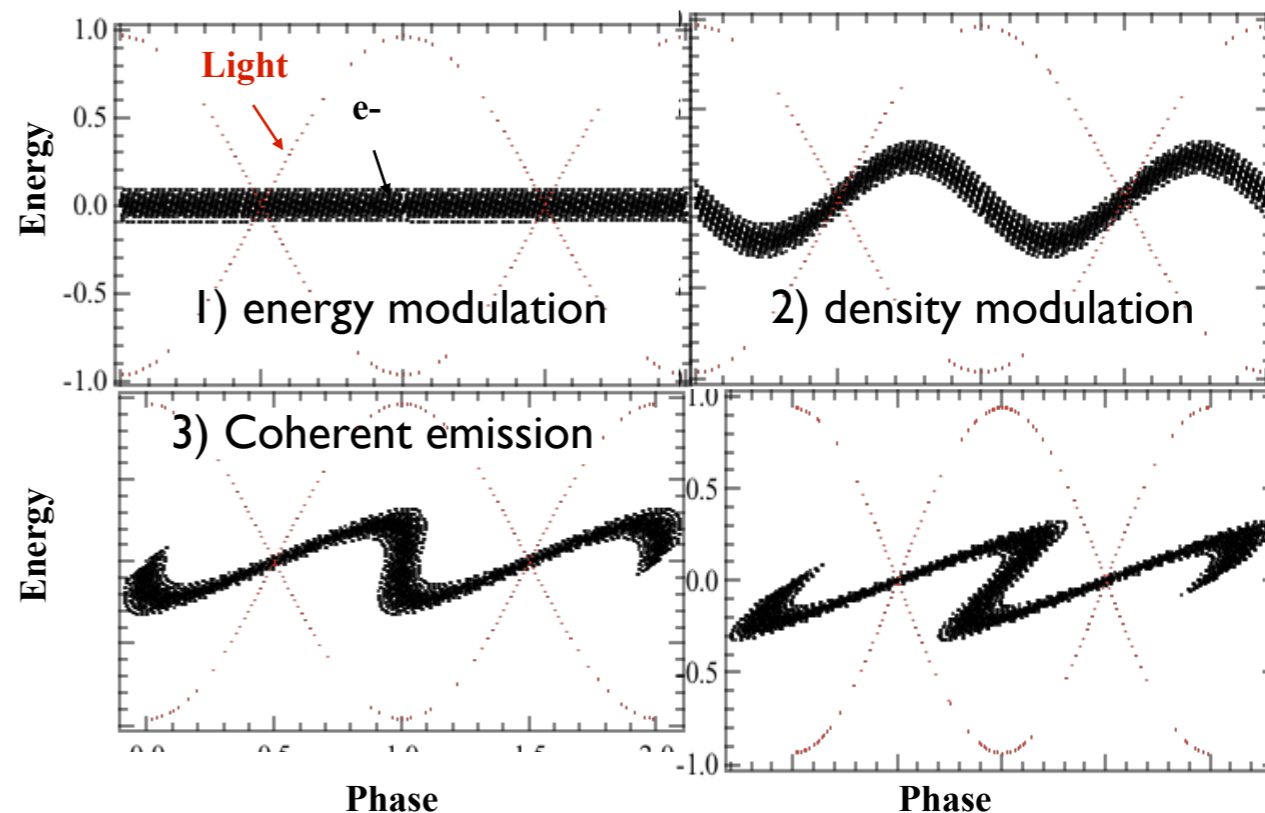
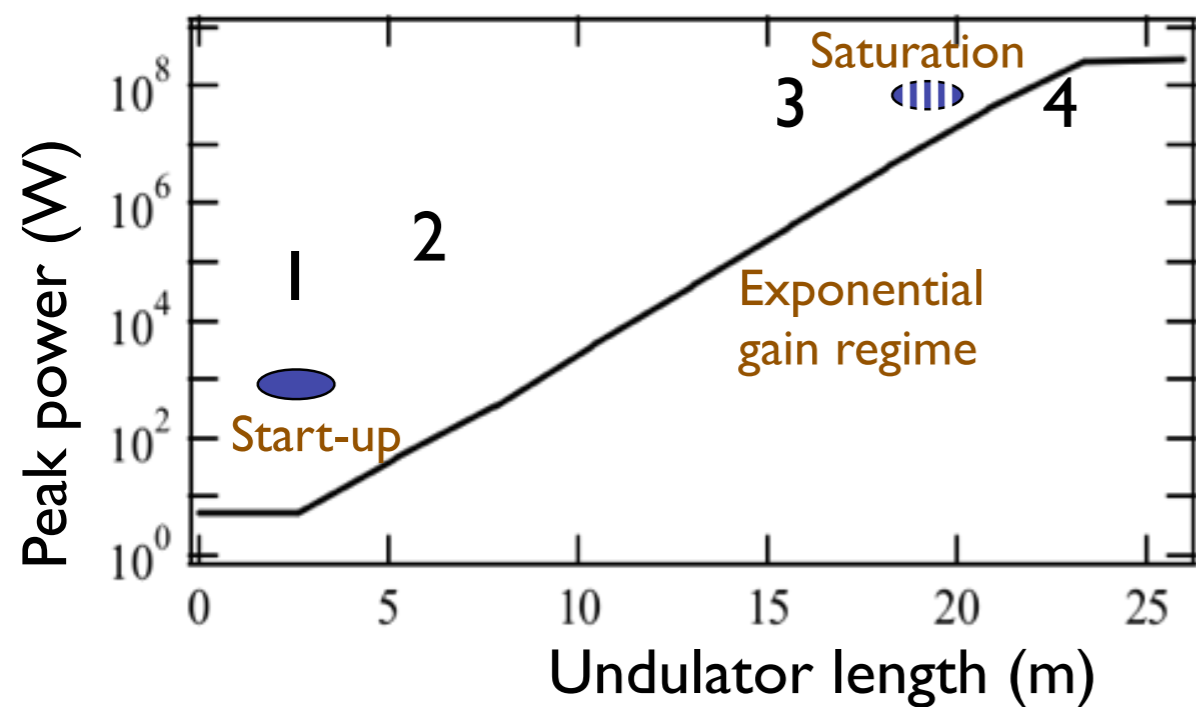
Croissance exponentielle due à l'instabilité collective (régime de fort gain)

Optical guiding

Saturation : échange d'énergie cyclique entre les électrons et le champ rayonné.

$$\rho_{FEL} = \left[\frac{K_u [JJ] \omega_p}{4\omega_u} \right]^{2/3} = \frac{1}{2\gamma k_u} \left(\frac{\mu_0 e^2 K_u^2 [JJ]^2 k_u n_e}{4m_0} \right)^{1/3}$$

$$\Gamma = 2k_u \rho_{FEL} \quad L_{go} = \frac{\lambda_u}{4\pi\sqrt{3}\rho_{FEL}} \quad \frac{\Delta\lambda}{\lambda} = \rho_{FEL} \quad P_{sat} = \rho_{FEL} E I_p$$



A.M. Kondratenko et al, *Sou Phys. Dokl.* 24 (12), 989 (1979)
 Y.S. Derbenev, A.M. Kondratenko, E.L. Saldin: *NIMA* 193, 415-421 (1982)
 Kondratenko A.M., Saldin E.L.: *Part. Accelerators* 10, 207-216 (1986)

K. J. Kim et al, *PRL* 57, 1871 (1986)
 C. Pellegrini et al, *NIMA* 475, 1 (2001)

Basculement des anneaux vers les linacs

Limites de l'emploi des anneaux de stockage

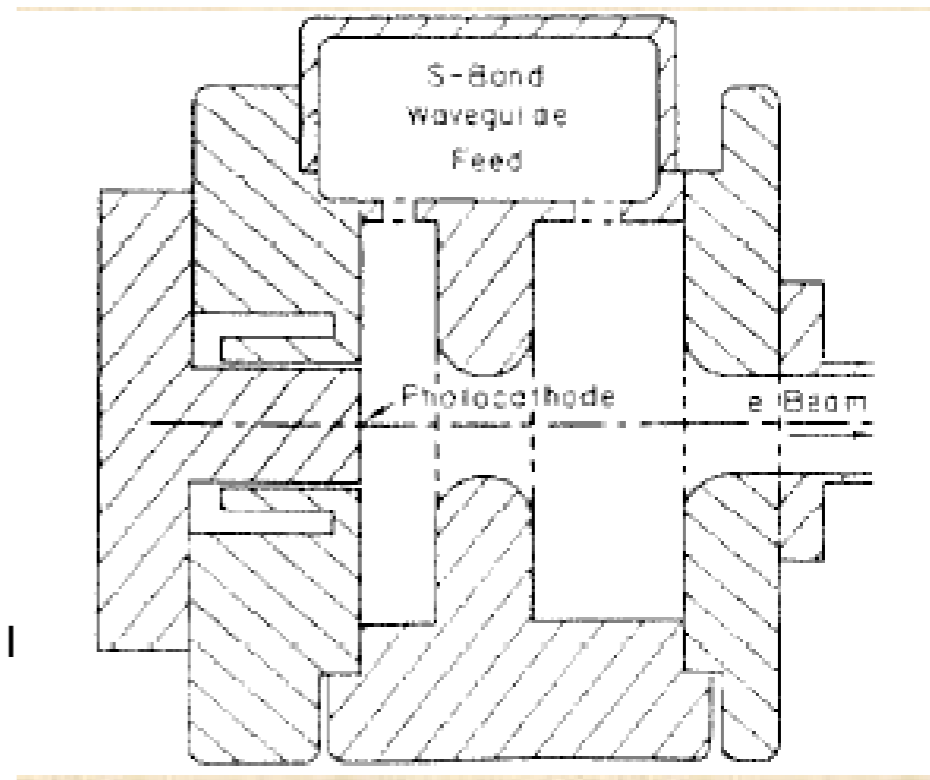
J. B. Murphy and C. Pellegrini, J. Opt. Soc. Am. B, 2 (1985)

Développements des photo-injecteurs

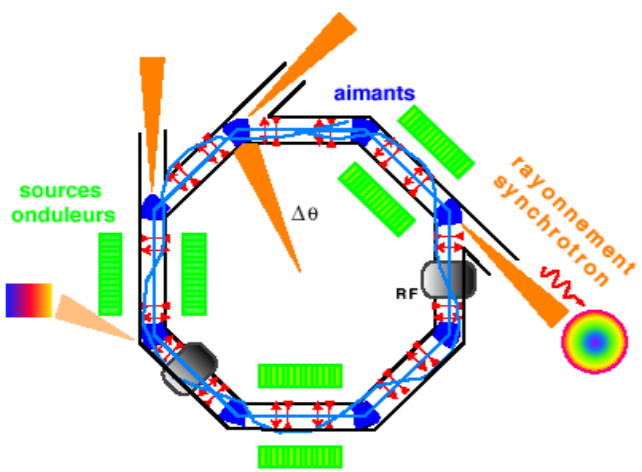
Fraser, J.S. and R.L. Sheffield. 1987. IEEE J. Quantum Electron. QE-23: 1489-1496.
Batchelor, K., H. Kirk, K. McDonald, J. Sheehan and M. Woodle. 1988. Proc. of the 1988 European Particle Accelerator Conf., Rome, pp. 54-958.

with a linac and a photoinjector it is possible to reach the nm region at a beam energy of 1 GeV, with about 6 mJ/pulse starting from noise in an 11 m long undulator

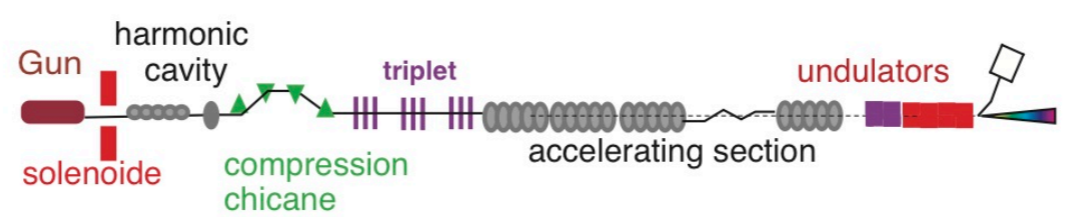
C. Pellegrini Nuclear Instruments and Methods A272, 364-367 (1988).



Emittance et dispersion en énergie => La communauté se tourne davantage vers les Linacs



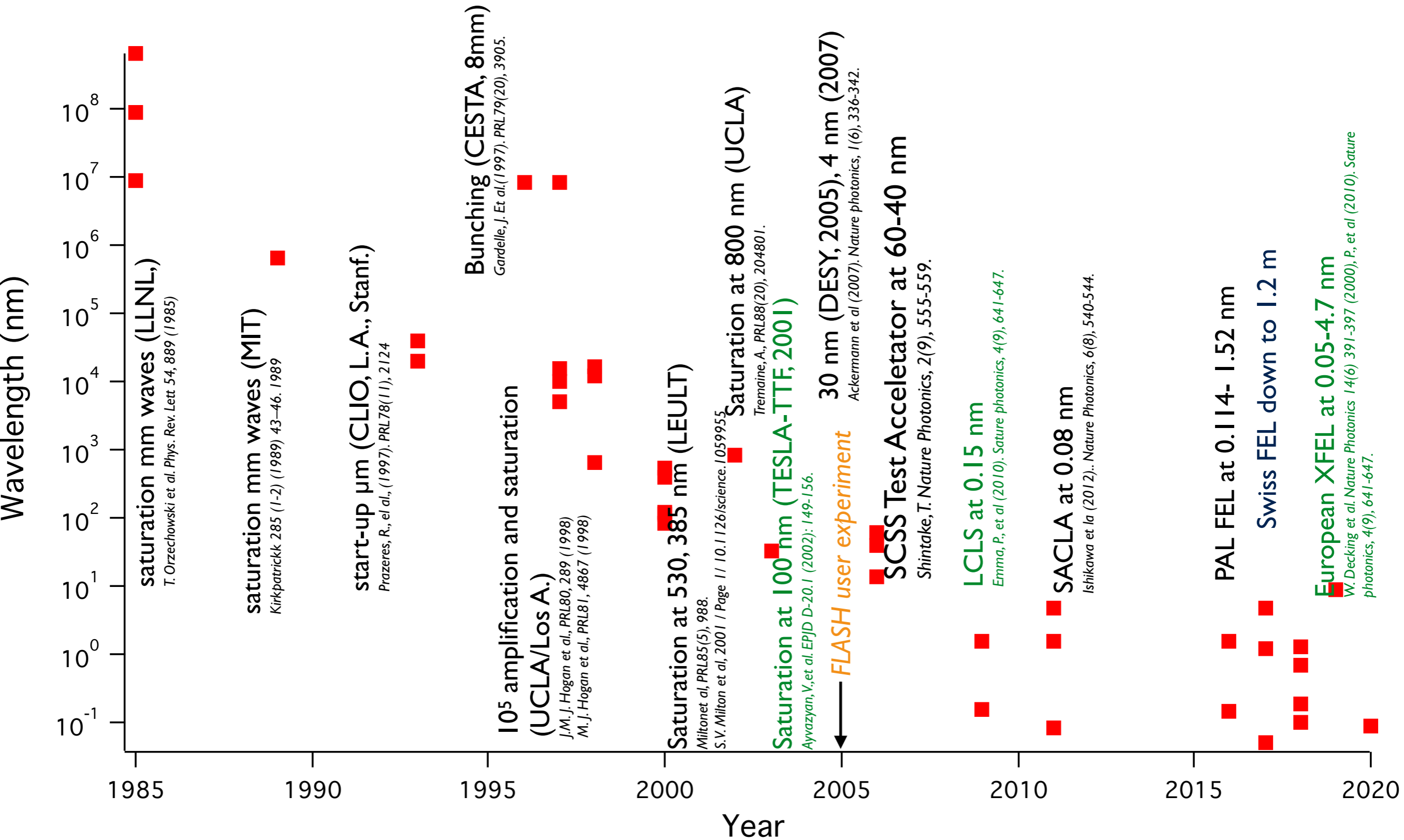
10-30ps, $\epsilon \propto E^2$
 Energy spread : 0.1 %



10 fs-10 ps, $\epsilon \propto 1/E$ Energy spread : 0.01 %

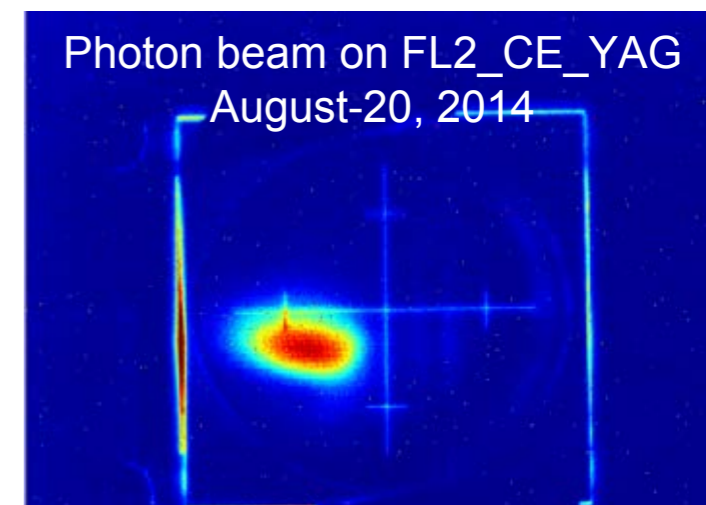
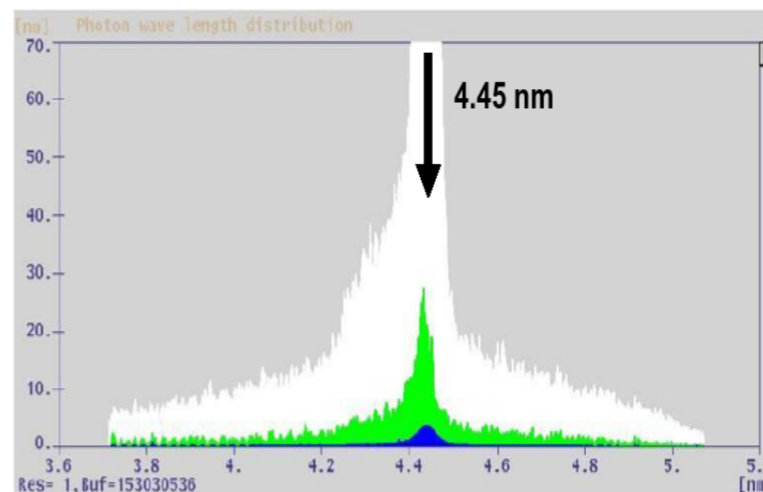
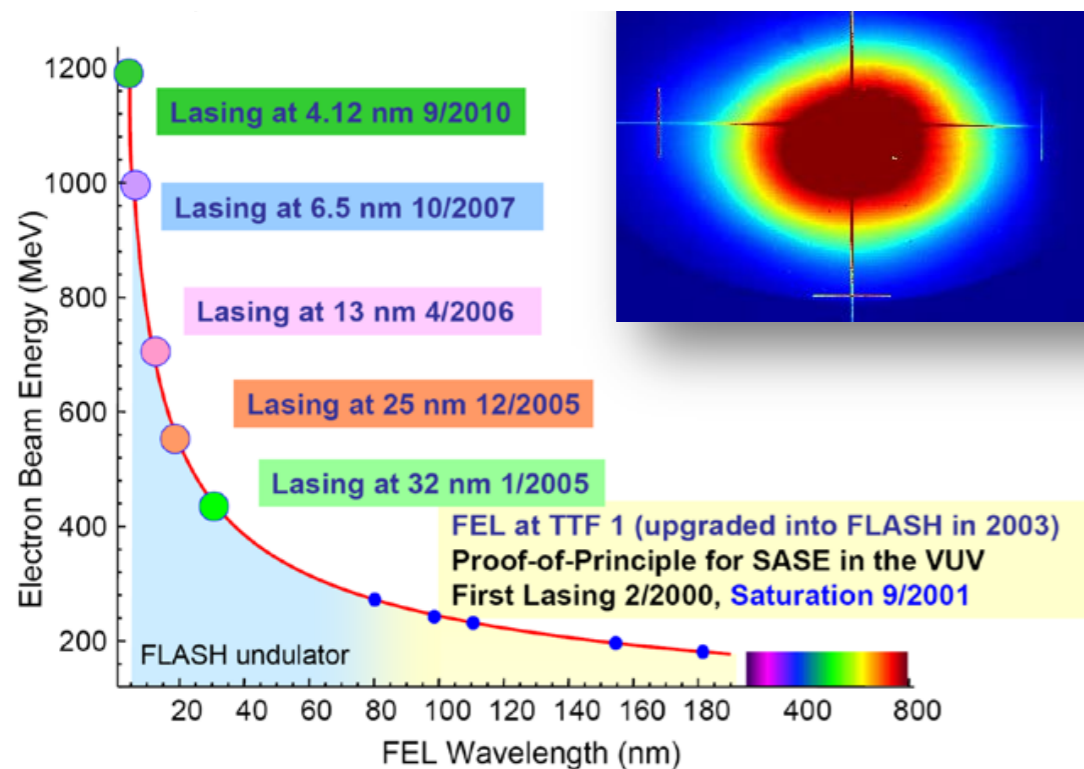
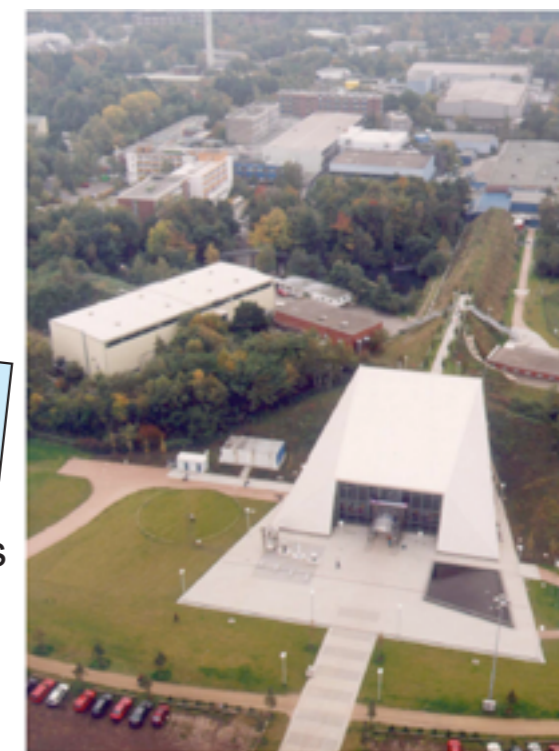
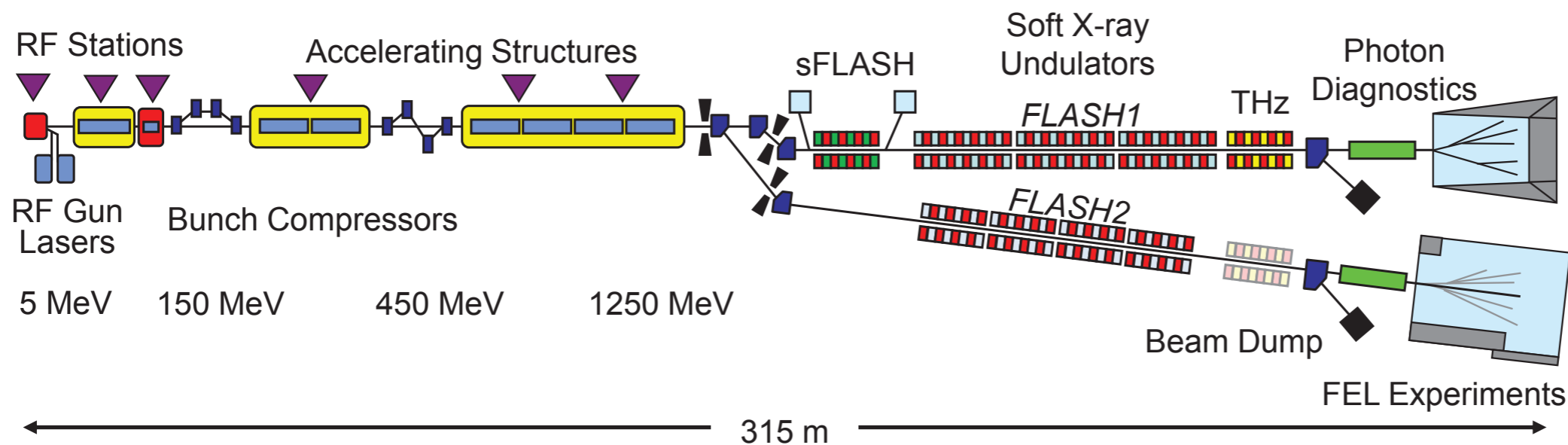
Repetition rate : depending on the linac (room temperature or superconducting)

Observations du SASE



SASE FEL (soft X-ray) : FLASH centre utilisateurs

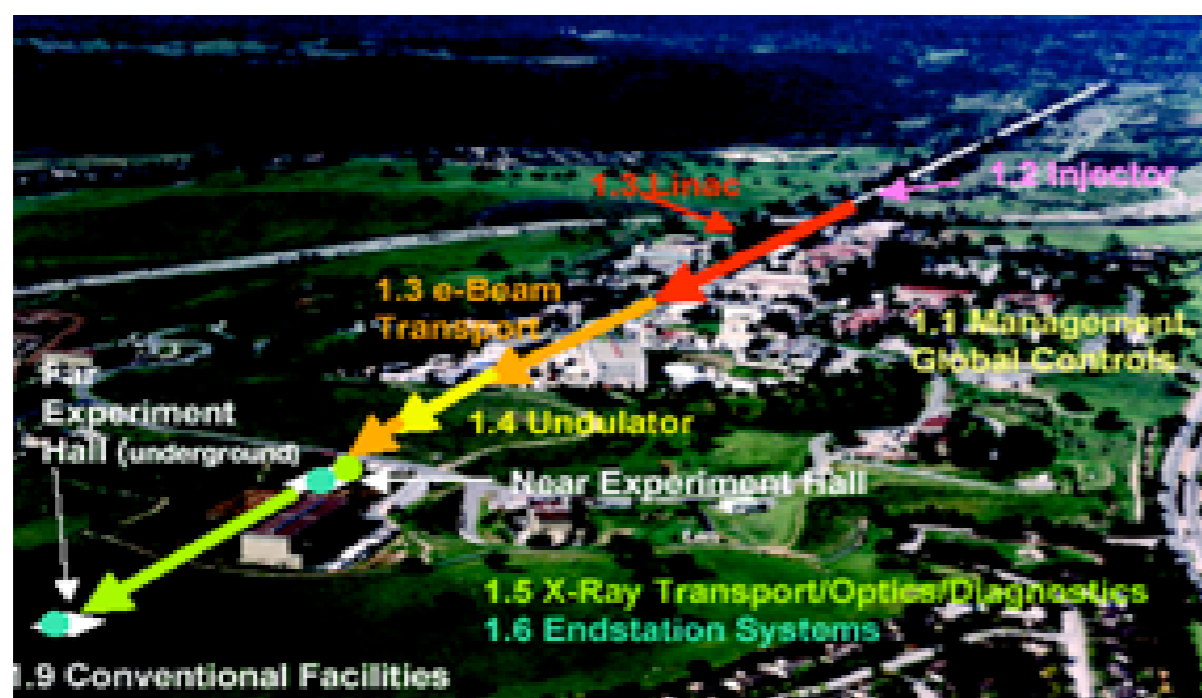
FLASH, DESY, Allemagne : 4-45 nm, 50-200 fs, 1-3 GW; FLASH-II : 40 and 20 nm



First lasing of FLASH II, 2014, Aug. 20, K. Honkavaara et al., Proceed. FEL conf, Basel, Aug. 24_29

SASE FEL (hard X-ray) : LCLS centre utilisateurs

LCLS (Stanford, USA), 2 mJ, 1.4 Å, 1.5 Å saturation at 65 m (of 112 m), now 6 mJ, 4-50 fs, GW power, average flux 10^{12} ph/s, $2 \cdot 10^{33}$ (10^{24}) ph/s/mm²/mrad², 96.7 % availability, 120 pulses/s

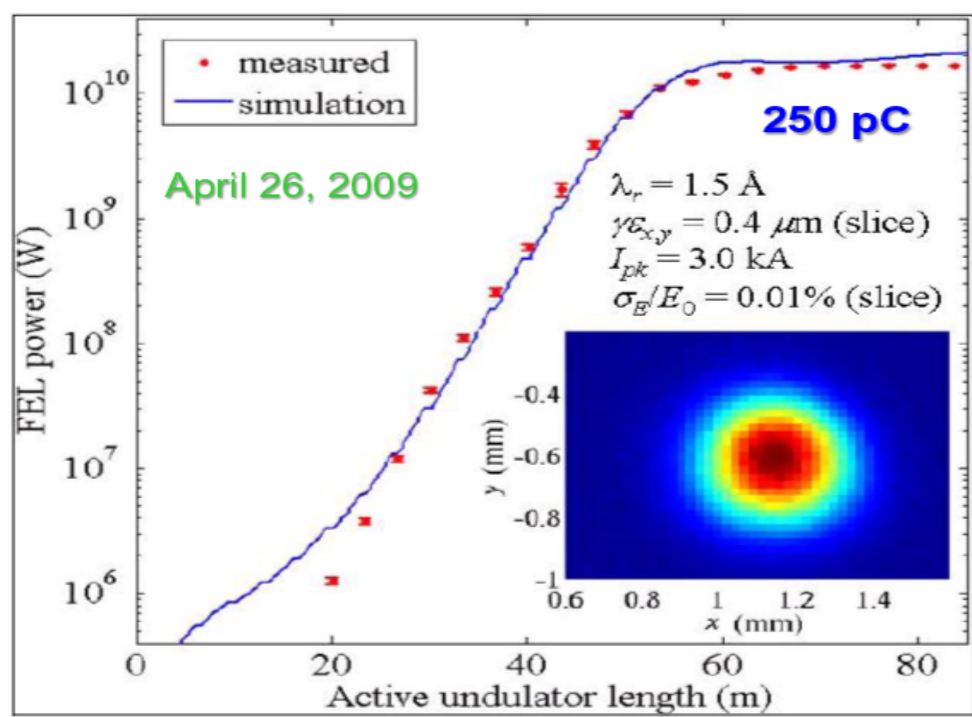


Stanford, USA

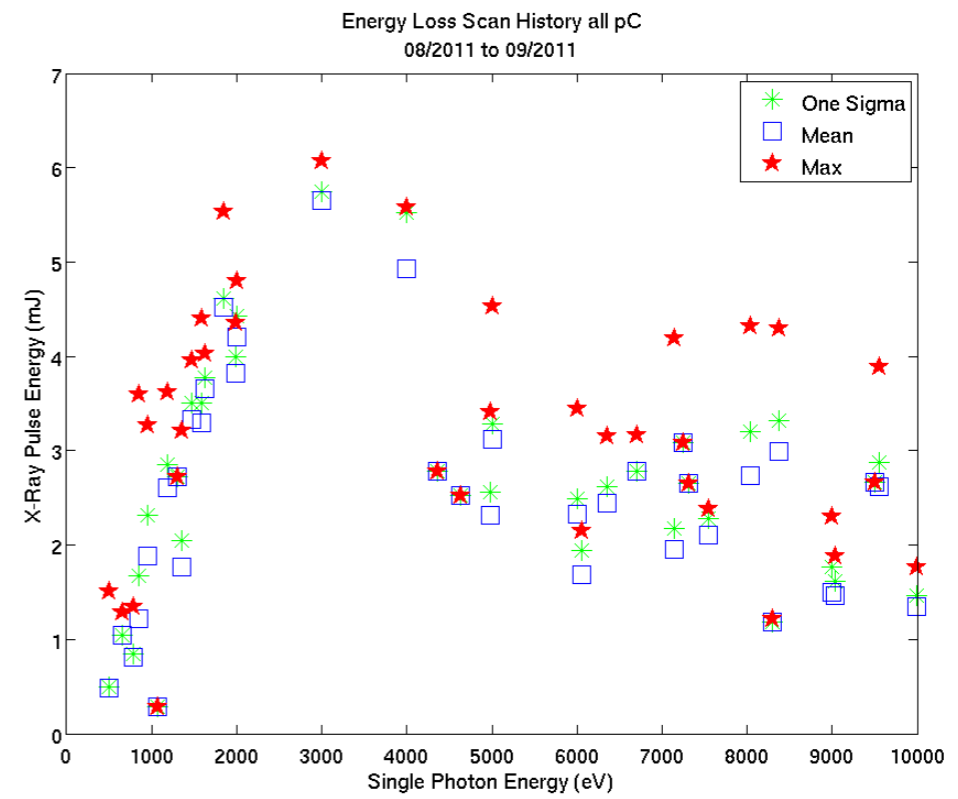
<http://www-ssrl.slac.stanford.edu/lcls/>

P. Emma et al., Nature Photonics, 2010, 176

32 années après le premier LEL,
50 ans après la découverte du laser

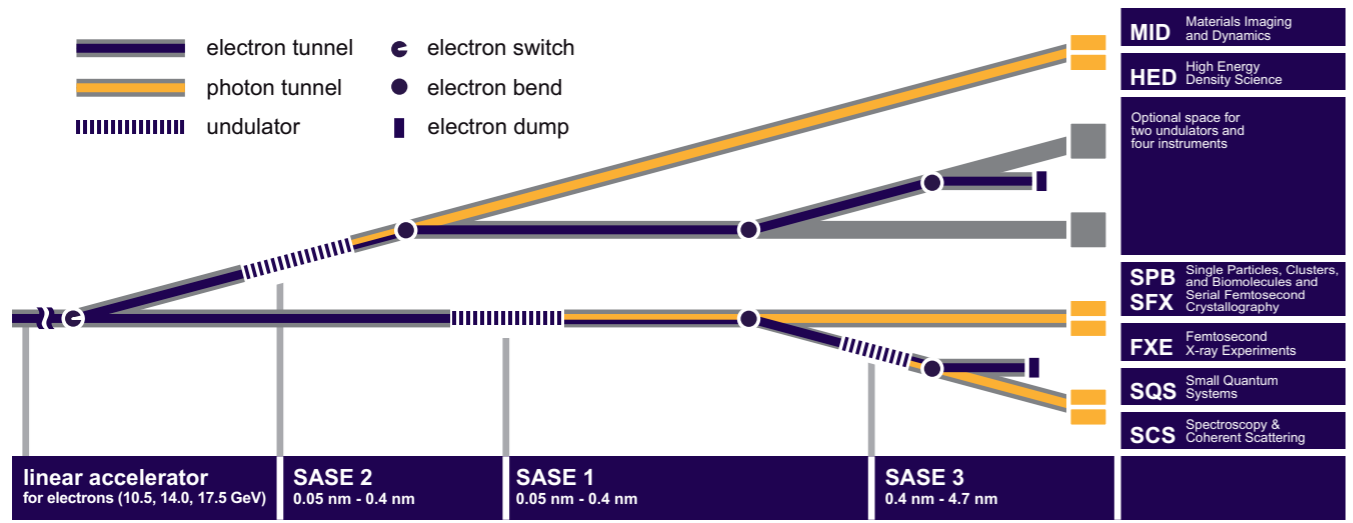
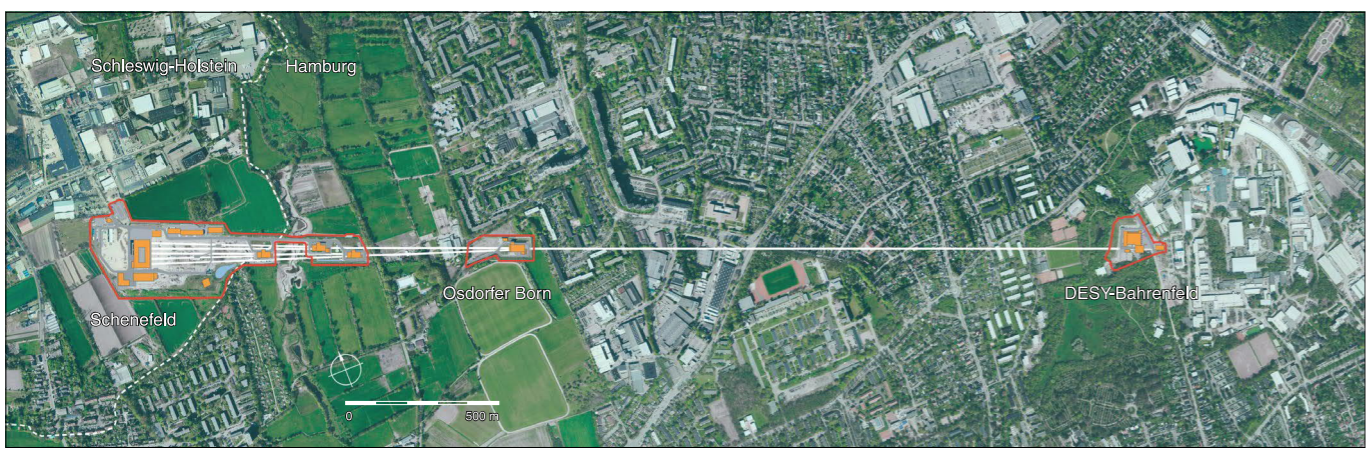


2 mJ, 1.4 Å
 1.5 Å saturation at 65 m (of 112 m)
 now 6 mJ
 96.7 % availability

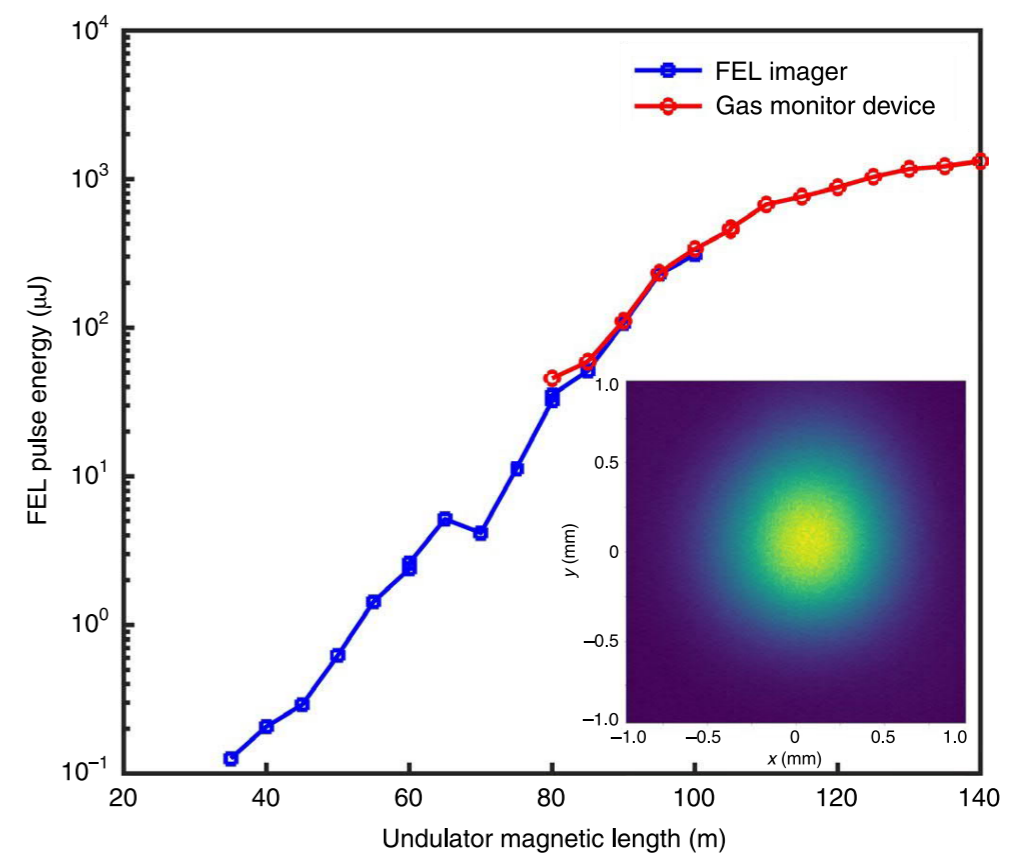


SASE FEL (hard X-ray) : European XFEL centre utilisateurs à haute cadence (MHz)

2017: Eu XFEL, 8-17.5 GeV, 0.05-0.2 nm,
 SC Linac, 2 km, 0.5 nC , 5 kA, $\epsilon_n = 0.4\pi$ mm.mrad,
 up to 5000 electron bunches/s
 6 W average power



W. Decking et al., Nature Photonics, 14(6), 391-397 (2020)

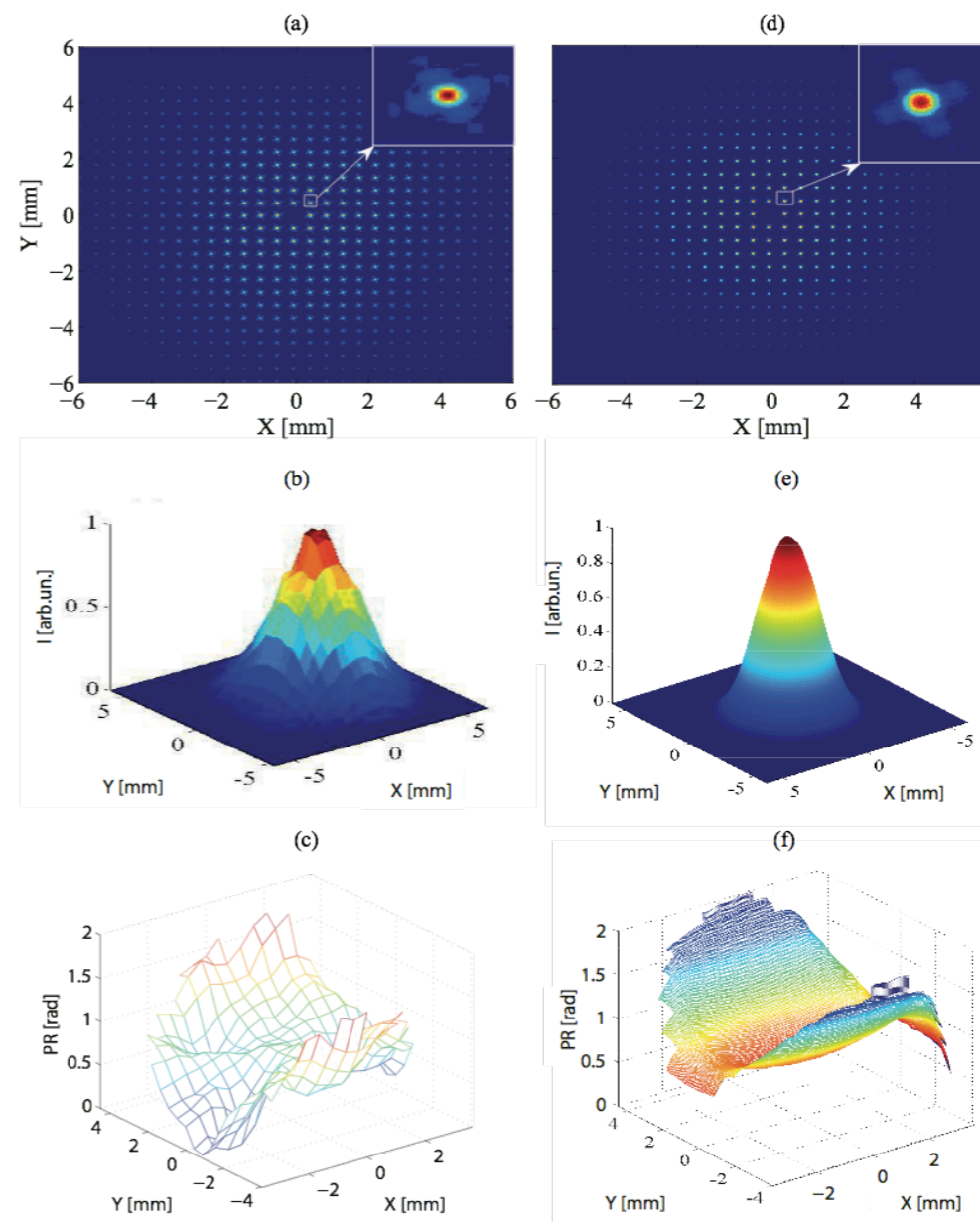
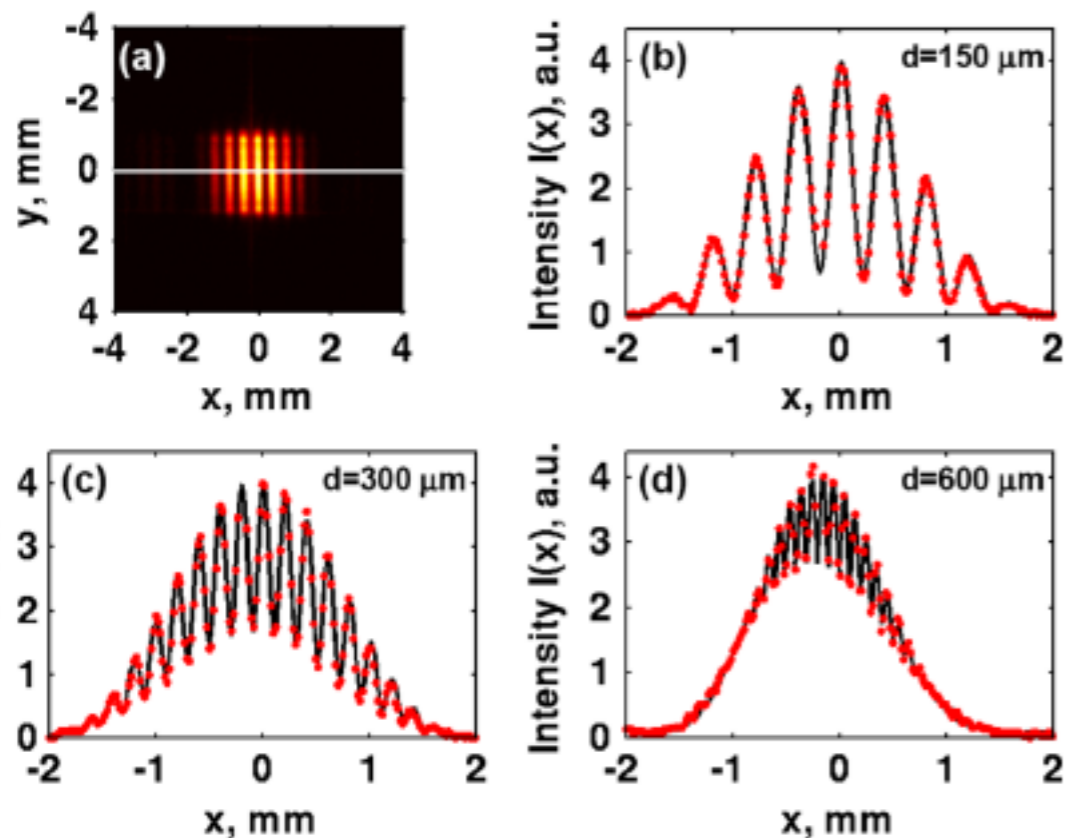


And coming LCLS II (USA), SHINE (China)

Propriétés du SASE

FLASH

SCSS Test Accelerator : 60-40 nm

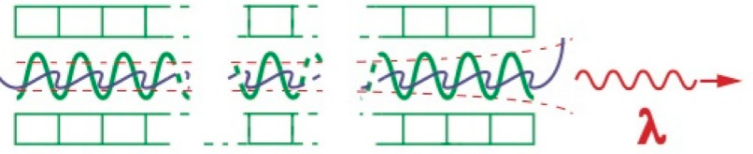


M. Kuhlmann et al, FEL06
 P. Mercère et al., Optics Letters, 28 (17), 1534-1536 (2003)
 A. Singer et al. PRL 101, 254801 (2008)

R. Bachelard et al., Phys. Rev. Lett. 106 (23), 234801 (2011)

Wavefront quality : ability to properly focus

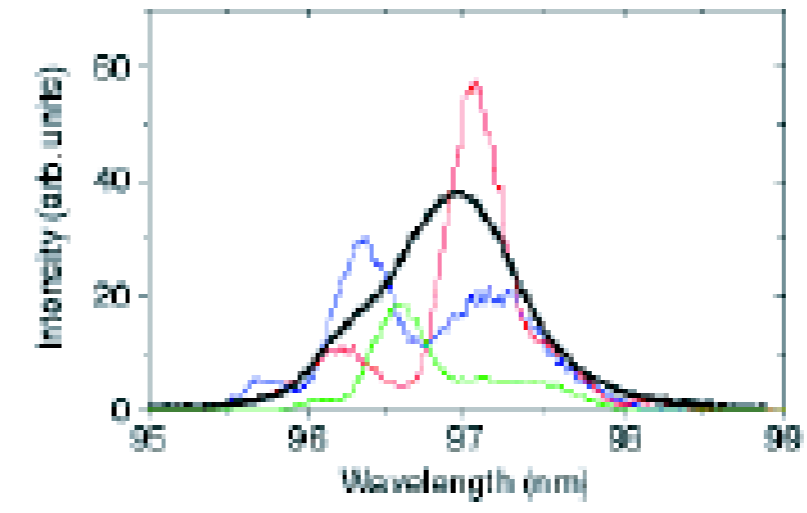
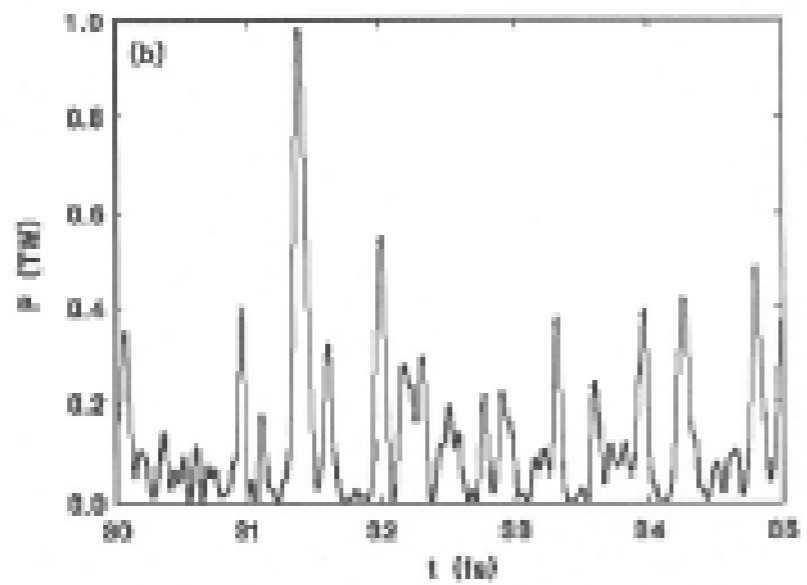
Propriétés du SASE



Cohérence temporelle limitée: démarrage à partir du bruit, bunching sur different trains du paquet => "spikes" dans les distributions spectrales et temporelles

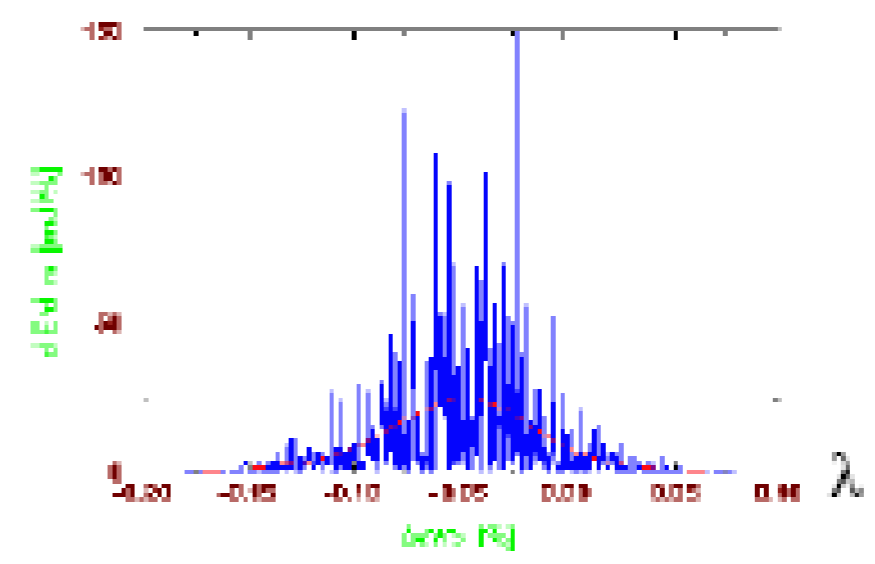
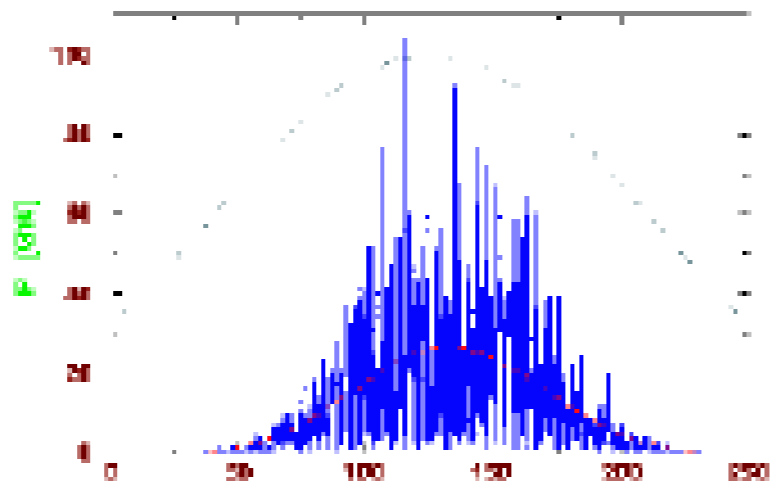
Longueur de coopération length : slippage sur une longueur de gain

Nber of spikes = longueur de paquet / longueur de coopération



$$L_{coop} = \frac{\lambda}{4\pi\rho_{FEL}}$$

- jitter d'une impulsion à l'autre



- Manipulation :
- single spike
- taper
- seeding / self seeding

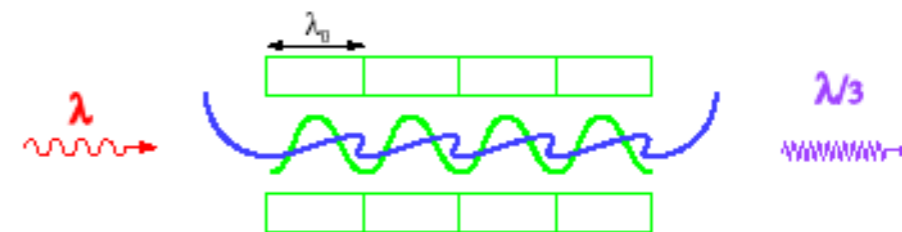
S. Reiche et al., NIMA 593 (2008) 45-48
 L. Giannessi et al., Phys. Rev. Lett. 106, 144801 (2011)

Seeding

Seeding : une interaction laser-électron

- Cohérence temporelle apportée par la seed laser externe (suppression de spikes, réduction de la largeur de raie)
- Meilleure stabilité (intensité, fluctuations spectrales, jitter)
- Reduction of the saturation length
- Bonne transverse coherence

- Seed : laser, HHG (160, 60, 30 nm)
- up-frequency multiplication (260 nm -> 4 nm at FERMI)



Interaction électron/ laser dans l'onduleur :

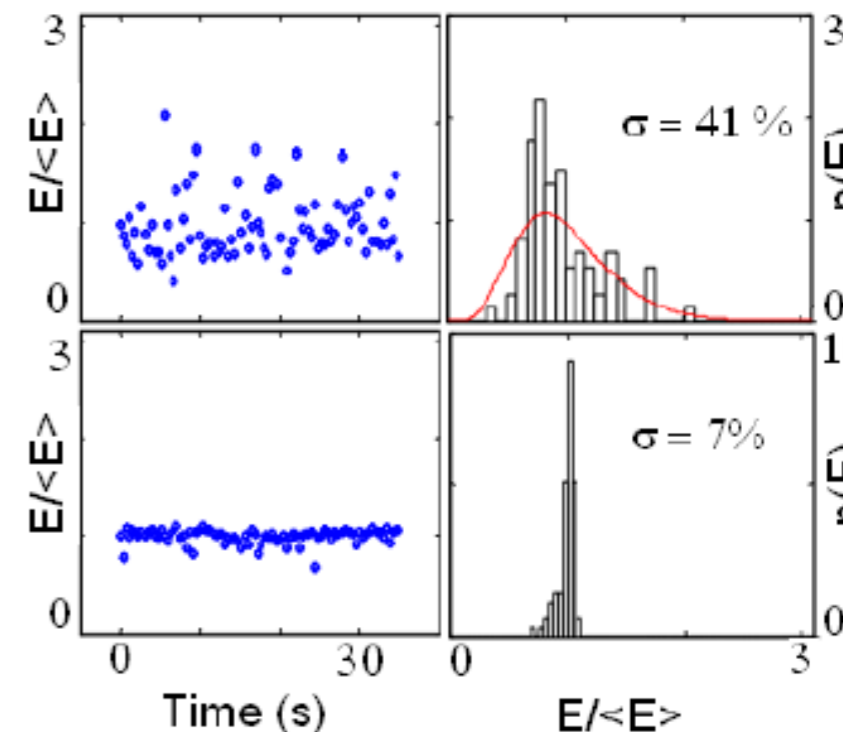
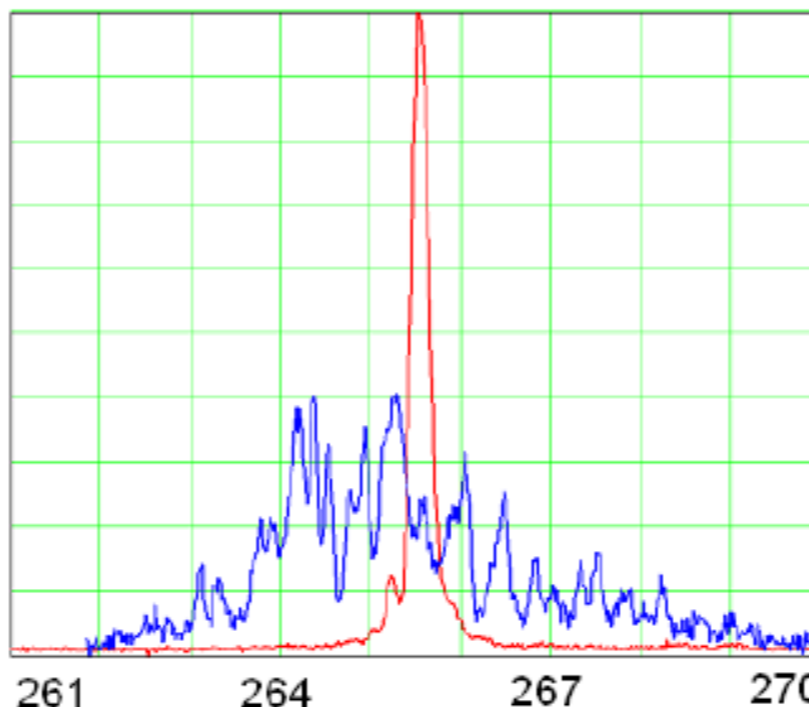
Modulateur: modulation en énergie imprimée par la seed à λ_{seed}

Chicane : modulation en densité, composantes de Fourier à λ_{seed}/n

Radiateur : émission de rayonnement cohérent

Modulation en énergie required ΔE pour un bunching suffisant à l'harmonique n
 harmonic $\sim n \sigma \gamma$

Détérioration du gain pour $n_{max} \sim 15$



L. H. Yu et al, PRL91/2003, 074801

L. H. Yu et al, Science 289, 2000, 932

High Gain Harmonic Generation



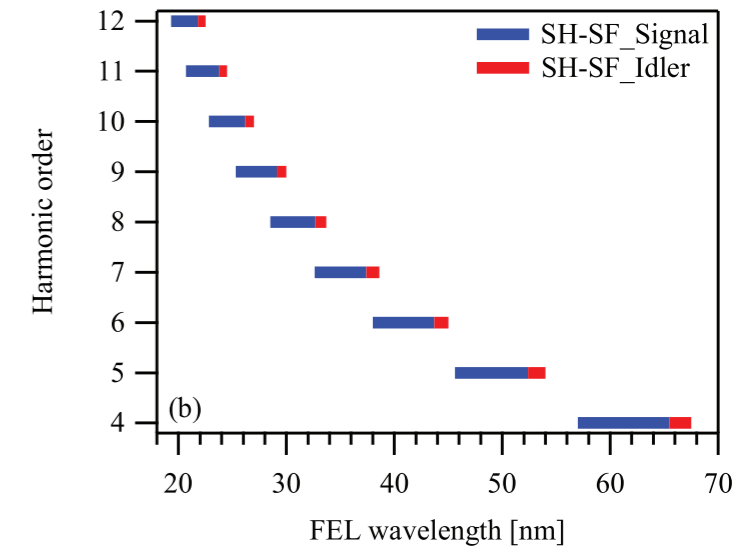
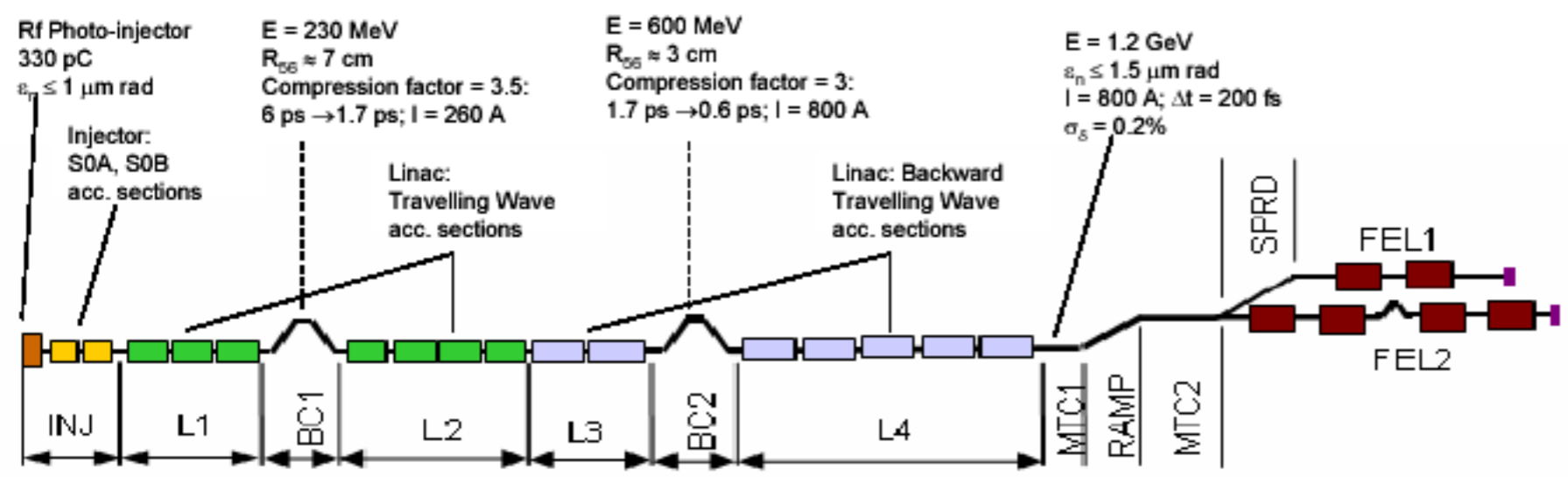
HG in cascade

Fresh bunch technique. $\lambda_{seed}/n \ln 2$

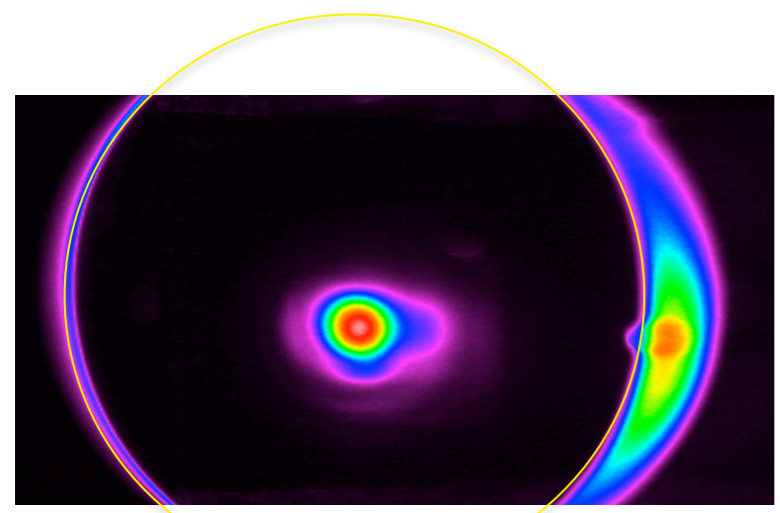
Max n ~60-70

LEL injecté (soft X-ray) : FERMI, premier centre serveur

FERMI : 4-60 nm, sub-ps to 10 fs, ~0.3 GW, polarisation variable, centaine de μJ / impulsion



E. Allaria et al. New J. Phys. . 145, 112009, 2012



Allaria E et al 2012 Highly coherent and stable pulses from the FERMI seeded free-electron laser in the extreme ultraviolet Nature Photon. 6 699–704

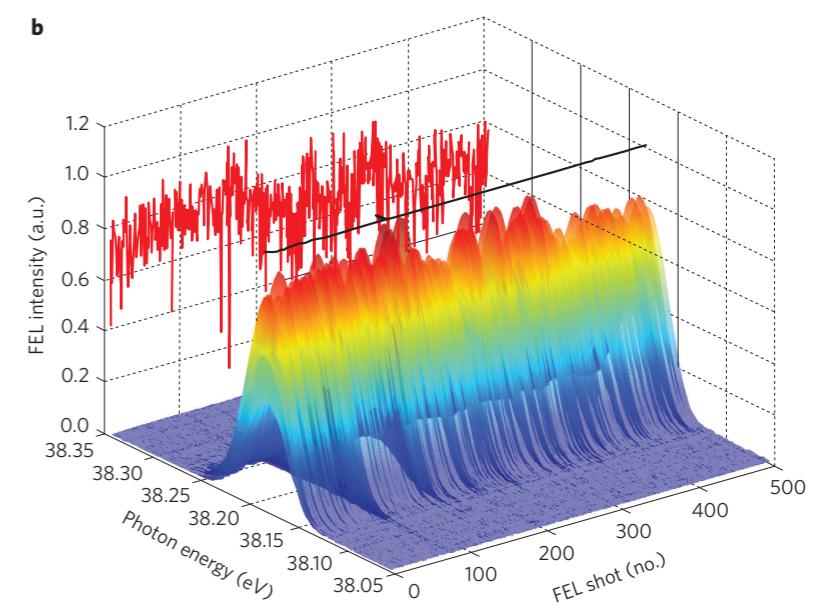
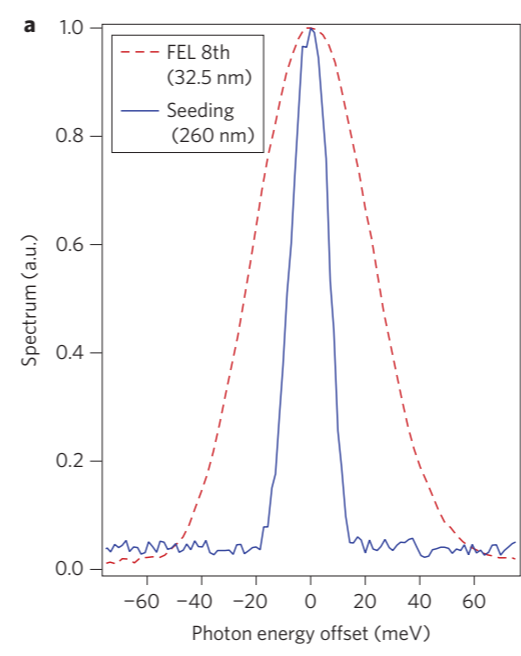
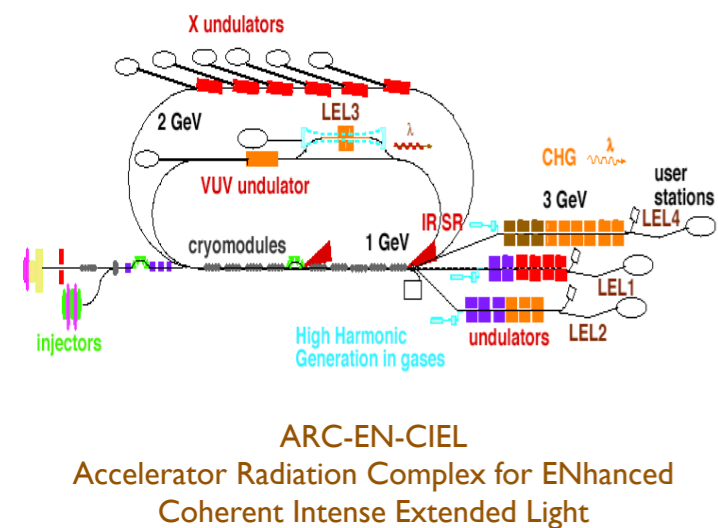


Figure 4 | Single-shot and multi-shot spectra at 32.5 nm. a, Measured FEL and seed laser spectrum (dashed red and continuous blue lines respectively). b, Acquisition of 500 consecutive FEL spectra.

Progrès en injection directe de LEL

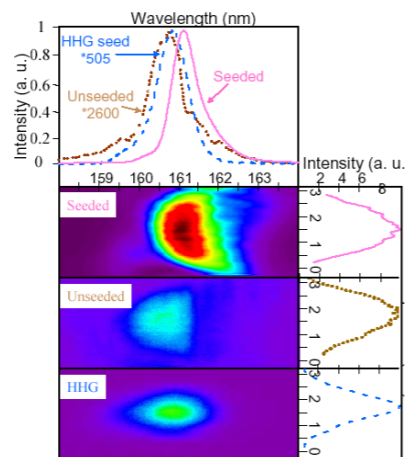
Avec une seed HHG

Concept



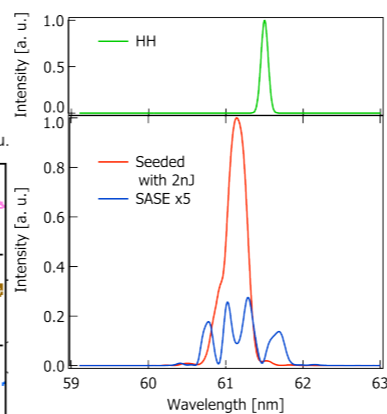
D. Garzella et al., Nucl. Inst. Meth. A 528, 502 (2004)

HHG 160 nm seeding, SCSS Test Acc, up to H7



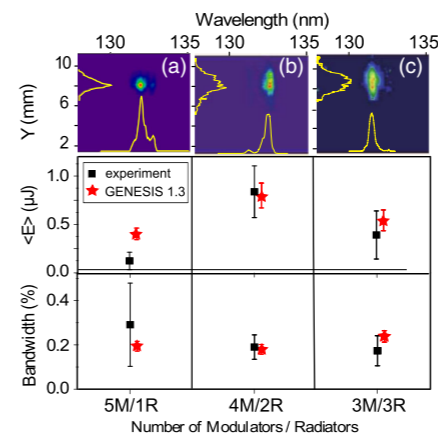
G. Lambert et al., Nature Physics Highlight, (2008) 296-300

HHG 60 nm seeding, SCSS Test Acc



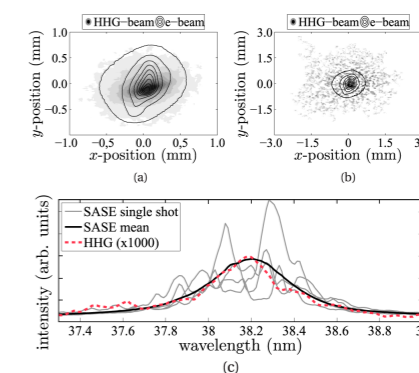
T. Togashi et al., Optics Express, 1, 2011, 317-324

HHG 160 nm seeding, SPARC



M. Labat, et al., Phys. Rev. Lett. 107, 224801 (2011)

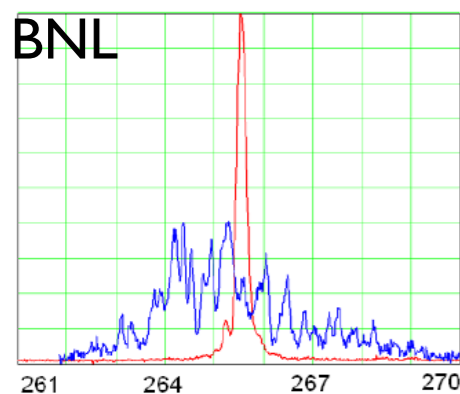
HHG 38 (19)nm seeding, SFLASH



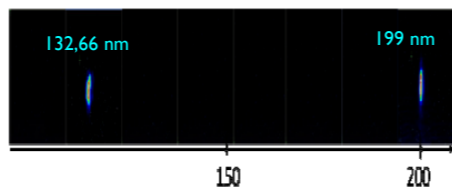
S. Achkermann et al, PRL 111, 114801 (2013)

2000 2002 2004 2006 2008 2010 2012 2014 2016 2018

Avec une seed laser

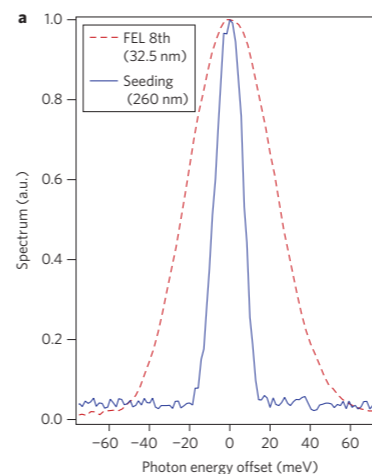


L. H. Yu et al, Science 289, 2000, 932



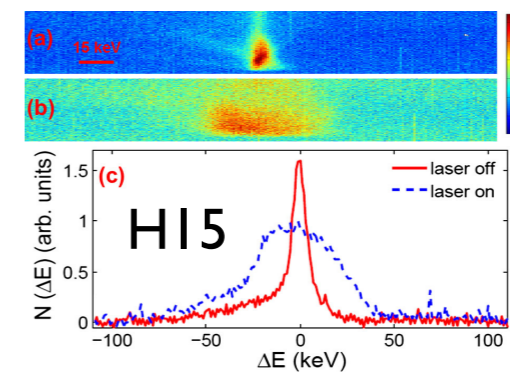
L. Giannessi et al., FEL 2010, Malmo, Sweden

FERMI FEL 1 H3-13
FERMI FEL 2 H65



Allaria E et al 2012 Nature Photon. 6 699-704

HI92
L. Giannessi, FEL prize talk, FEL conf, Basel, Aug. 2014, Switzerland

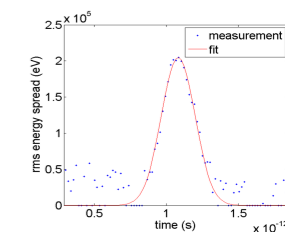


D. Xiang et al., Phys. Rev. ST Accel. Beams 16, 110701 (2013)

Dalian FEL
50-188 nm

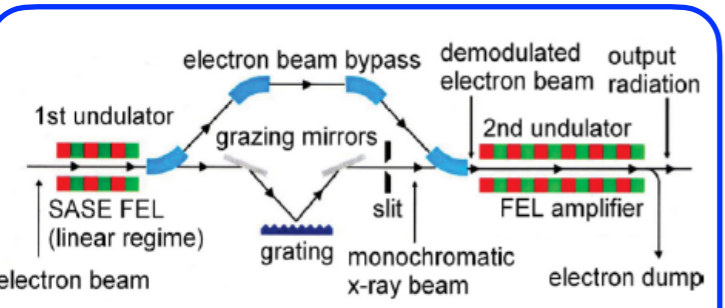
sFLASH, H8

SXFEL
50-188 nm

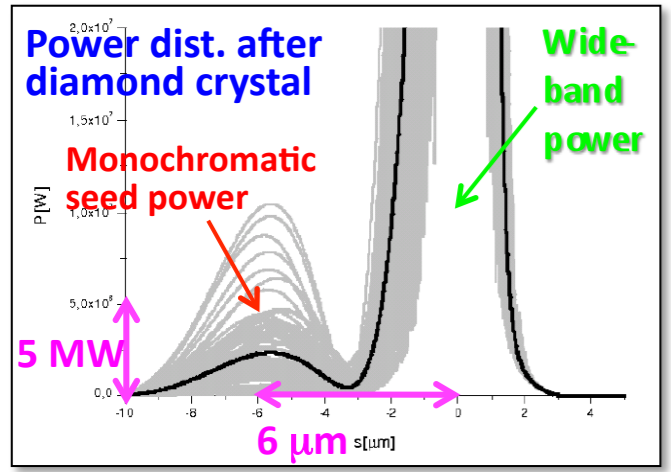


Concept

Self seeding

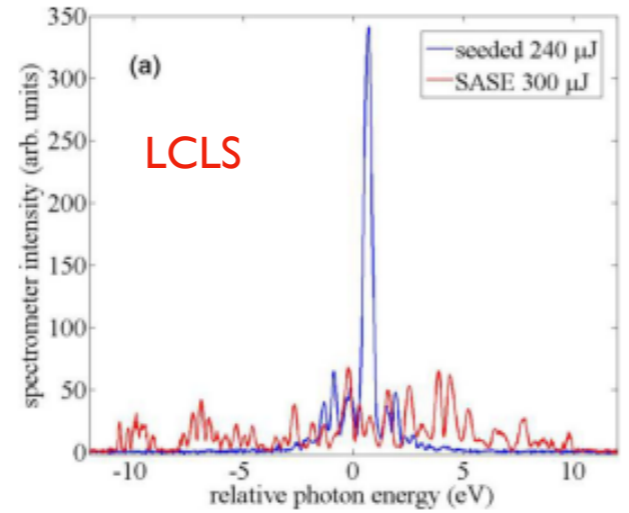


Feldhaus et al., *Opt. Comm* 140 (1997) 341



Geloni, *Journal. Modern Optics*, 58, 16, 2011

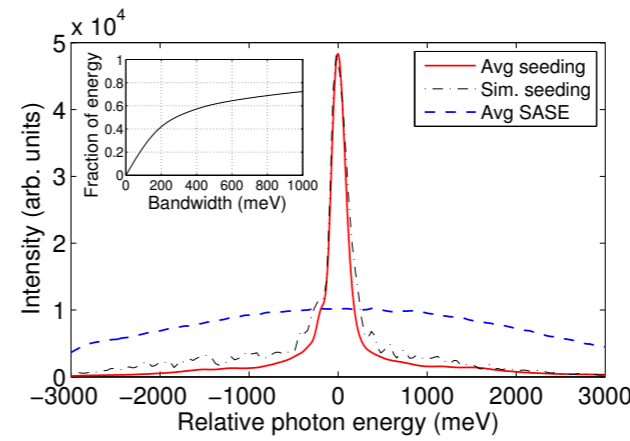
Demo hard X-ray (crystal)



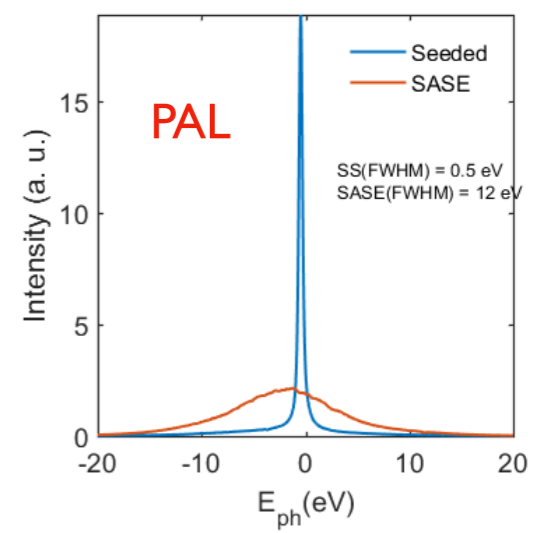
LCLS

C. K. Min, FEL 2019

Demo soft X-ray Grating

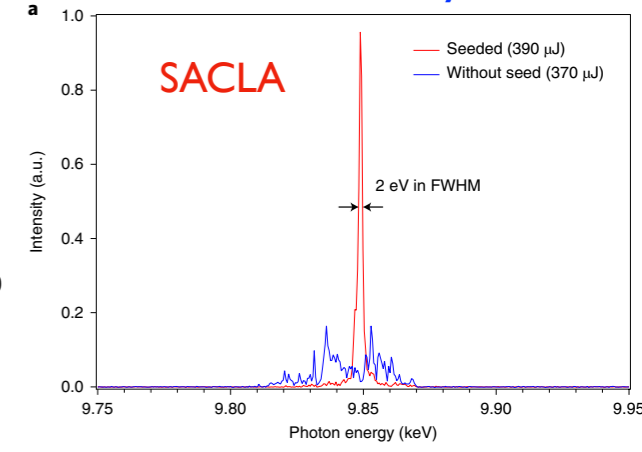


D. Ratner et al., *Phys. Rev. Lett.*, 114 (5), 054801, 2015.

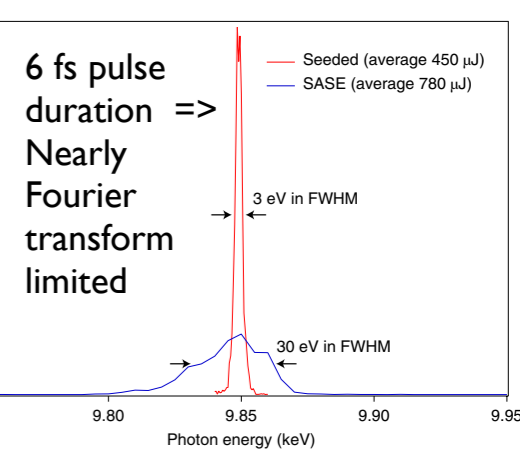


PAL

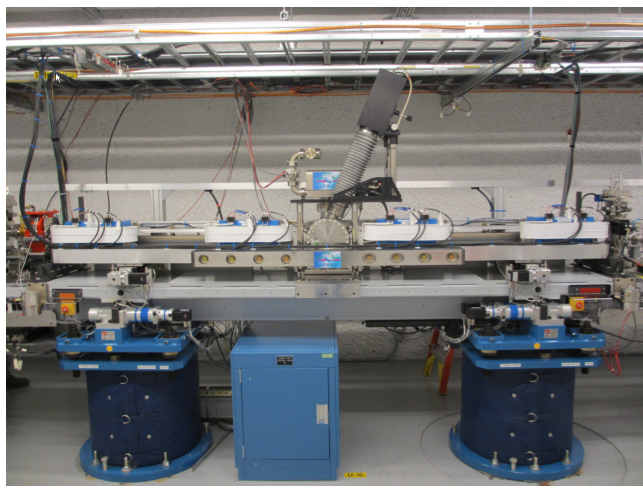
Demo hard X-ray Channel cut crystal



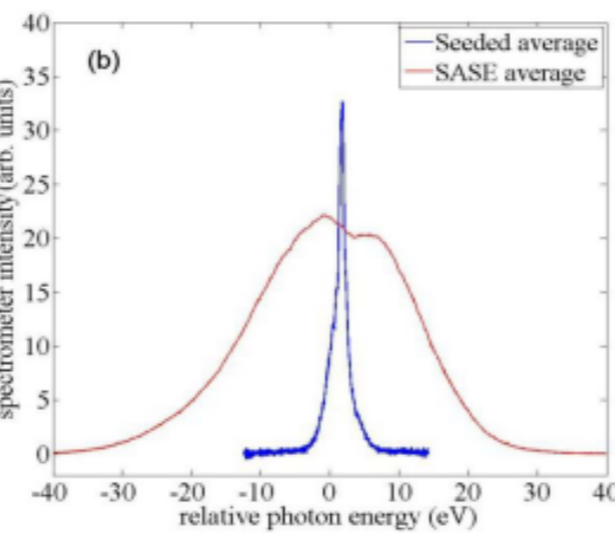
SACLA



I. Inoue et al., *Nature Photonics* 13, 319-322 (2019)

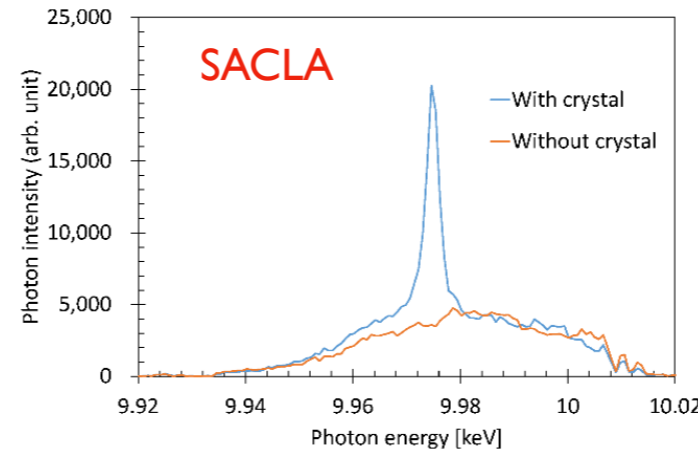


2000 2010



J. Amann et al., *Nature Photonics* 6, 693-698 (2012)

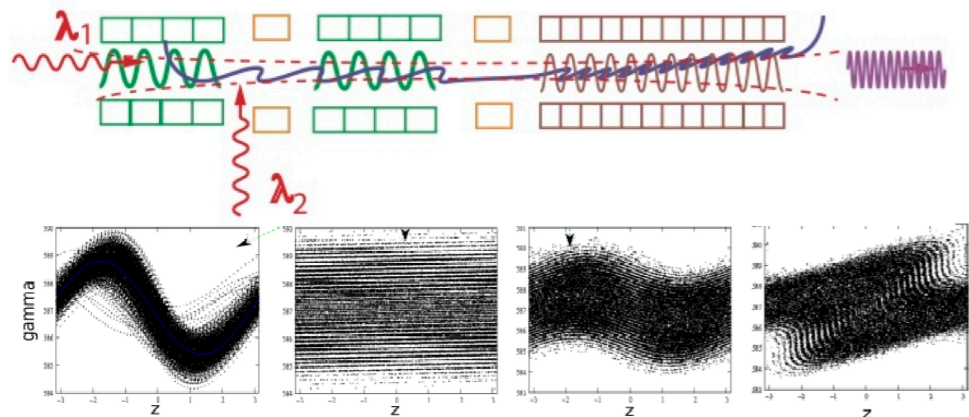
T. Inagaki, et al *Proceedings of IPAC2014*, 15-20.



SACLA

2012 2014 2016

Echo Enabled Harmonic Generation

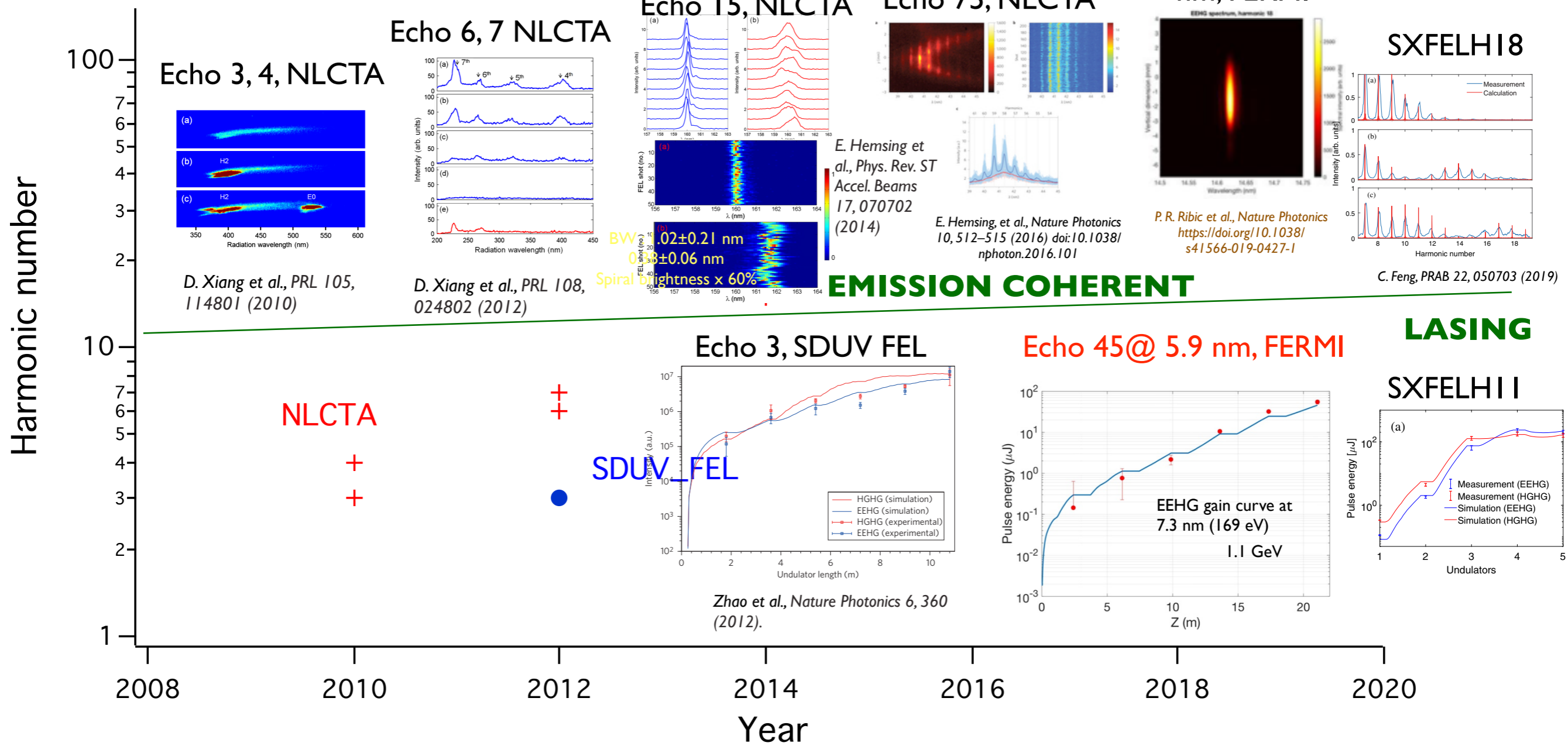


$$\frac{1}{\lambda_{echo}} = \frac{1}{\lambda_1} + \frac{1}{\lambda_2}$$

Harmoniques d'ordre élevé atteinte de façon compacte

G. Stupakov, *PRL* 102, 074801 (2009)

Echo 101 @2.6 nm, FERMI

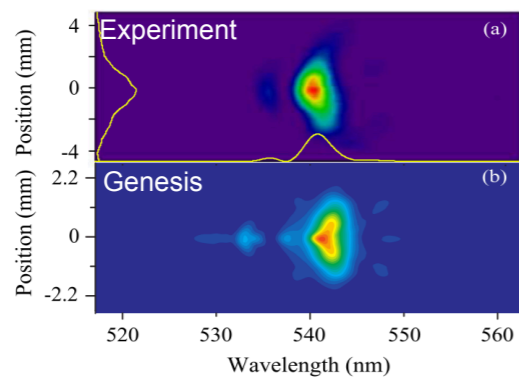
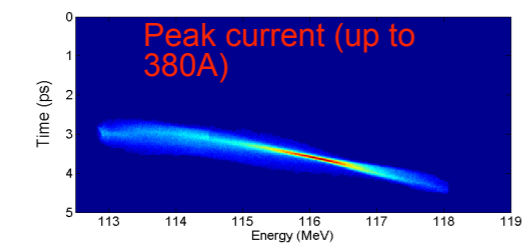


Vers une impulsion attoseconde unique

Energy chirp+ undulator taper

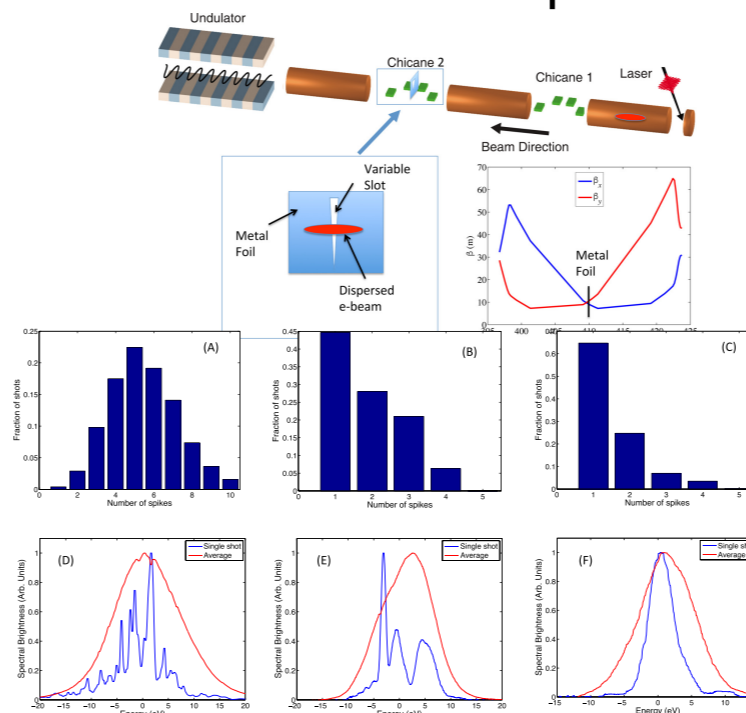
Spike duration :

$$l_c = \lambda \frac{L_g}{\lambda_u}$$



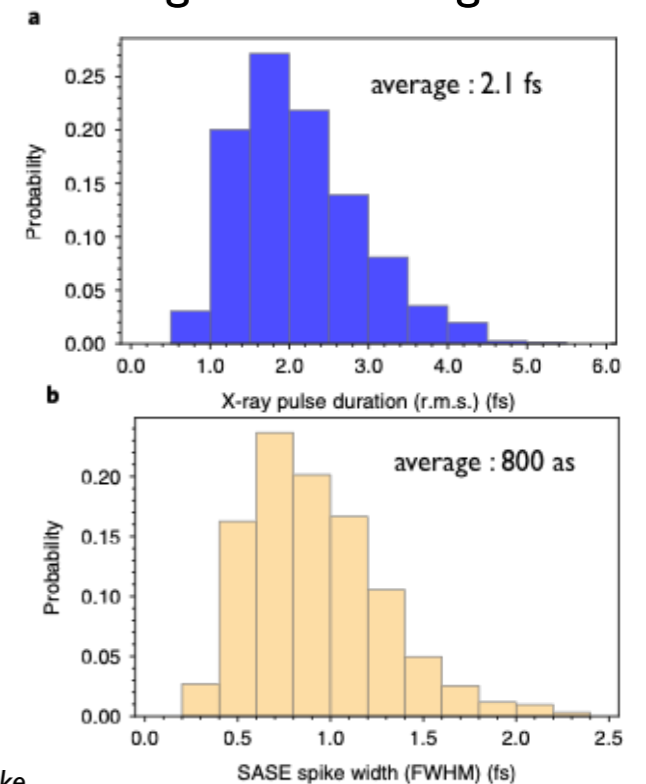
L. Giannessi et al., Phys. Rev. Lett. 106, 144801 (2011)

Slotted emittance spoiler



A. Marinelli et al., Experimental demonstration of a single-spike hard-X-ray free-electron laser starting from noise, Appl. Phys. Lett. 111, 151101 (2017)

Angular streaking



N. Hartmann et al., Attosecond time-energy structure of X-ray free-electron laser pulses, Nature Photonics 12, 215-220 (2018)

2008

2010

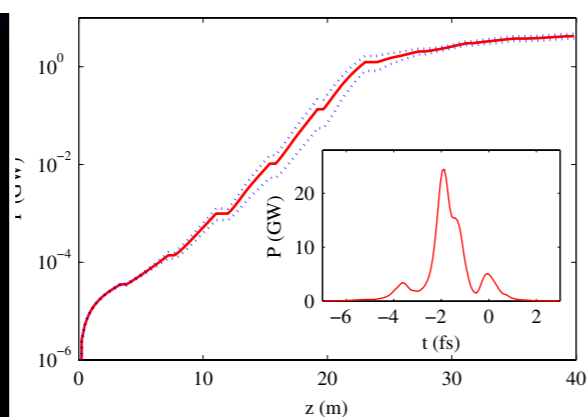
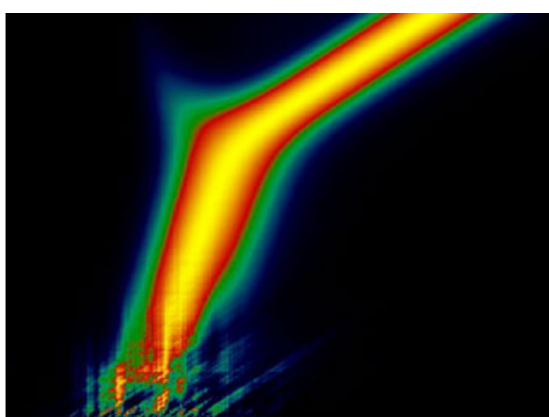
2012

2014

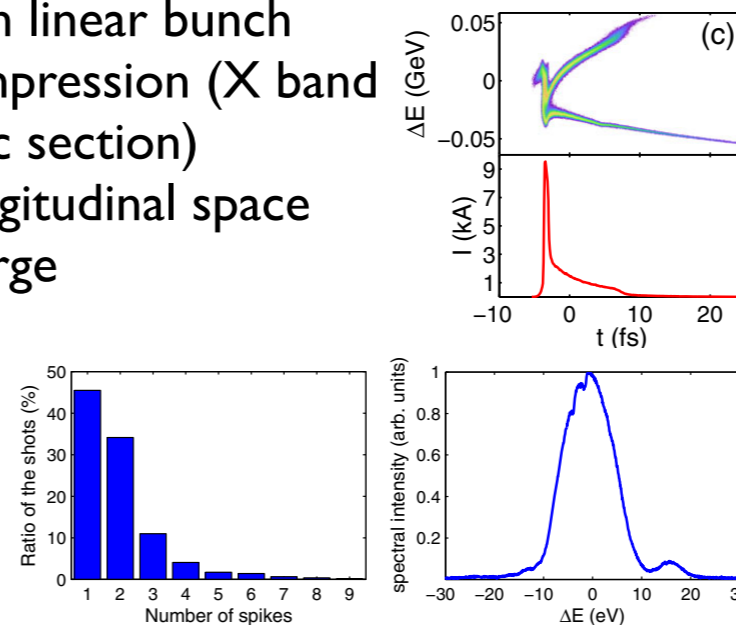
2016

2018

2020



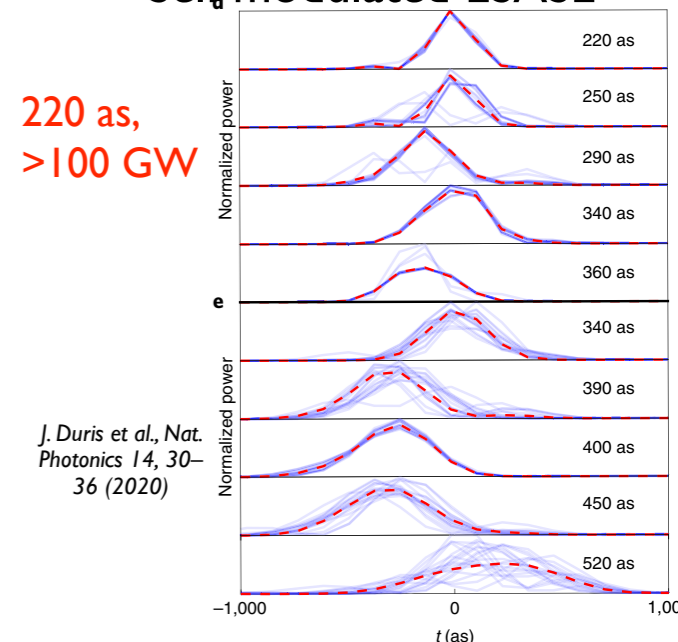
Non linear bunch compression (X band linac section)
Longitudinal space charge



S. Huang et al., PRL 119, 154801 (2017)

Self modulated ESASE

220 as, >100 GW



J. Duris et al., Nat. Photonics 14, 30-36 (2020)

S. Reiche et al., NIMA 593 (2008) 45-48

Low charge short electron bunch

Fonctionnement multi-couleurs

ACO (optical klystron)

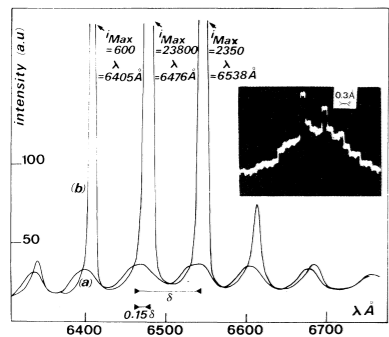


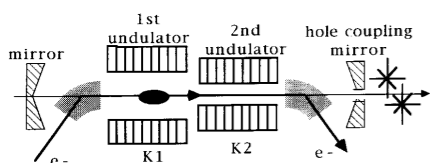
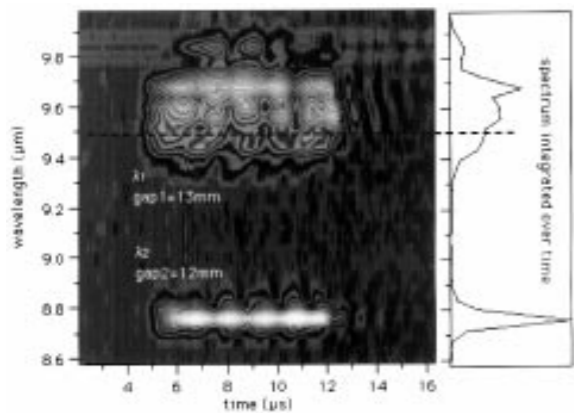
FIG. 4. Spectra of the cavity output radiation under two conditions: curve *a*, cavity detuned (no amplification) and curve *b*, cavity tuned (laser on).

M. Billardon et al., Phys. Rev. Lett. 51, 1652, (1983)

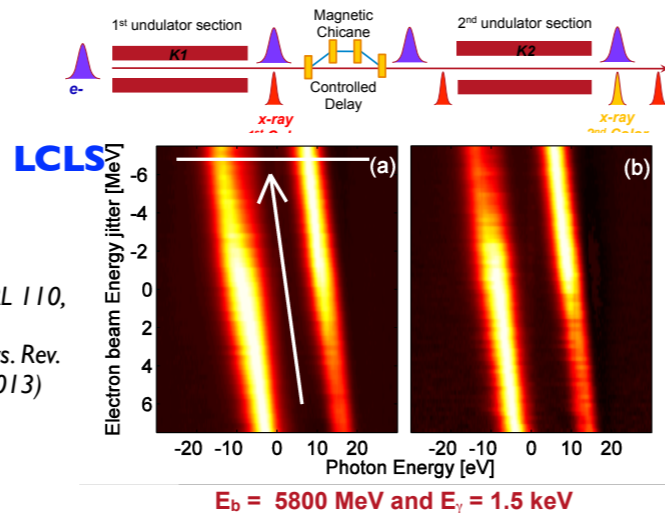
1983 // 2000

CLIO

R. Prazeres, et al., Eur. Phys. J. D3, 87 (1998)



Delay (chicane) and different K_u

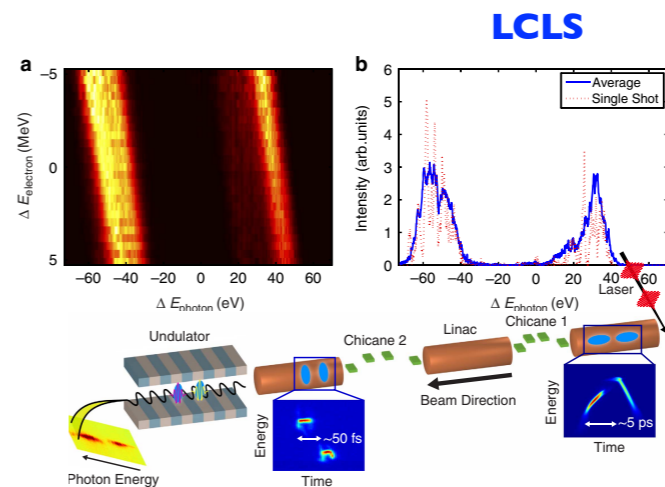


A.A. Lutman et al., PRL 110, 134801 (2013)
A. Marinelli et al., Phys. Rev. Lett. 111, 134801 (2013)

$E_b = 5800 \text{ MeV}$ and $E_\gamma = 1.5 \text{ keV}$

2012 2014

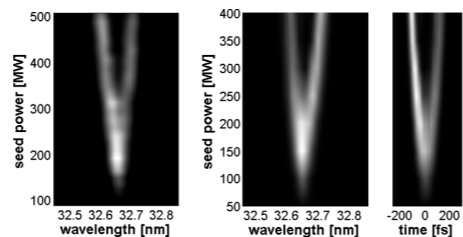
Twin bunches



2016

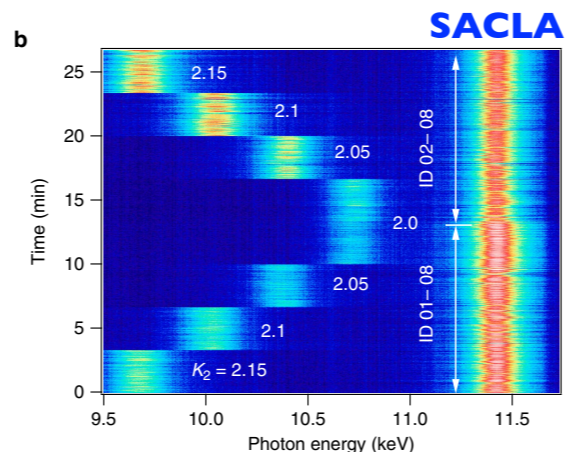
2018

Seeded pulsed splitting FERMI

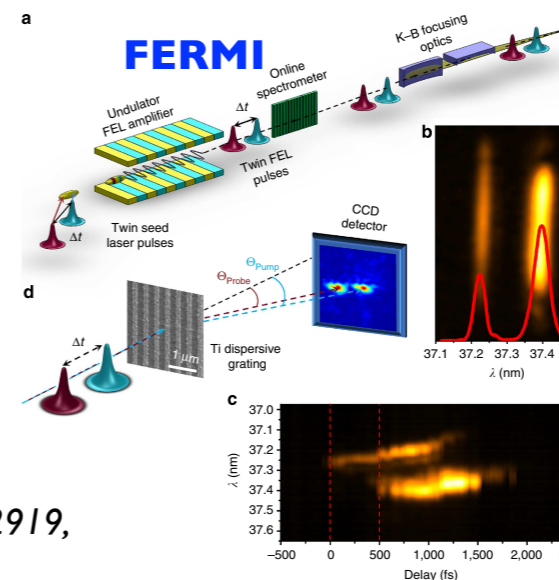


G. De Ninno et al. PRL, 110, 064801 (2013)

M. Labat et al. Phys. Rev. Lett. 103 (2009) 264801

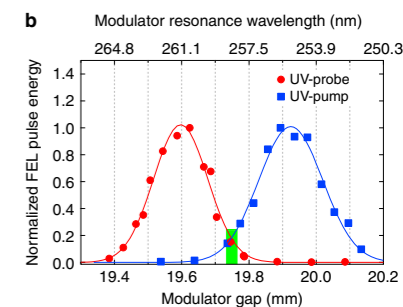
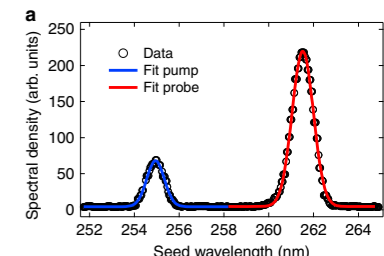


T. Hara et al., Nature Communications, 4, 2919, 2013



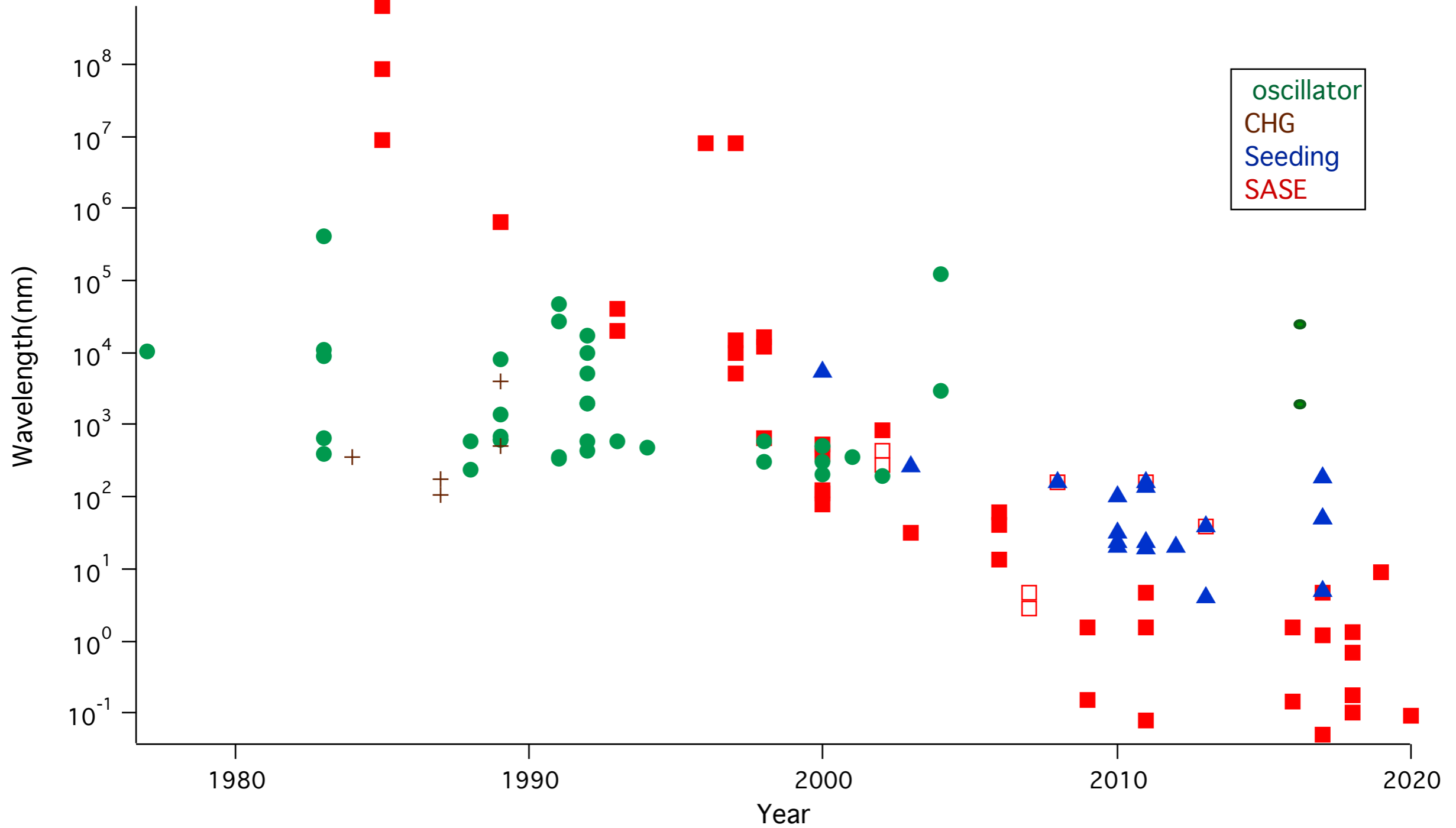
E. Allaria et al., Nature Com. 4, 3476 (2013).

A. Petralia et al., Phys. Rev. Lett. 115, 014801 (2015)



E. Ferrari et al., Nature Photonics 2016

Explosion de X FEL accordables



Panorama des LEL courte longueur d'onde

VUV- soft X ray
hard X ray

Swiss FEL, 5.8 GeV,
0.1-7 nm (now 4.1 nm) 2016-7

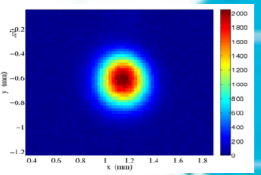
Pohang FEL, 3-15 GeV,
0.06-4.5 nm 2016

Dalian FEL, seeded, 0.3 GeV
50-180 nm, 50 Hz, 2017

SACLA, 8 GeV,
0.08 nm SCSS

MaRIE, 20 GeV, 50 keV, 30 fs

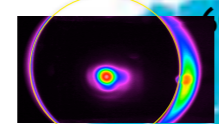
LCLS 2009



BNL FEL
LEUTL

GALAXIES

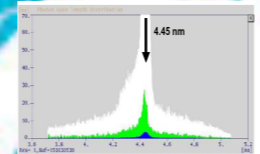
FERMI, seeded, 1.2 GeV,
60-4 nm



SPARC

SDUV FEL

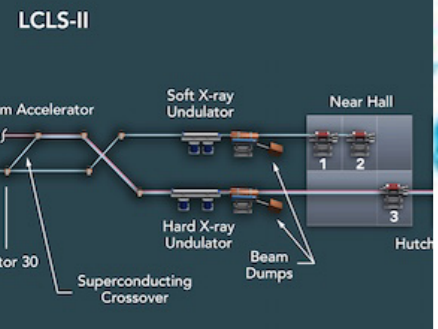
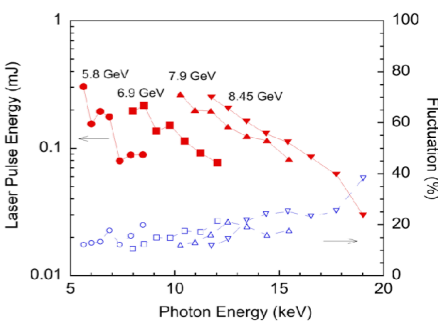
FLASH FLASH-II



SXFEL Tunnel completion, 2016.4

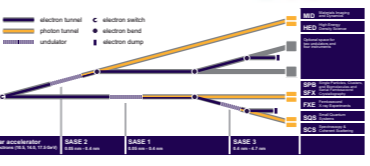
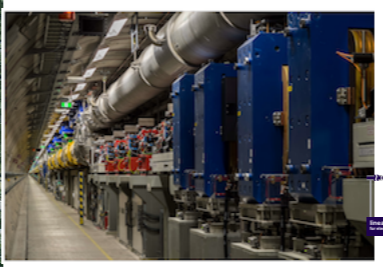
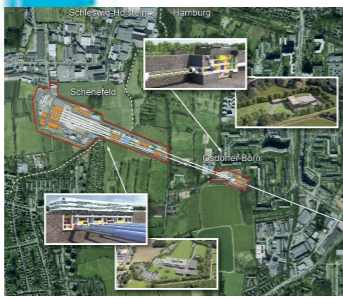


Shanghai FEL : SXFEL
(0.84- 1.3 GeV, 9-4 nm,
HXFEL 6 GeV)



LCLS-II, 4 GeV, 6-0.12 nm, CW

10^{12} ph/s, peak
brilliance : $5 \cdot 10^{33}$ ph/s/
mrad²/mm²/0.1%
Up to 27 000 pulses/s

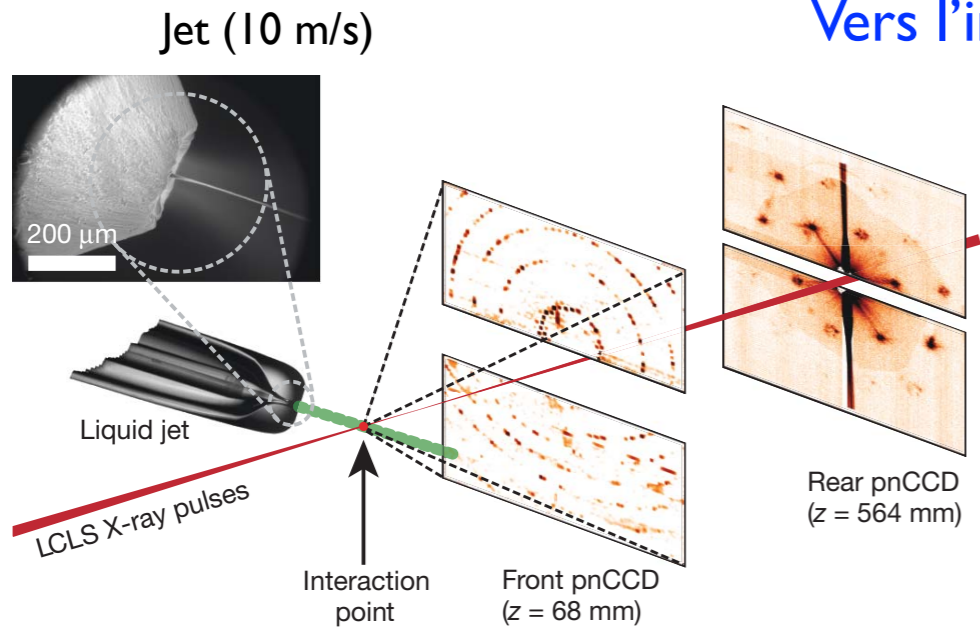


European FEL, 17.5 GeV, 0.05-0.2 nm,

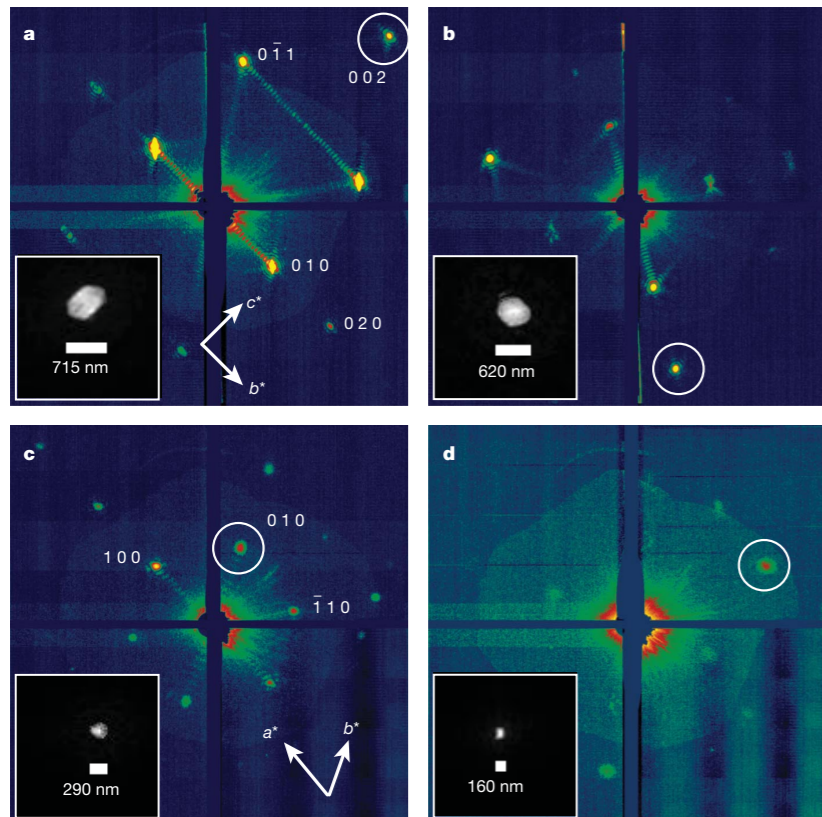
2017

Exemple d'application

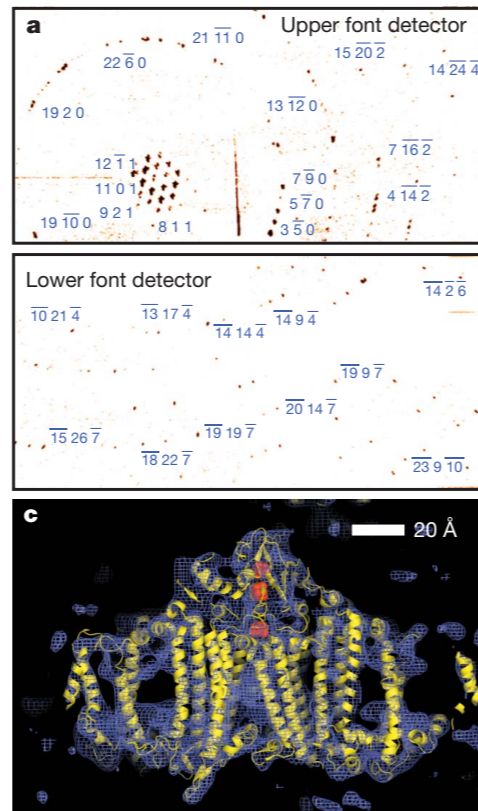
Vers l'imagerie des cellules vivantes



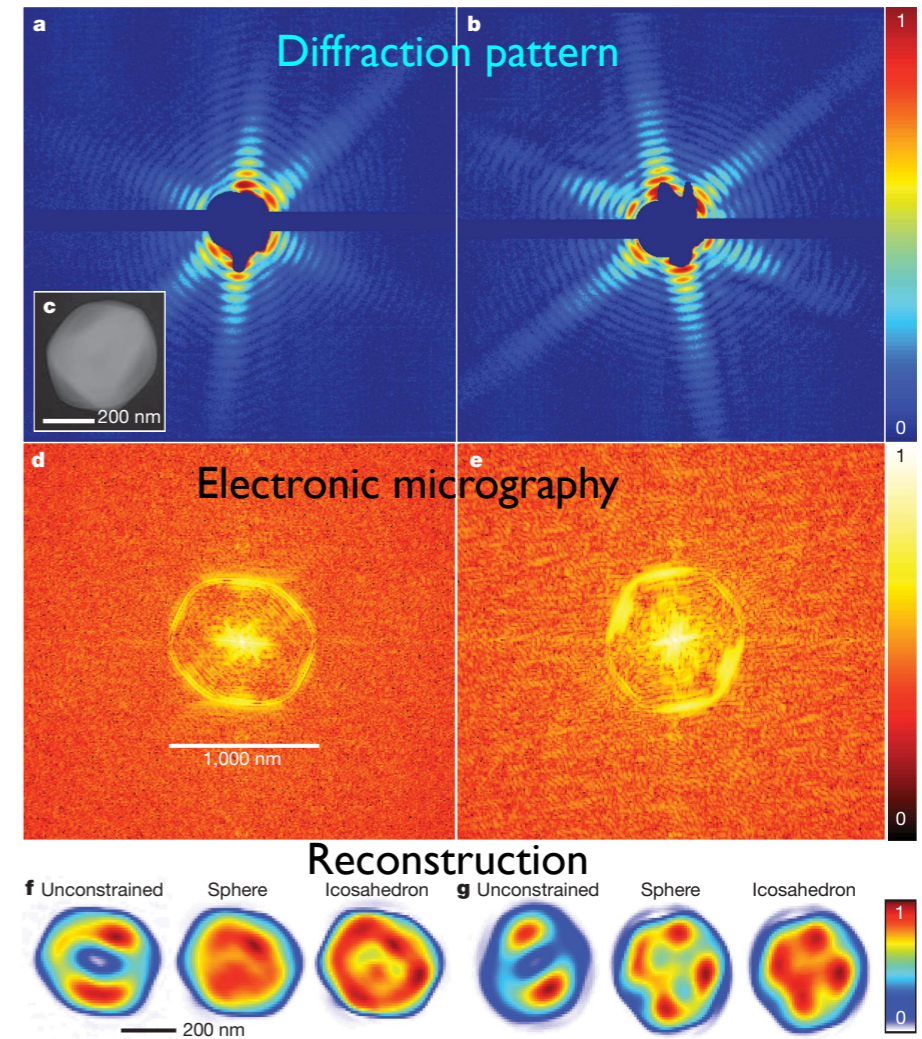
Membran protein photosystem I



Diffraction pattern



Mimivirus (*Acanthamoeba polyphaga*) : (diameter of 0.75 μm)



M. M. Seibert et al., Single mimivirus particles intercepted and imaged with an X-ray laser, *Nature*, 470, 2011, 78

H. Chapman et al., Femtosecond X-ray protein nanocrystallography, *Nature*, 470, 2011, 73

Concepts alternatifs d'accélération

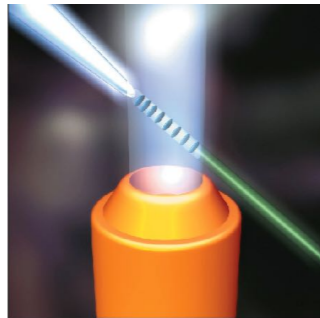
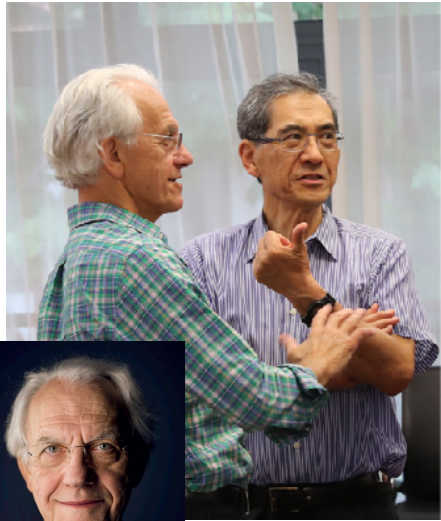
Acceleration Laser Plasma

Acceleration diélectrique

Inverse Free Electron Laser

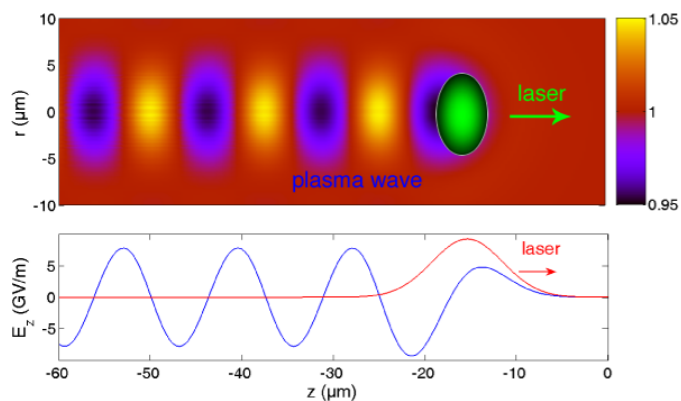


G. Mourou T. Tajima



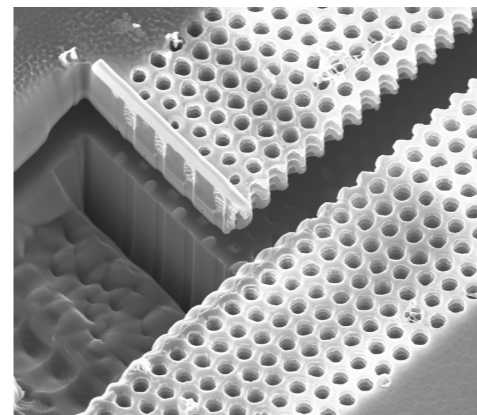
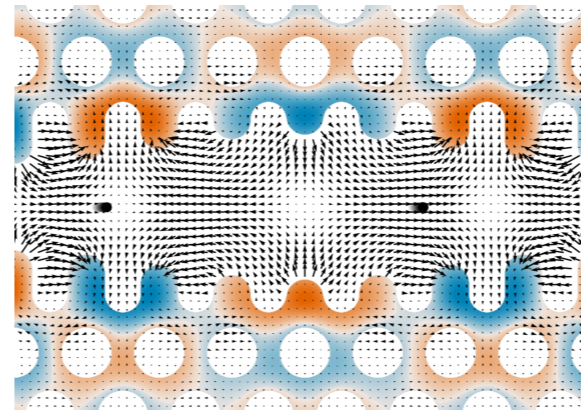
Laser wakefield in resonance with the plasma : $\tau_{\text{laser}} \sim T_p/2$
 => perturbation of the electronic density
 longitudinal accelerator field

T. Tajima and J. M. Dawson, Phys. Rev. Lett. 43, 267 (1979) 267

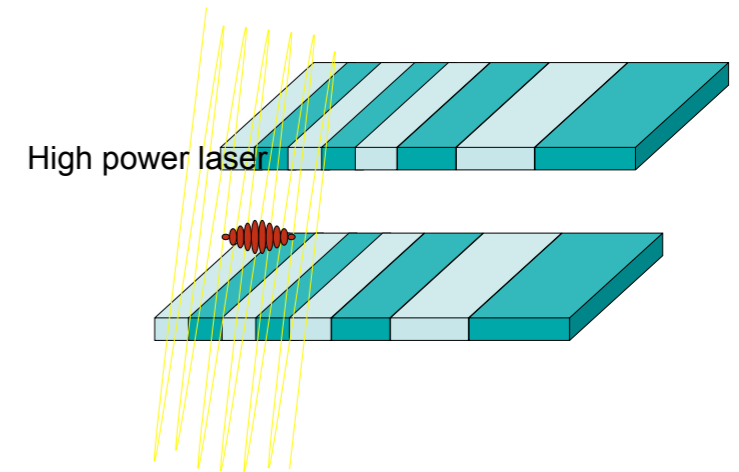


- few pC
- Strongly diverging (1 mrad)
- small size
- larger energy spread (1 %)
- low repetition rate

B. Naranjo et al. Phys. Rev. Lett. 109, 176803 (2012)
 J. Breuer, et al. Phys. Rev. Lett. 111, 134803 (2013)
 E. A. Peralta et al., Nature Lett. 503, 2013

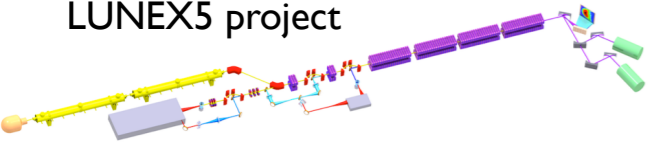


W. Kimura et al. PRL92, 154801 (2004)
 P. Musumeci et al. PRL94, 154801 (2005)
 P. Musumeci EAAC, Elba, May 2013



$$\gamma_r^2 \cong \frac{\lambda_w}{2 \times \lambda} \cdot \left(1 + \frac{K^2}{2} \right)$$

LUNEX5 project

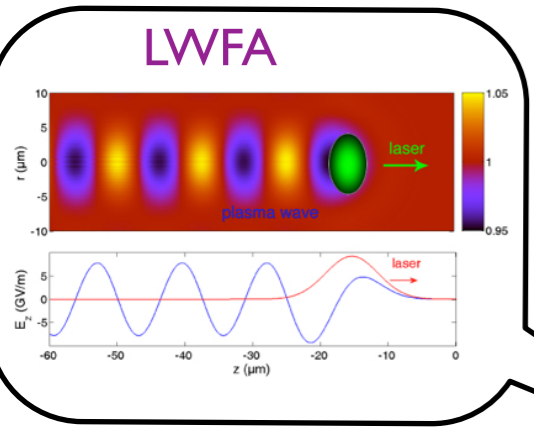
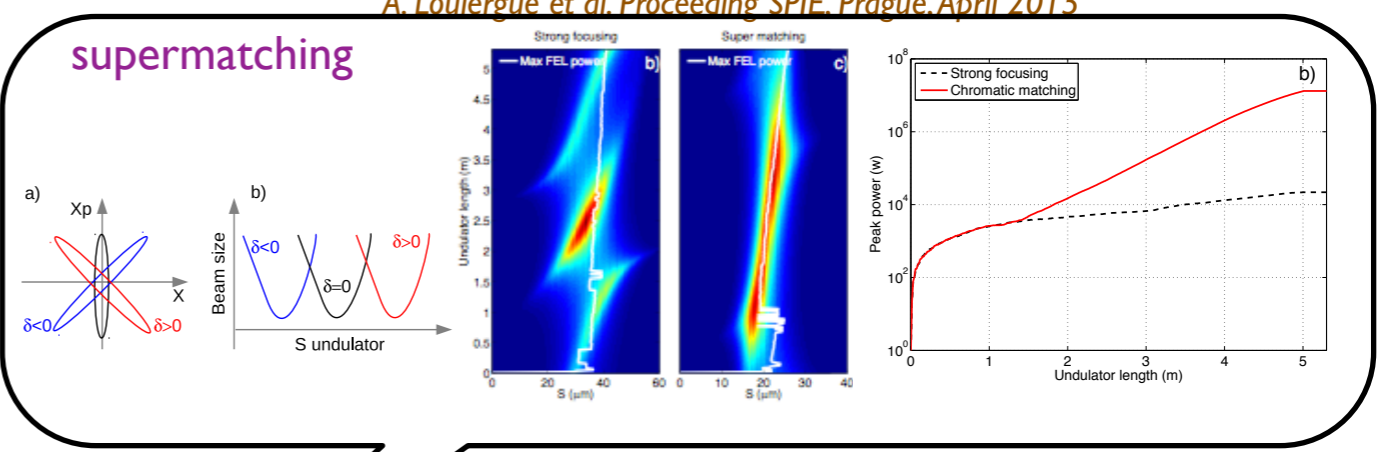
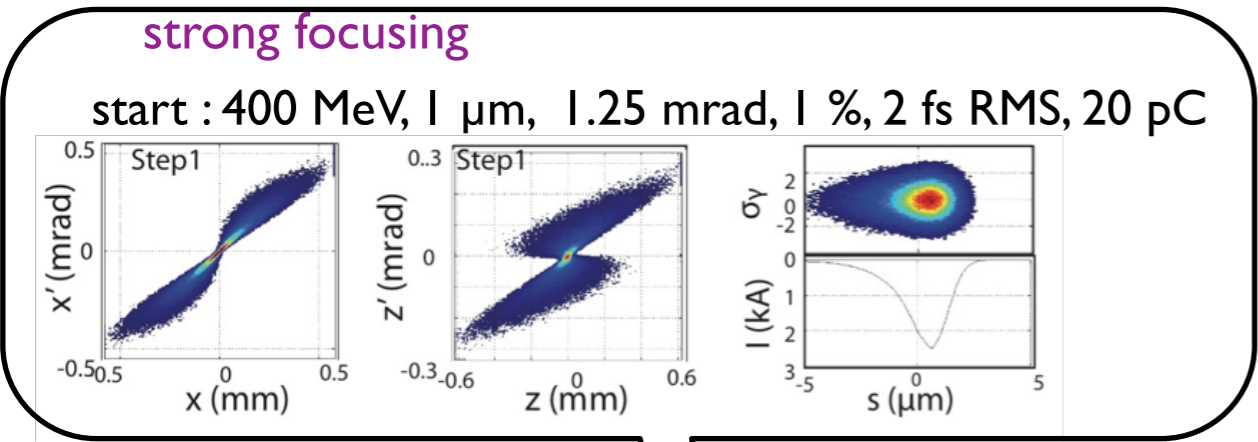


Expérience test COXINEL

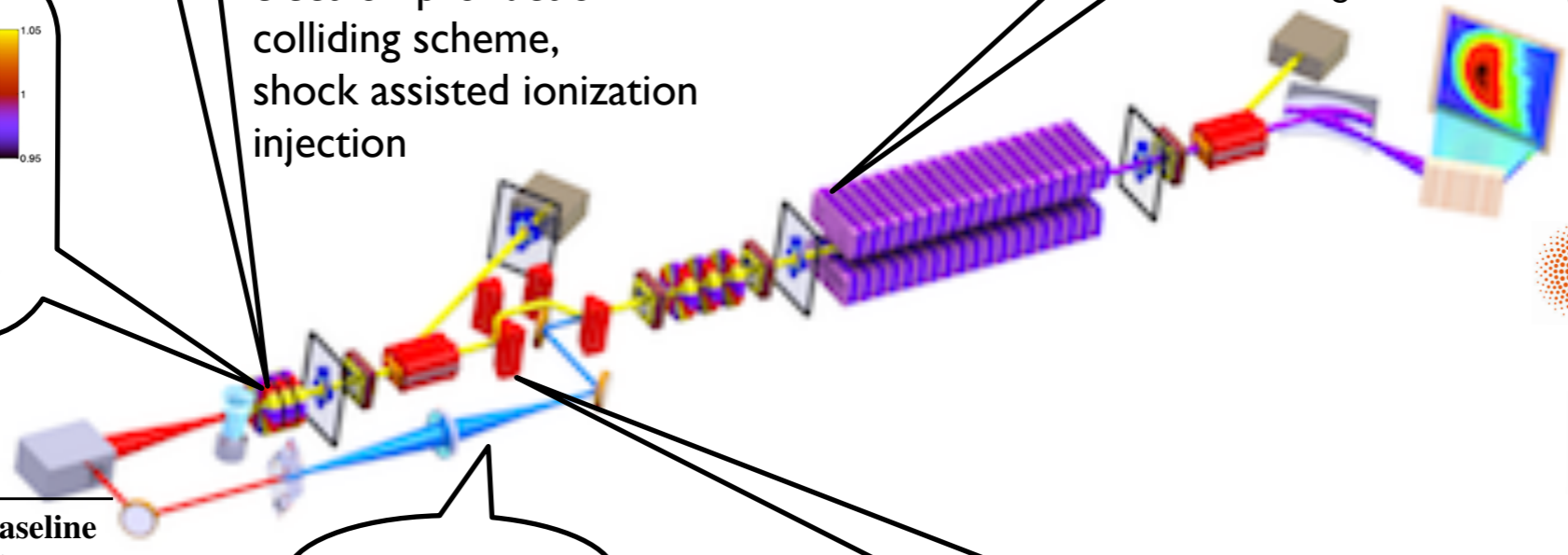
Collaboration SOLEIL / LOA/ PhLAM

free electron Laser Using a New accelerator for the Exploitation of X-ray radiation of 5th generation

M. E. Couprie et al., Proceedings FEL'14, Basel, Switzerland 574-579 (2014)
 M. E. Couprie et al., Proceedings FEL'14, Basel, Switzerland 569-573 (2014)
 A. Loulergue et al. Proceeding SPIE, Prague, April 2015



electron production
 colliding scheme,
 shock assisted ionization
 injection

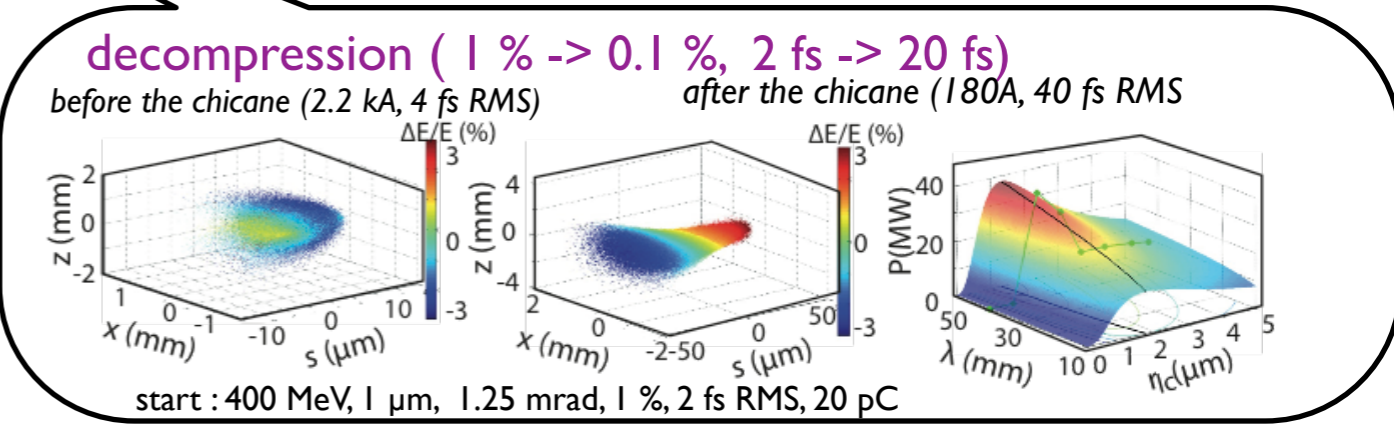


A. Loulergue et al., New J. Phys. 17 (2015) 023028 (2015)

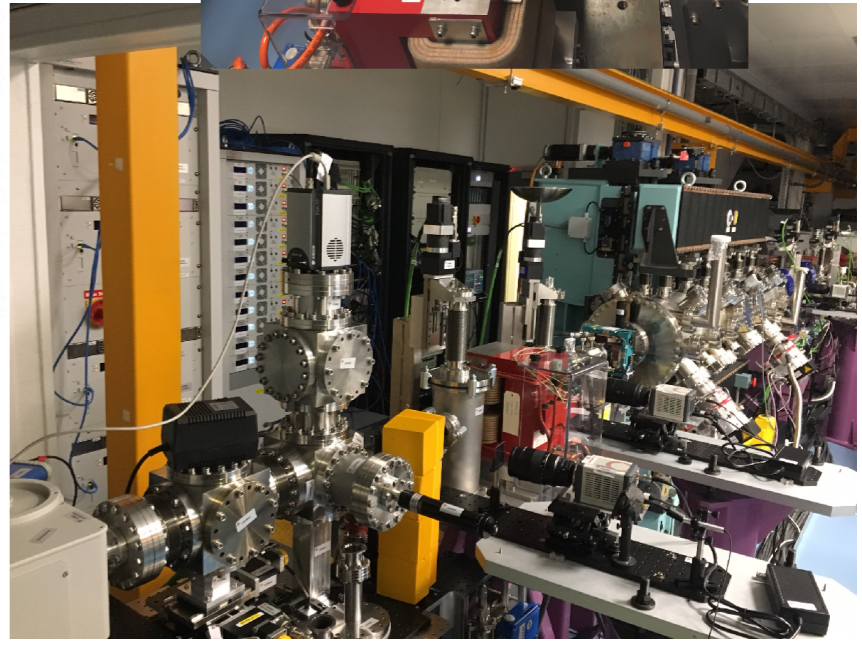
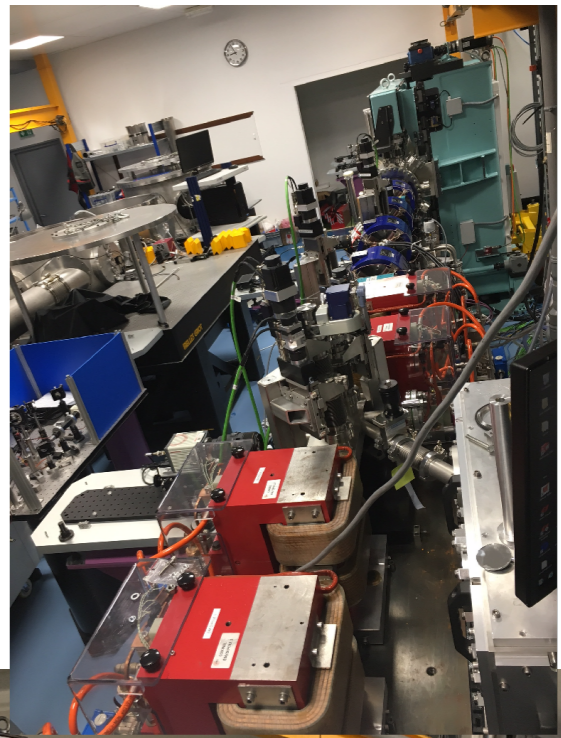
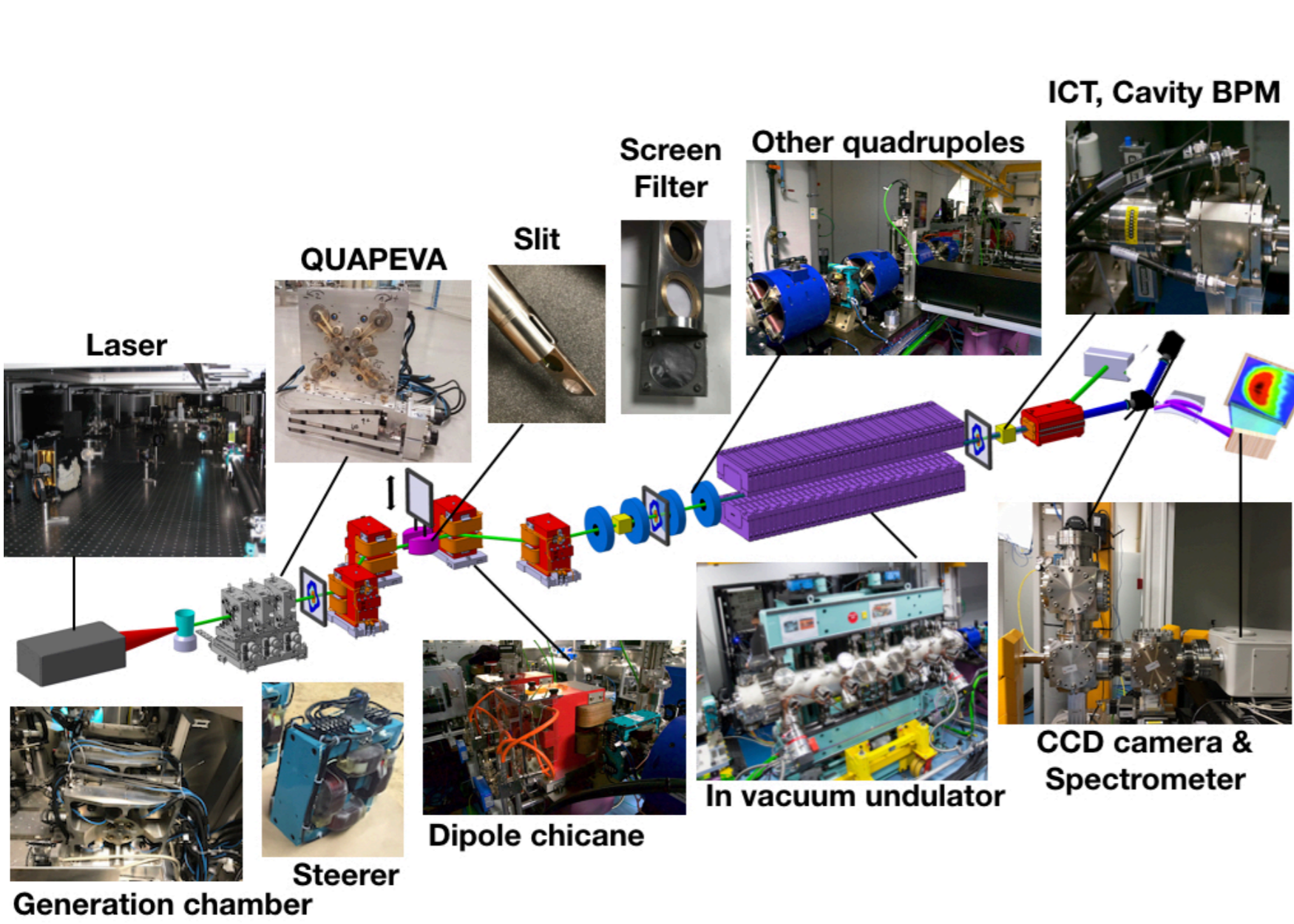
erc COXINEL (M. E. Couprie, SOLEIL)
 erc X-Five (V. Malka, LOA)

Parameter (unit)	Baseline Source
Vert. divergence (mrad)	1
Hor. divergence (mrad)	1
Beam size (μ m)	1
Bunch length (fs RMS)	3.3
Charge (pC)	34
Charge density (pC/MeV)	5
Peak Current (kA)	4.4
Energy spread RMS %	1
Norm. emittance ϵ_N (mm.mrad)	1

seeding



Expérience test COXINEL

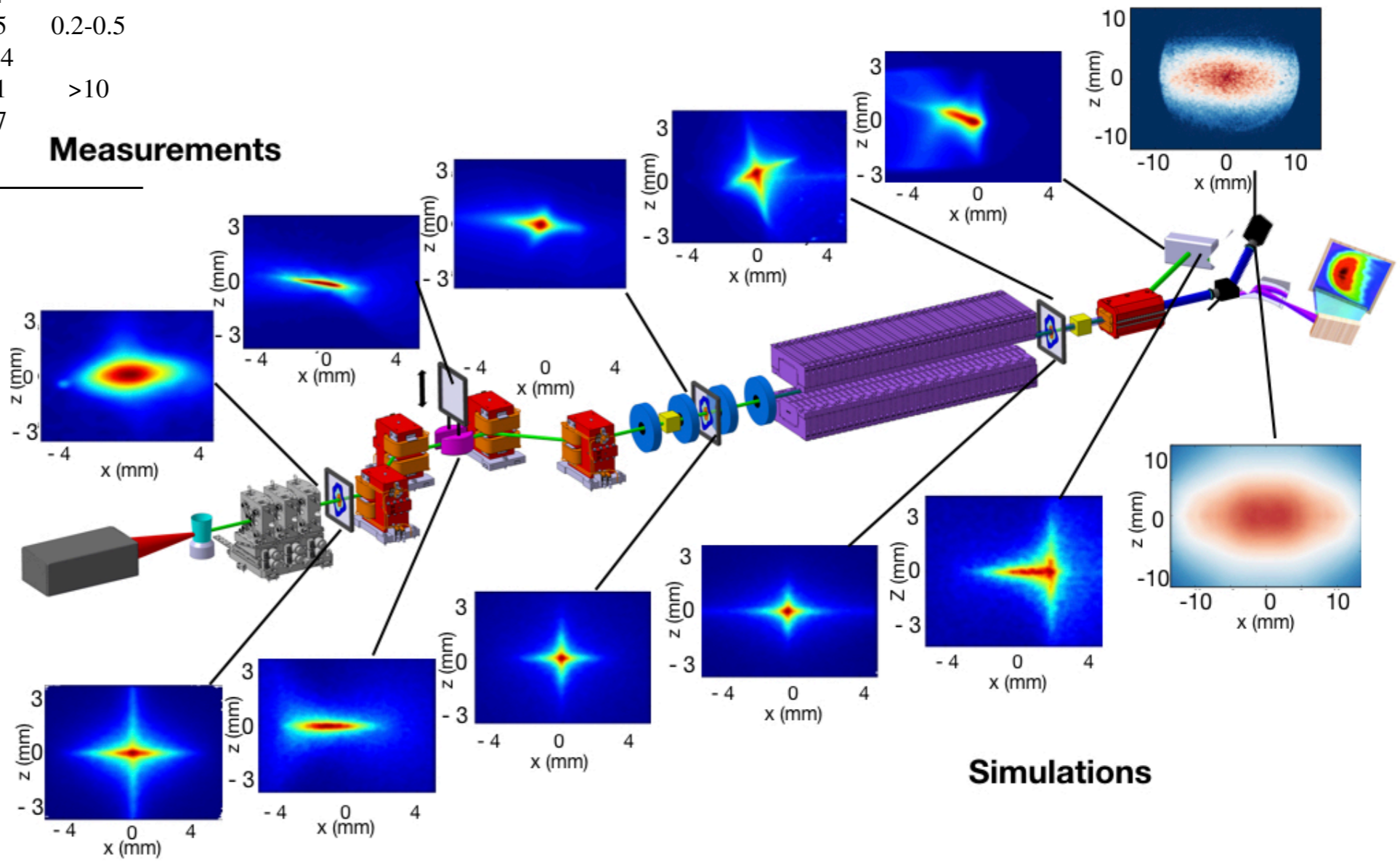


COXINEL : transport d'électrons maîtrisé

Table 1: COXINEL baseline reference case at the source and undulator (Und.), measured (Meas.) beam at the source.

Parameter (unit)	Baseline		Meas. Source
	Source	Und.	
Vert. divergence (mrad)	1	0.1	1.2-5
Hor. divergence (mrad)	1	0.1	1.8-7.5
Beam size (μm)	1	50	
Bunch length (fs RMS)	3.3	33	
Charge (pC)	34	34	
Charge density (pC/MeV)	5	0.5	0.2-0.5
Peak Current (kA)	4.4	0.44	
Energy spread RMS %	1	0.1	>10
Norm. emittance ϵ_N (mm.mrad)	1	1.7	

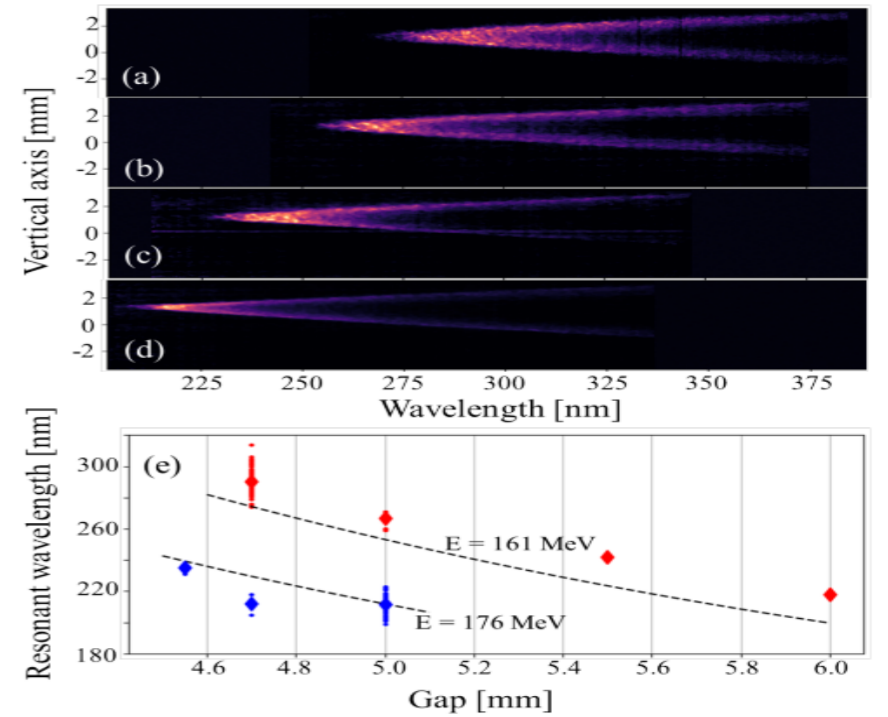
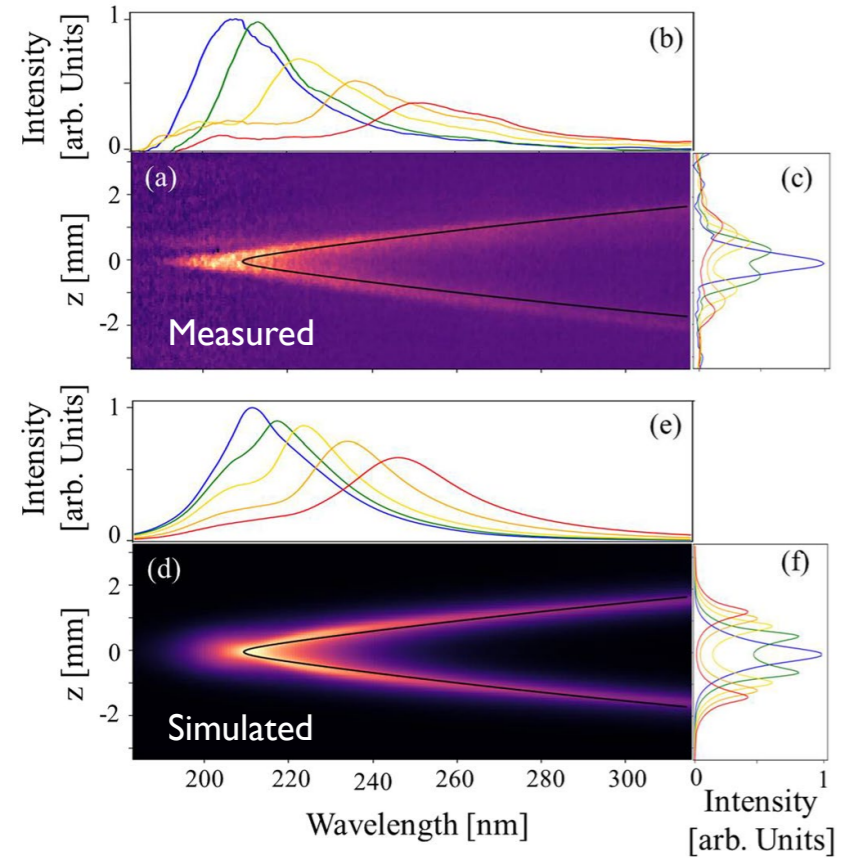
Measurements



T. André et al., Control of laser plasma accelerated electrons for light sources, Nature Communications (2018) 9:1334

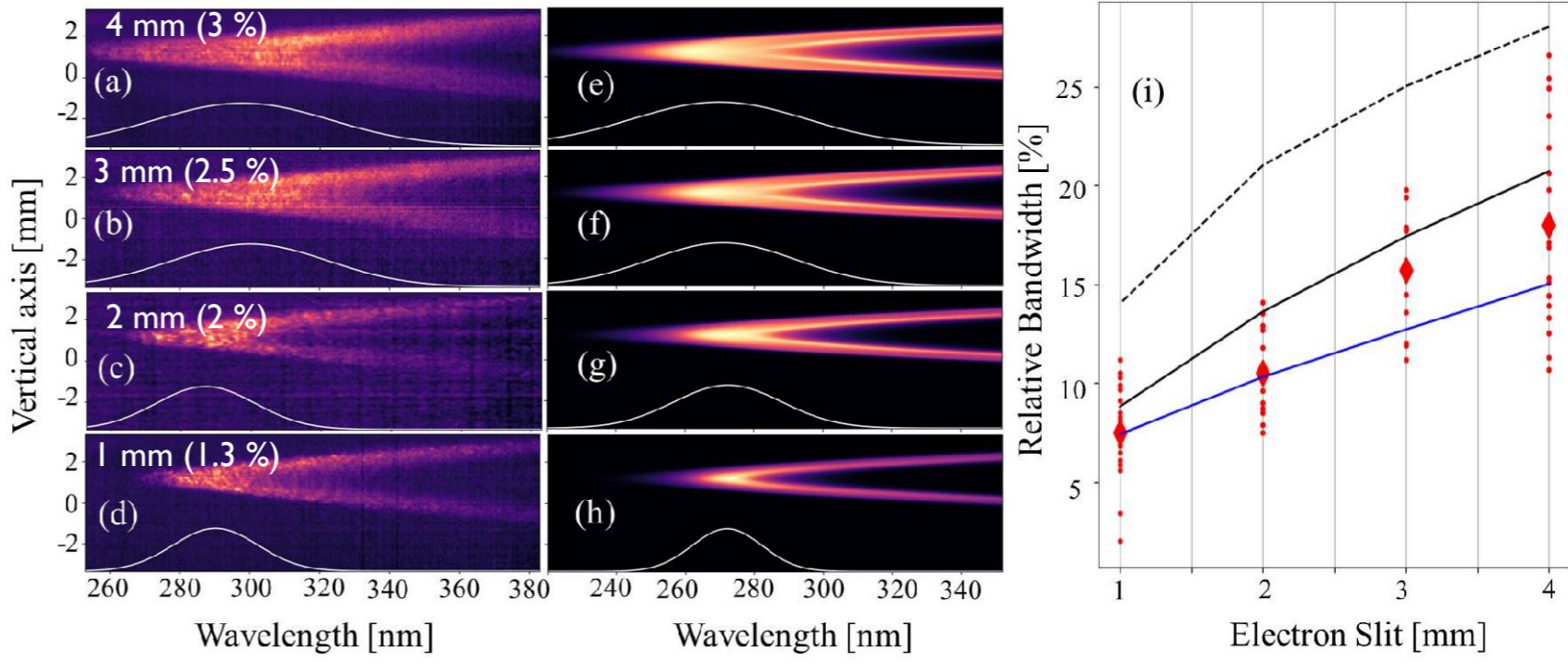
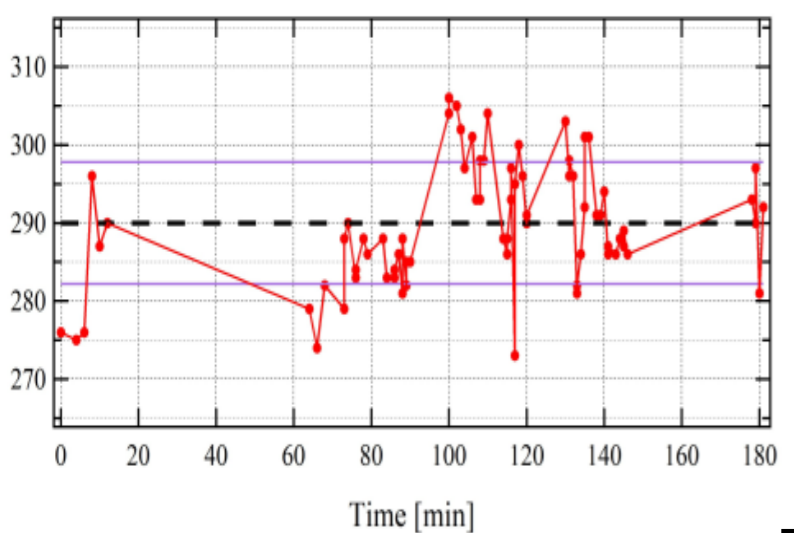
COXINEL : rayonnement spontané de l'onduleur

Accordabilité en longueur d'onde par le champ de l'onduleur



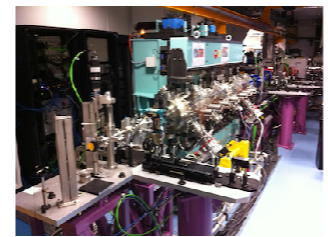
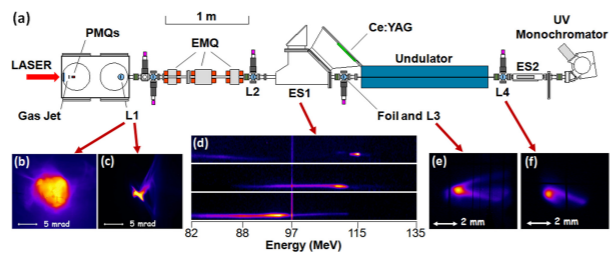
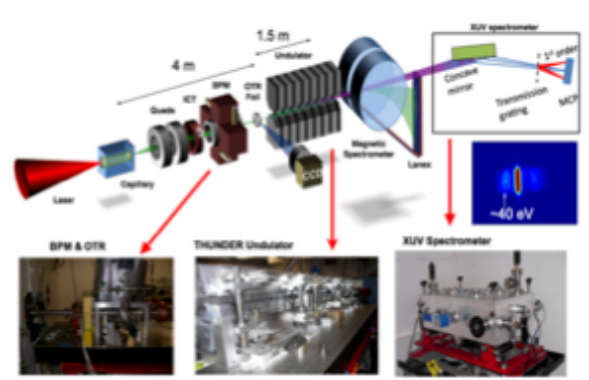
Contrôle de la largeur de raie
Mesures Simulations

Stabilité en longueur d'onde

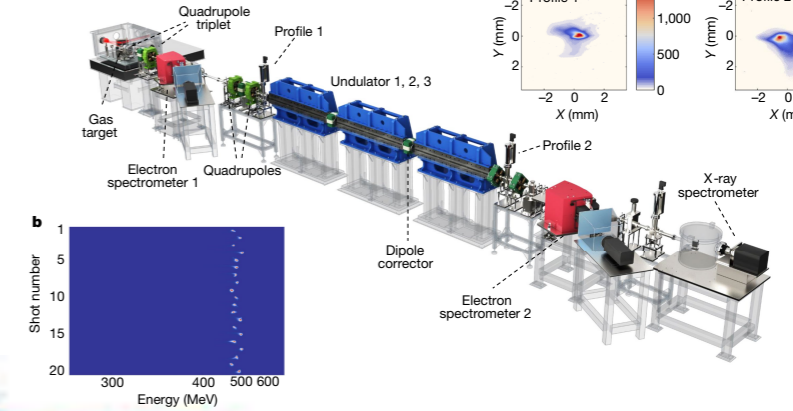


A. Ghaith et al., Scientific Reports 9: 19020 (2019)

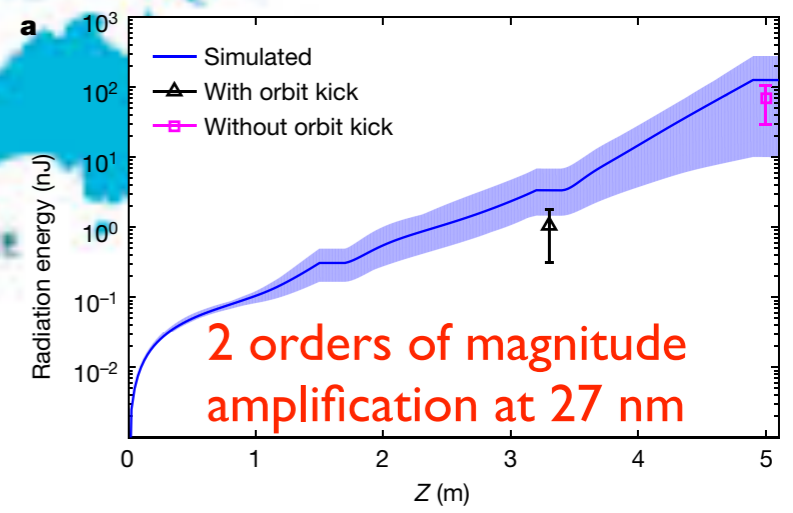
Panorama d'expériences LEL test sur accélération laser plasma



SIOM, Shanghai, China



200 TW laser, 1-5 Hz, 3.8 10^{18}W/cm^2 , $a_0 = 1.3$
 pure helium supersonic nozzle
 Chock front
high-quality electron beams :
 a $\sim 490 \text{ MeV}$ peak energy,
 $\sim 0.5\%$ energy spread,
 $\sim 30 \text{ pC}$ average integrated charge
 $\sim \text{r.m.s. } 0.2 \text{ mrad}$ divergence



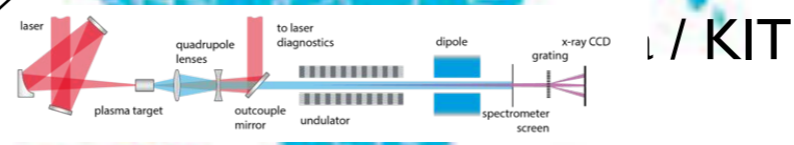
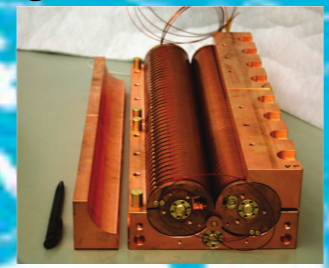
LOASIS, Berkeley

SUPA, Strathclyde

COXINEL / X-Five, France

ELI, Czech Rep.

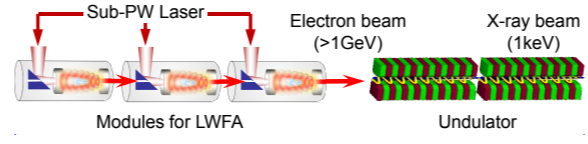
CFEL, Hamburg



/ KIT

SPARC, Frascati
 Acc. RF+ Acc. Plasma
 Demo SASE et seeding
 dans le visible

ImPACT,
 MIRAI
 Osaka Univ /
 Riken Harima

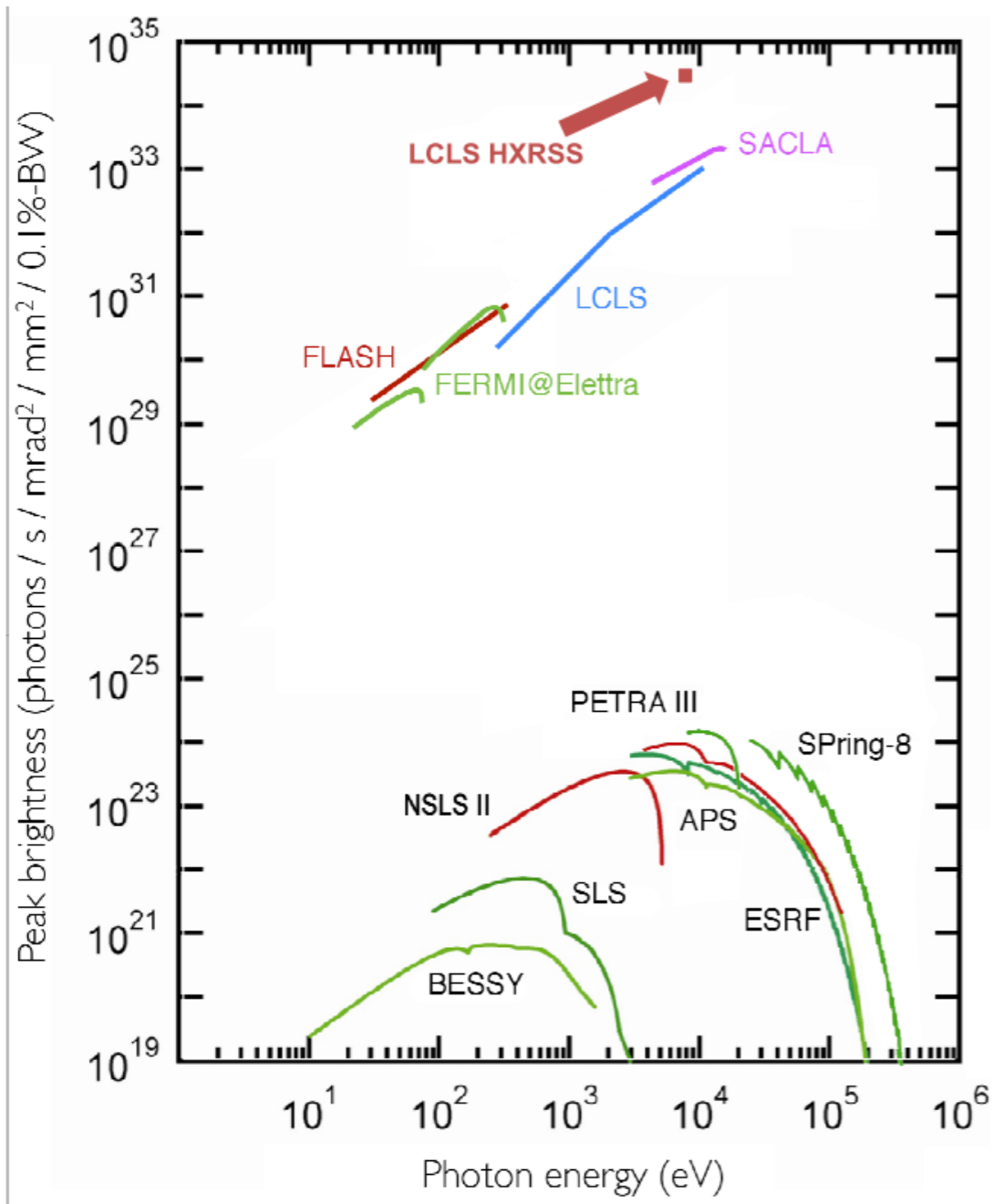


Nouveaux concepts d'accélération appliqués au LEL: encore dans l' « enfance »

Révolution des XFEL agiles et de haute brillance

De la recherche de l'effet LEL des débuts à l'avènement des XFEL : lasers les plus intenses dans le domaine X

Milieu de gain agile permettant manipulation et contrôle du processus => propriétés avancées pour satisfaire les demandes utilisateur (attoseconde..)



Applications

Femtosecond pulses : snapshots d'objets « figés » avant destruction (diffract before destruction) appliqués aux cristaux petits, fragiles et aux particules isolées avec une très haute résolution spatiale

XFEL femtosecond + optical laser optique (pompe pour manipuler la structure/sonde) : « molecular movies » (tracking de la structure et des niveaux électroniques)

Laser X ultra-intense X ray beams : Optique non linéaire dans le domaine X sous conditions

Imagerie cohérente,

Nanoresolution

Etudiants de thèse et post-docs

PhD Students



Toru Hara
1992-1995,
Paris XI



David Garzella
1993-1996,
Paris-XI



Raphaël Roux
1995-1999,
Paris-VI



Daniele Nutarelli
1996-2000,
Paris-XI



Cyrille Thomas
1999-2003,
Paris-XI/
Eindhoven



Christelle Bruni
2001-2004,
Paris-XI



Mahdia Belgroune
2003-4,
Paris-XI



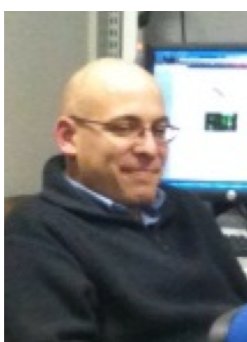
Guillaume Lambert
2004-2008,
Paris-XI



Marie Labat
2005- 2008,
Paris-XI



Chamseddine Benabderrahmane
2006-2012,
Paris-XI



Fabien Briquez
2009-2014,
Paris XI



Hadil Abualrob
2011-2015
Paris XI



Xavier Nuel Gavalda
2012-2016
Paris-Saclay



Thomas André
2015-2018
Paris-Saclay



Amin Ghaith
2016-2019
Paris-Saclay



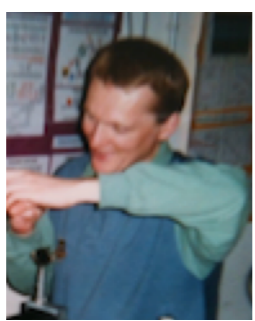
Driss Oumbarek-Espinos
2018-2021
Paris-Saclay/Osaka



Post-docs Students



R. Bakker
1994-1996



E. Renault
1998-2000



G. de Ninno
1999-2001



G. L. Orlandi
2002-2004



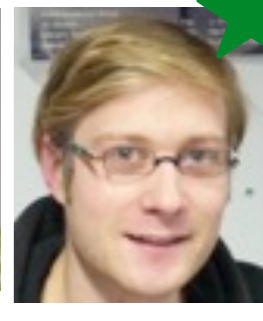
O. Tcherbakoff
2006-2007



C. Kitégi
2008-2009



R. Bachelard
2008-2009



C. Evain
2009-2011



T. Tanikawa
2012-2013



C. Bourassin-Bouchet
2013-2015



S. Tripathi
2014-2016



G. Sharma
2015-2016



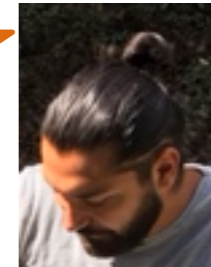
M. Khojayan
2015-2017



Andriyash
2015-2017



E. Roussel
2017



A. Ghaith
2019-2021

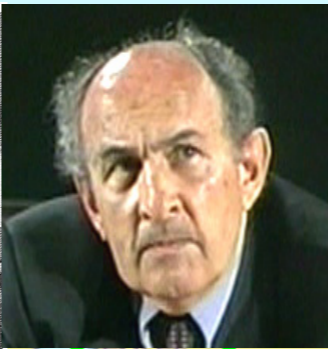


Remerciements Collaborateurs



Kwang Je Kim Berkely / Argonne

Michel Billardon, Jean-Michel Ortéga, Michel Velghe, Rui Prazeres



Nikolai Vinokurov
BINP



Vladimir Litvinenko,
BINP:/DUKE / BNL



Hiroyuki Hama,
UVSOR, Sendai Univ.



Dirk Nölle, DELTA, Eu XFEL



Luca Giannessi, ENEA/SPARC, ELETTRA, INFN



Enrico Allaria, ELETTRA, DESY



Toru Hara, Hideo Kitamura, Tsumoru Shnikta, Tetsuya Ishikawa, Makina Yabashi SCSS team



Alberto Renieri (2019), Giuseppe Dattoli, ENEA

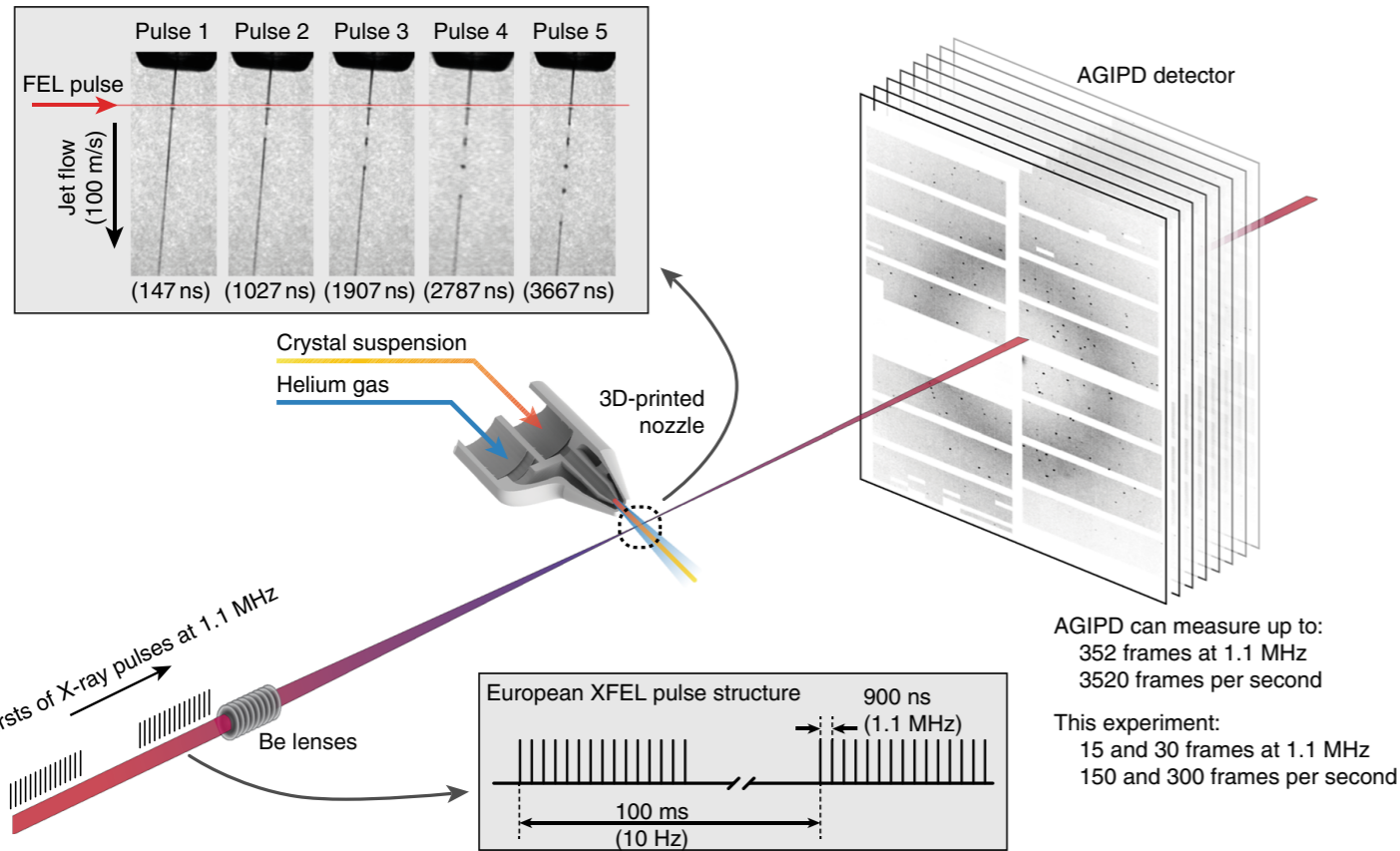
★ FEL prize

joint work / experiments on site
 collaboration/ technical exchanges
 visits

Jean Dailant, SOLEIL



Applications of XFELs



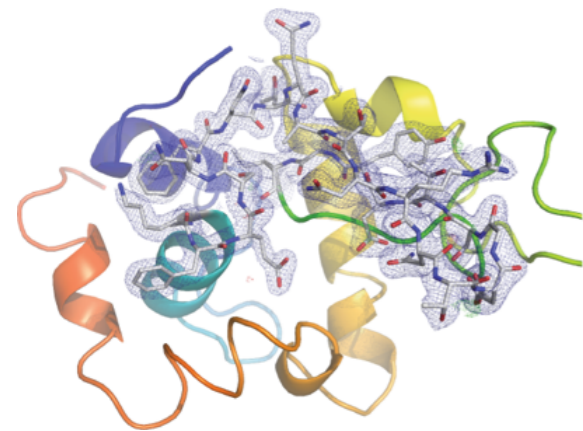
XFEL pulses focused on the interaction region using a set of Beryllium lenses.

Protein crystals in crystallization solution introduced into the focused XFEL beam using a liquid jet of 1.8 μm diameter moving at speeds between 50 m/s and 100 m/s.

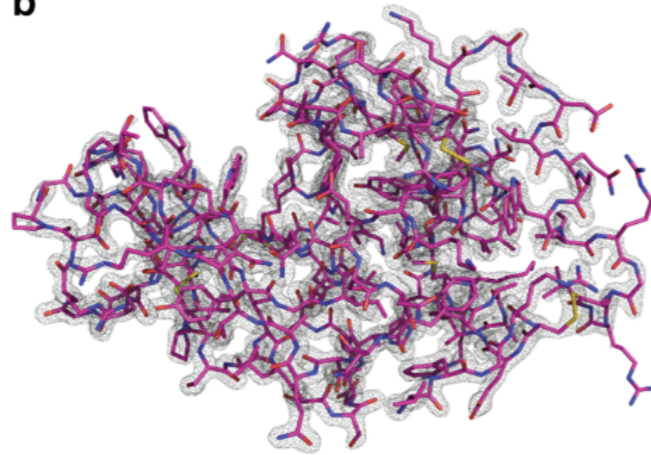
Diffraction from the sample measured using an AGIPD, capable of measuring up to 3520 pulses per second at megahertz frame rates.

In-situ jet imaging (inset) : the liquid column does explode under the X-ray illumination conditions of this experiment using a jet with a speed of 100 m/s, but that the liquid jet recovered in less than 1 μs to deliver fresh sample in time for arrival of the next X-ray pulse.

a 4ET8 lysozyme structure

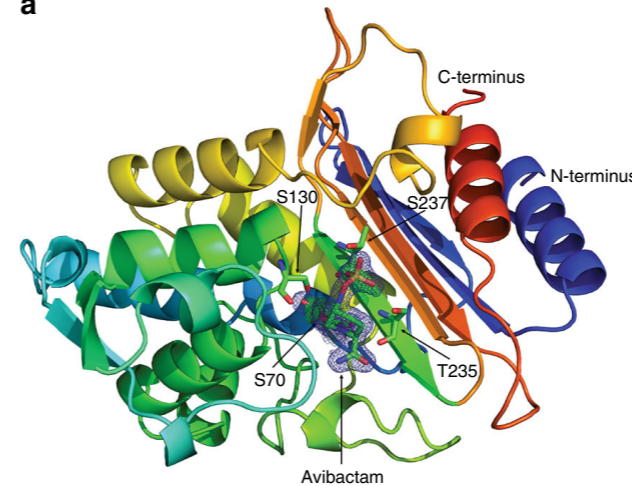


b

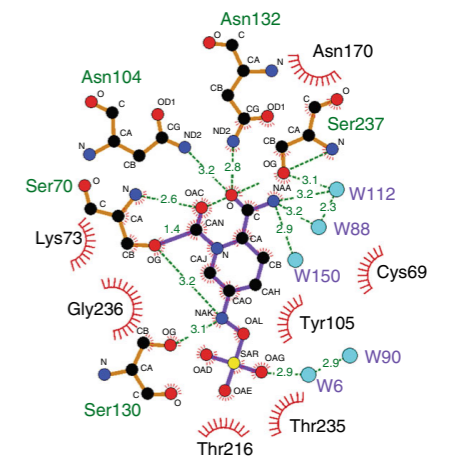


CTX-M-14 β -lactamas

a



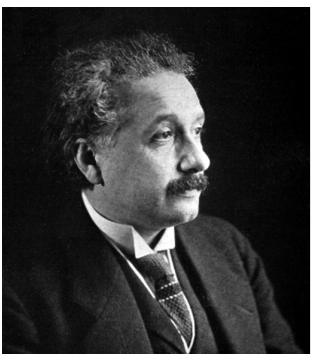
b



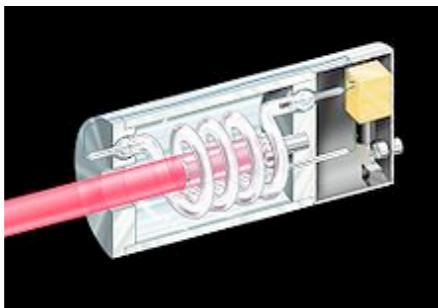
M. O. Weidorn et al., Megahertz serial crystallography, Nat. Comm. (2018) 9: 4025

Accelerator light source : from the past to the future

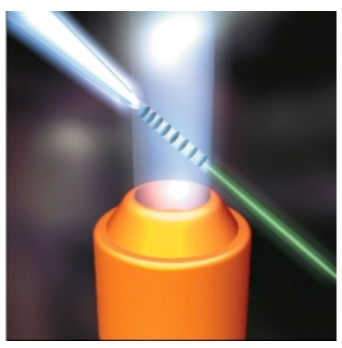
Stimulated emission



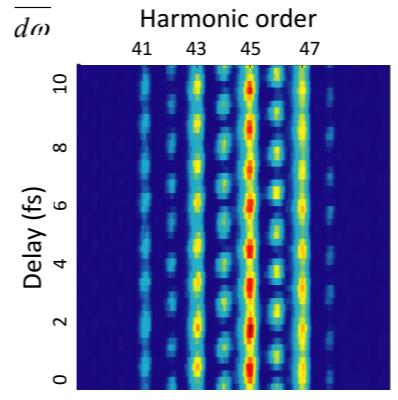
Ruby laser



LPA concept



HHG, atto second



MAX IV (3 GeV, 330 pm, 7BA, 528 m)



10 pm ring ?



1900

1920

1940

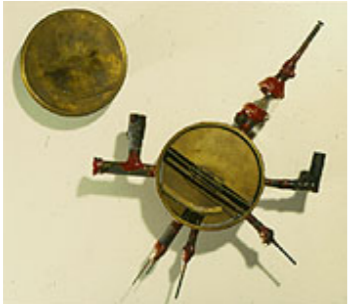
1960

1980

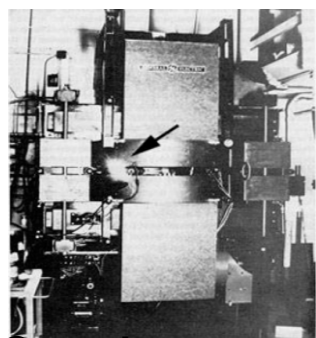
2000

2020

2040

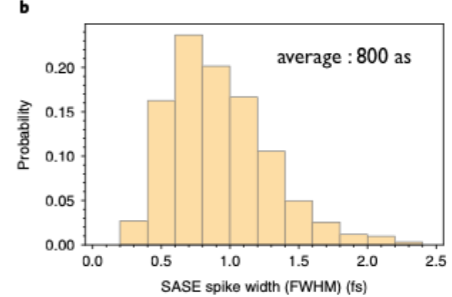
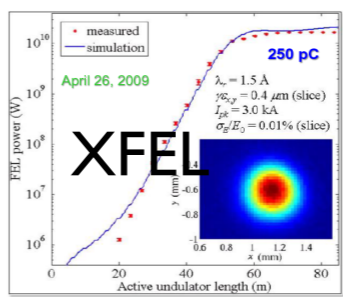
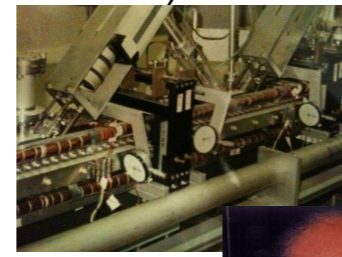


Cyclotron

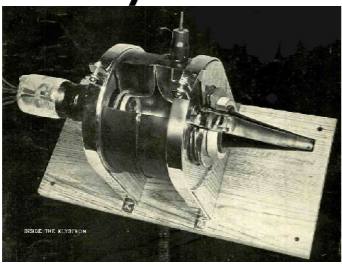


Synchrotron radiation

First FEL (IR)

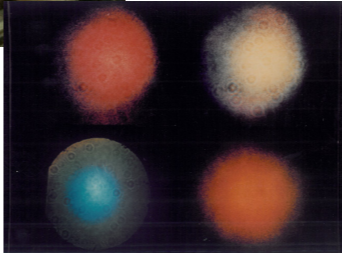
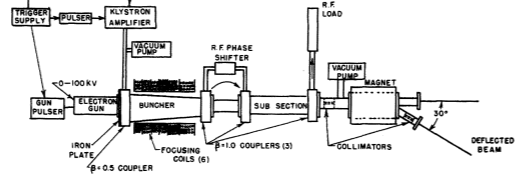


XFELO

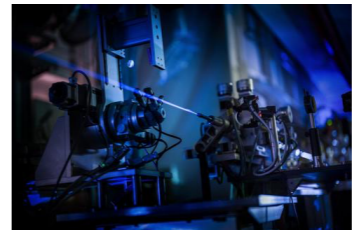


Klystron

Undulator



2nd FEL (vis.)



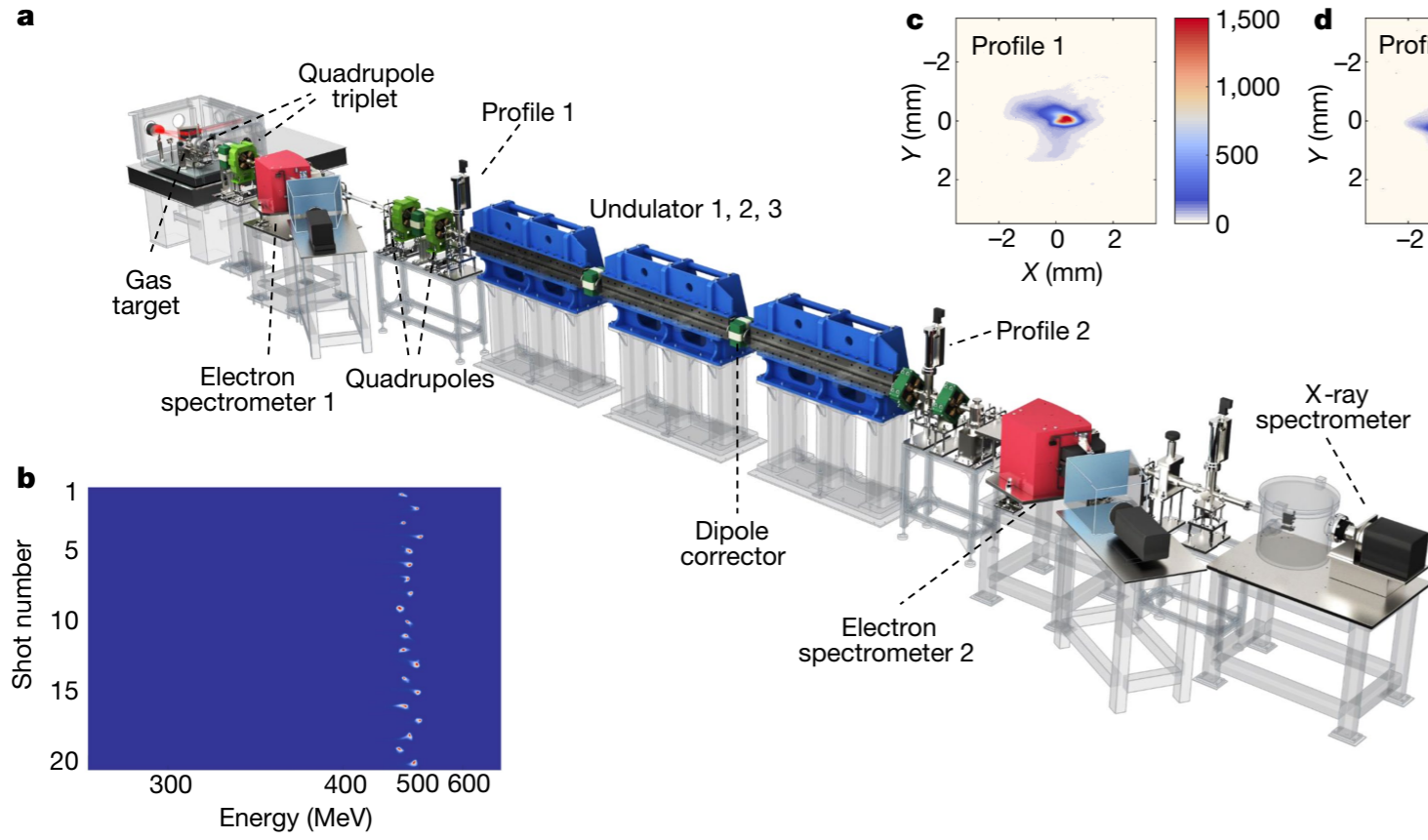
MHz XFEL

as XFEL

Plasma based FEL

FEL based EUV lithography?

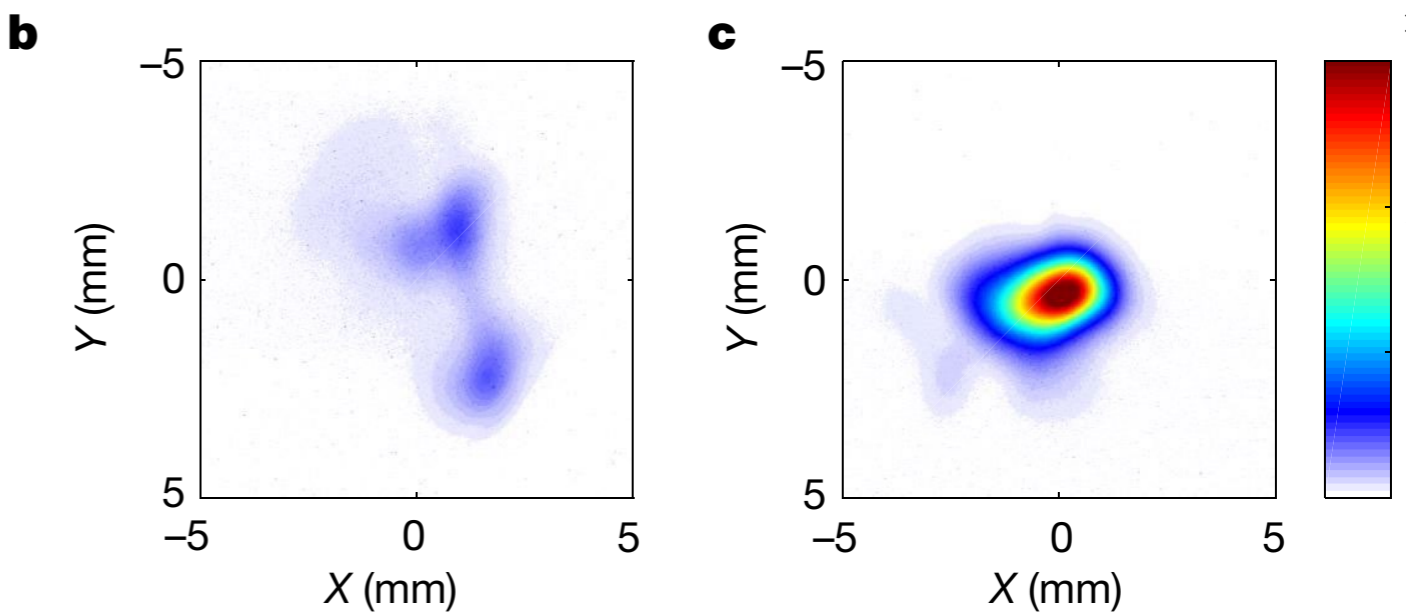
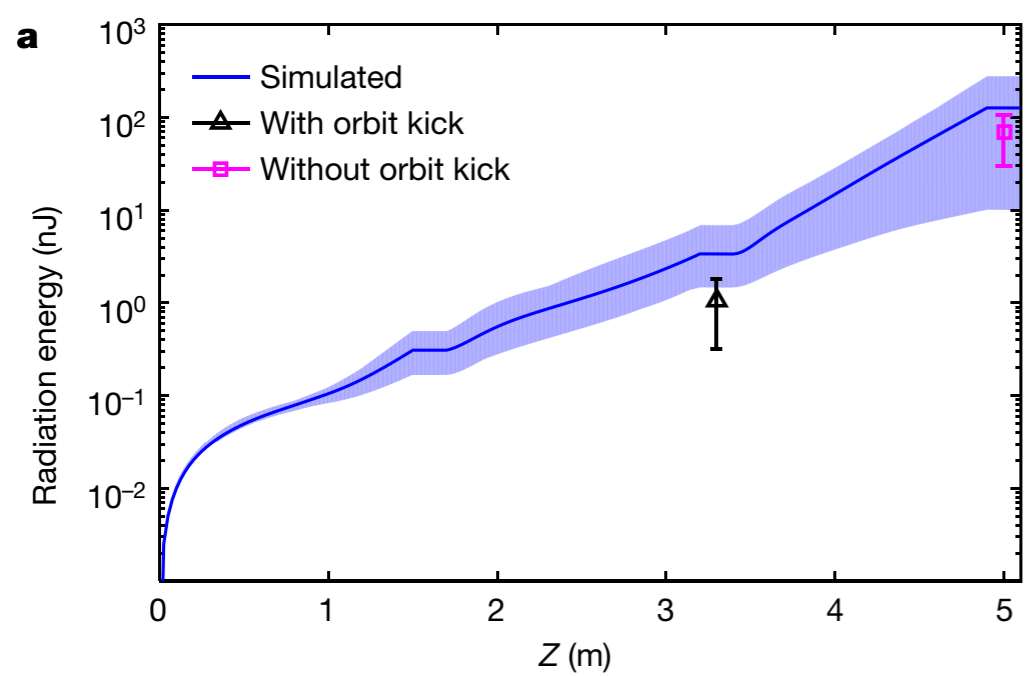
A first promising result at SIOM



200 TW laser, 1-5 Hz, $3.8 \cdot 10^{18} \text{ W/cm}^2$, $a_0 = 1.3$
 pure helium supersonic nozzle
 Chock front

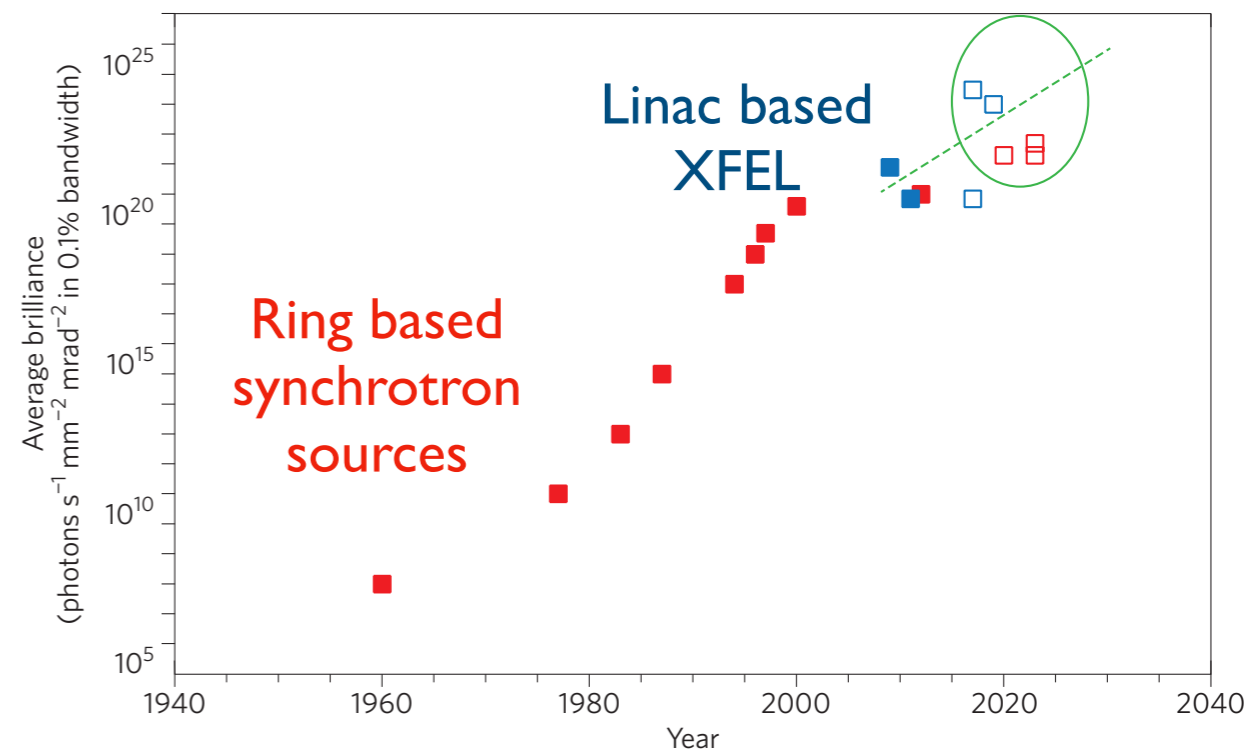
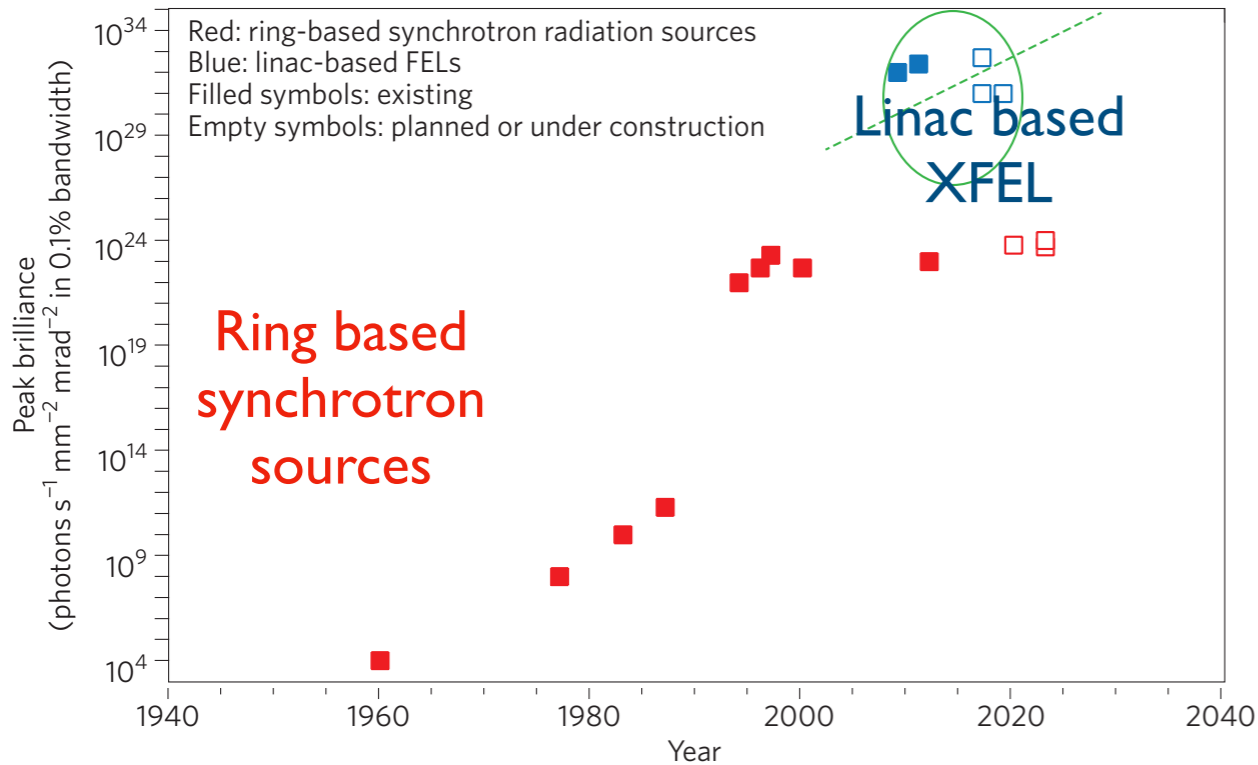
high-quality electron beams :
 a ~ 490 MeV peak energy,
 $\sim 0.5\%$ energy spread,
 ~ 30 pC average integrated charge
 \sim r.m.s. 0.2 mrad divergence

2 orders of magnitude amplification at 27 nm



W.Wang et al., 516 | Nature |595, 517 (2021)

Brightness on X FEL and DSLR



Coherence related imaging (Coherent X-ray diffraction imaging, ptychography...)

Nearly circular beam-shape => nano beam flux gain

Nanoresolution combined with chemical, physical, electronic and magnetic properties of complex objects (non destructive)

Femtosecond XFEL : snapshots of « frozen » objects before destruction (diffract before destruction) applied to tiny, fragile crystals and single particules with very good spatial resolution

Femtosecond XFEL + optical laser (pump for manipulating the internal electronic state/probe) : « molecular movies » (tracking of structure and electronic states)

Ultra-intense X ray beams : X-ray non linear optics under extreme conditions

M.Yabashi, H.Tanaka, .The next ten years of X-ray science, Nature Photonics 11, 12-14 (2017)